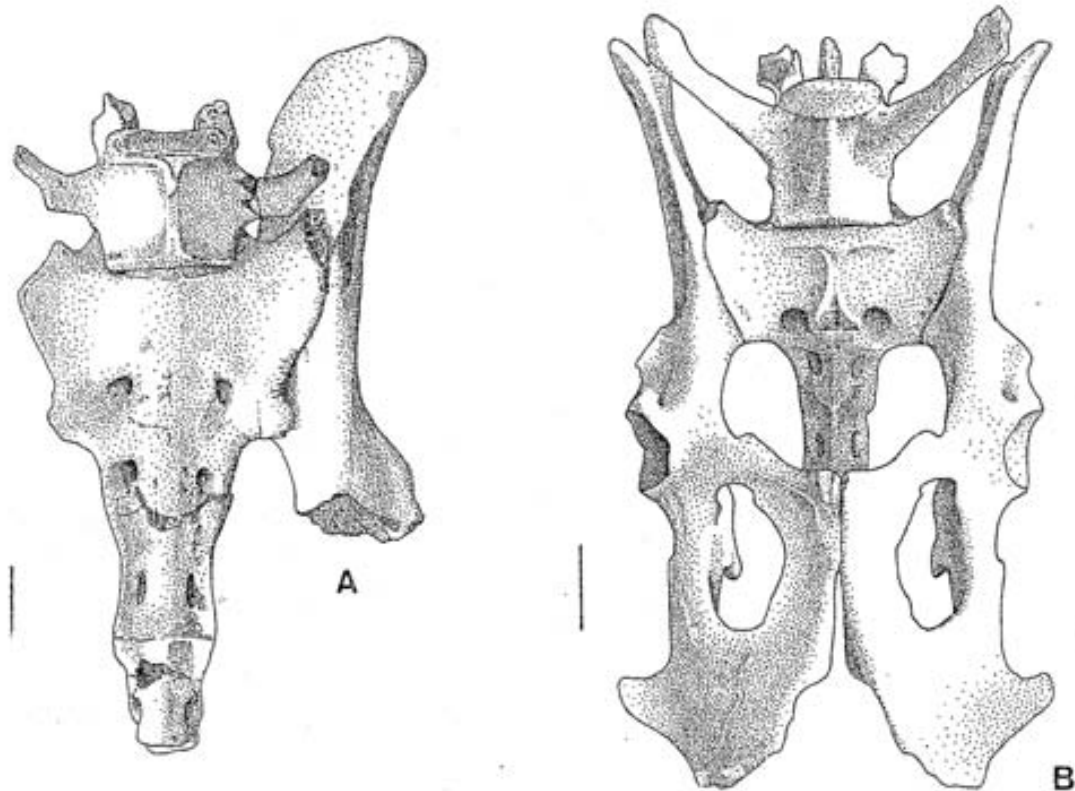


DEPARTAMENT DE GEOLOGIA
FACULTAT DE CIÈNCIES
UNIVERSITAT AUTÒNOMA DE BARCELONA

TESI DOCTORAL

ESTUDIO MORFOLÓGICO Y FUNCIONAL DE
NURALAGUS REX (MAMMALIA, LAGOMORPHA,
LEPORIDAE)

Josep Quintana Cardona



2005

8. LA LOCOMOCIÓN EN *N. rex*.

Con el fin de reconstruir la locomoción de *N. rex*, algunas de las características morfológicas y funcionales vistas en apartados anteriores han sido comparadas con las de algunos roedores e insectívoros. Al presentar un amplio rango de pesos y modelos de locomoción, los roedores, especialmente los de mayor tamaño, resultan especialmente interesantes para este fin. En relación con la masa corporal, las longitudes del fémur, la tibia, el húmero, el radio, la ulna, el pie y la mano de *N. rex* han sido comparadas con las de cinco caviomorfos: *Cavia porcellus* (Linnaeus, 1758), *Myoprocta acouchy* (Erxleben, 1777), *Dasyprocta leporina* (Linnaeus, 1758), *Agouti paca* (Linnaeus, 1766) e *Hydrochaeris hydrochaeris* (Linnaeus, 1766), a partir de los datos procedentes del trabajo de Rocha (1997). En las graficas alométricas del húmero, la ulna, el fémur y la tibia se incluyen también (según los valores de las rectas publicadas en el trabajo de Bou *et al.* [1987]) las rectas correspondientes a roedores e insectívoros, cuyo peso varía desde unos pocos gramos hasta el kilo de peso (no aparecen, por tanto, algunos de los roedores no caviomorfos de mayor tamaño, como *Castor*, *Myocastor* e *Hystrix*).

Las ecuaciones alométricas y los coeficientes de correlación correspondientes a los caviomorfos aparecen en la tabla 70.

Caviomorfos		
Húmero	$Y = 0,3232X - 0,2785$	R= 0,9423
Radio	$Y = 0,2958X - 0,2665$	R= 0,9021
Ulna	$Y = 0,306X - 0,2026$	R= 0,9227
Mano	$Y = 0,3241X - 0,4384$	R= 0,9011
Extremidad anterior	$Y = 0,2783X + 0,4365$	R= 0,8900
Fémur	$Y = 0,3332X - 0,234$	R= 0,9584
Tibia	$Y = 0,2971X - 0,0912$	R= 0,9121
Pie	$Y = 0,2597X + 0,1032$	R= 0,8455
Extremidad posterior	$Y = 0,2705X + 0,5056$	R= 0,8994

Tabla 70. Ecuaciones alométricas y coeficientes de correlación en caviomorfos actuales. Las longitudes (Y) y los pesos (X) se basan en unidades centimétricas y gramos, convertidos en valores logarítmicos de base 10.

8.1. PROPORCIONES DE LA EXTREMIDAD ANTERIOR.

Longitud del húmero.

La longitud del húmero de *N. rex* queda más próximo a la recta definida por los caviomorfos, y es similar a los valores de *A. paca*, *C. porcellus* y *D. leporina* (fig. 191).

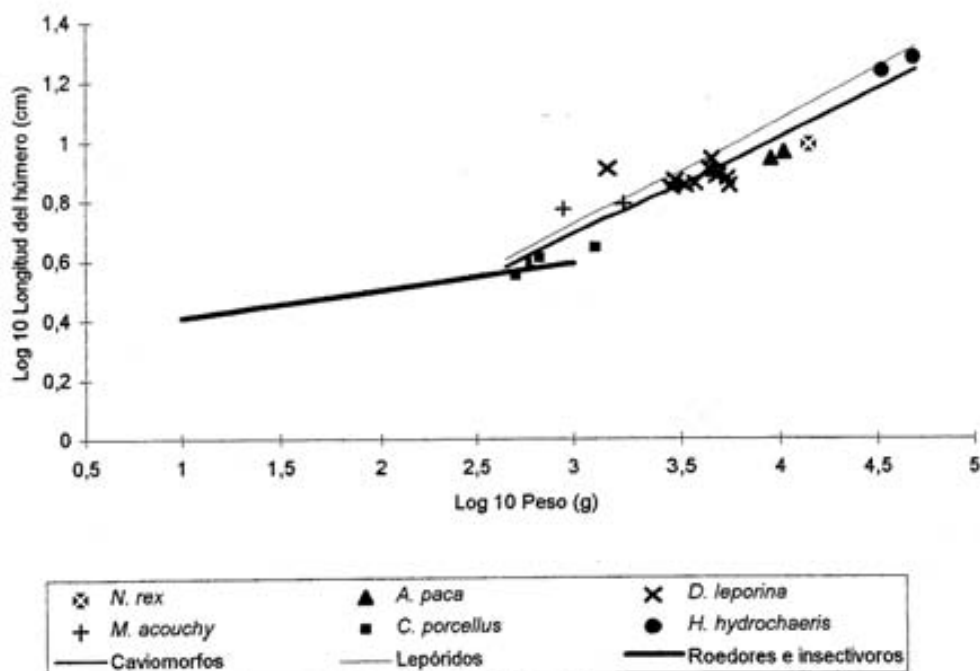


Fig. 191. Representación alométrica de la longitud del húmero en *N. rex*, roedores (caviomorfos y no caviomorfos), insectívoros y lepóridos.

Longitud del radio.

La longitud del radio de *N. rex* queda muy por debajo de la recta definida por los lepóridos y muy próxima a la recta definida por los caviomorfos. Las mayores similitudes entre la longitud del radio de *N. rex* se establecen con *H. hydrochaeris* *D. leporina* (fig. 192).

Longitud de la ulna.

La representación alométrica es similar a la del radio, ya que los valores de *N. rex* quedan muy próximos a la recta definida por los caviomorfos y muy alejados de la recta correspondiente a los lepóridos (fig. 193).

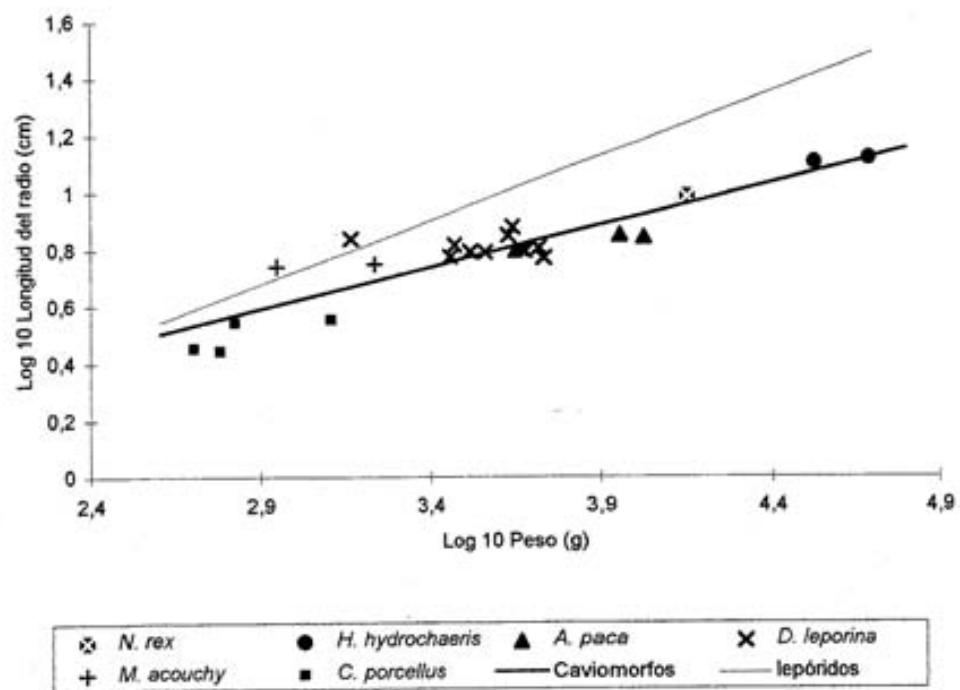


Fig. 192. Representación alométrica de la longitud del radio en *N. rex*, caviomorfos y leporídos.

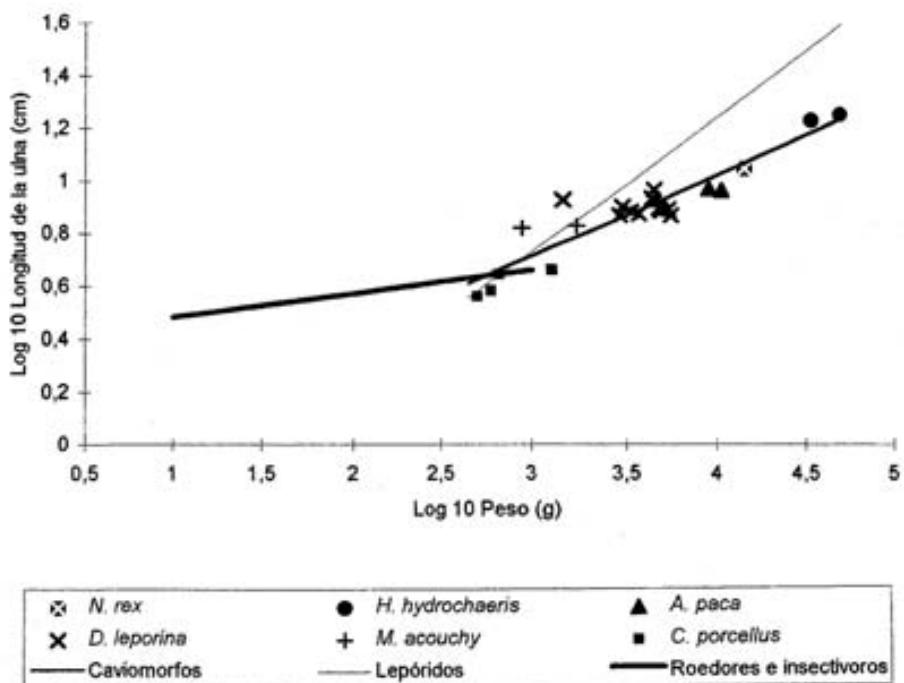


Fig. 193. Representación alométrica de la ulna en *N. rex*, roedores (caviomorfos y no caviomorfos), insectívoros y leporídos.

Longitud de la mano.

La longitud de la mano queda muy próxima a las rectas definidas por caviomorfos y lepóridos (fig. 194).

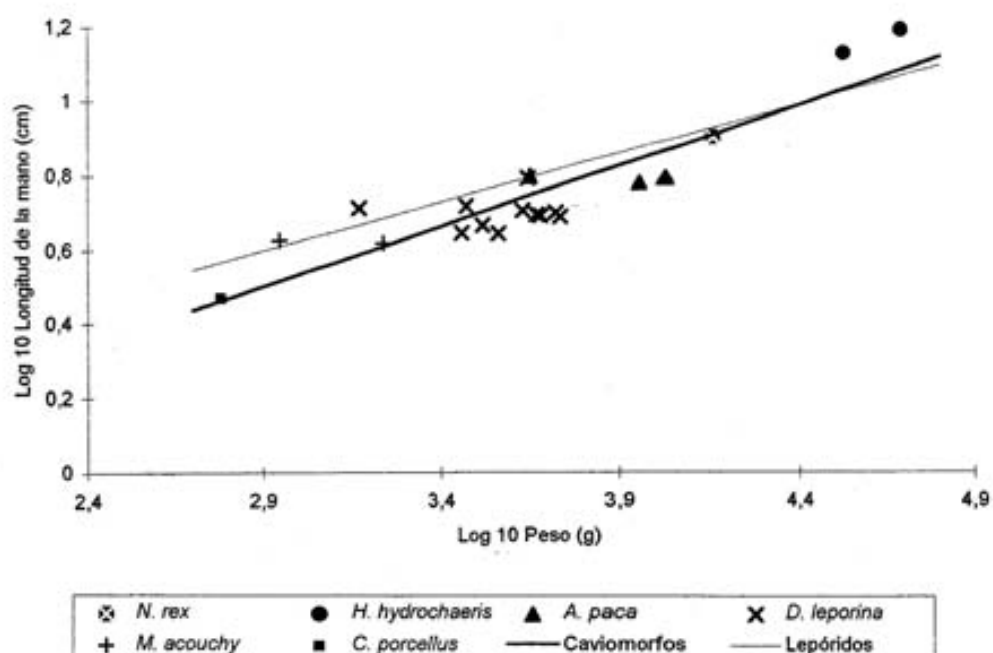


Fig. 194. Representación alométrica de la longitud de la mano en *N. rex*, caviomorfos y lepóridos.

Longitudes relativas del húmero, el radio y la mano.

Las principales diferencias entre *N. rex* y los caviomorfos se establecen entre las longitudes relativas del húmero y el radio. En *N. rex*, las diferencias de longitud son muy pequeñas, mientras que en los caviomorfos el húmero es más largo que el radio (fig. 195). Las mayores similitudes entre la diferencia de longitud de la mano y el radio se establecen entre *N. rex*, *A. pacá* e *H. hydrochaeris*; la diferencia de longitudes es menor en *C. porcellus* y mayor en *D. leporina* y *M. acouchy*.

Longitud de la extremidad anterior.

La extremidad anterior de *N. rex* es más corta que la de los lepóridos y caviomorfos (fig. 196).

Recapitulación sobre la extremidad anterior.

No existen diferencias importantes entre las longitudes del húmero y la mano en lepóridos y caviomorfos; en este sentido, las principales diferencias se localizan en la longitud del radio y la ulna, que es mayor en los lepóridos.

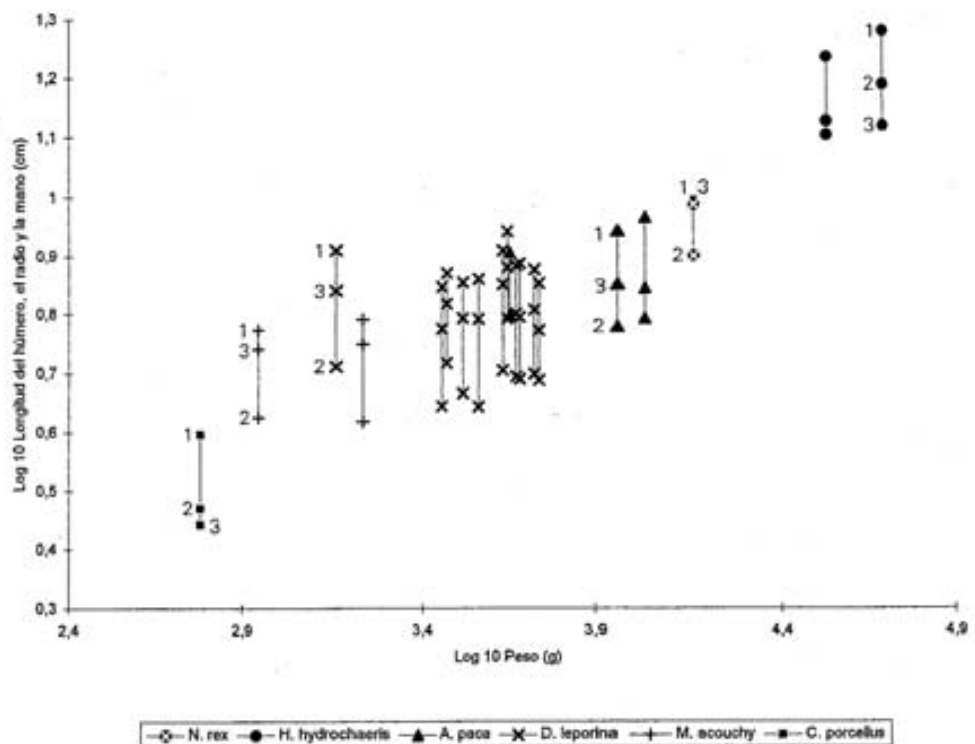


Fig. 195. Representación alométrica de la longitud del húmero (1), el radio (3) y la mano (2) en *N. rex* y algunos caviomorfos.

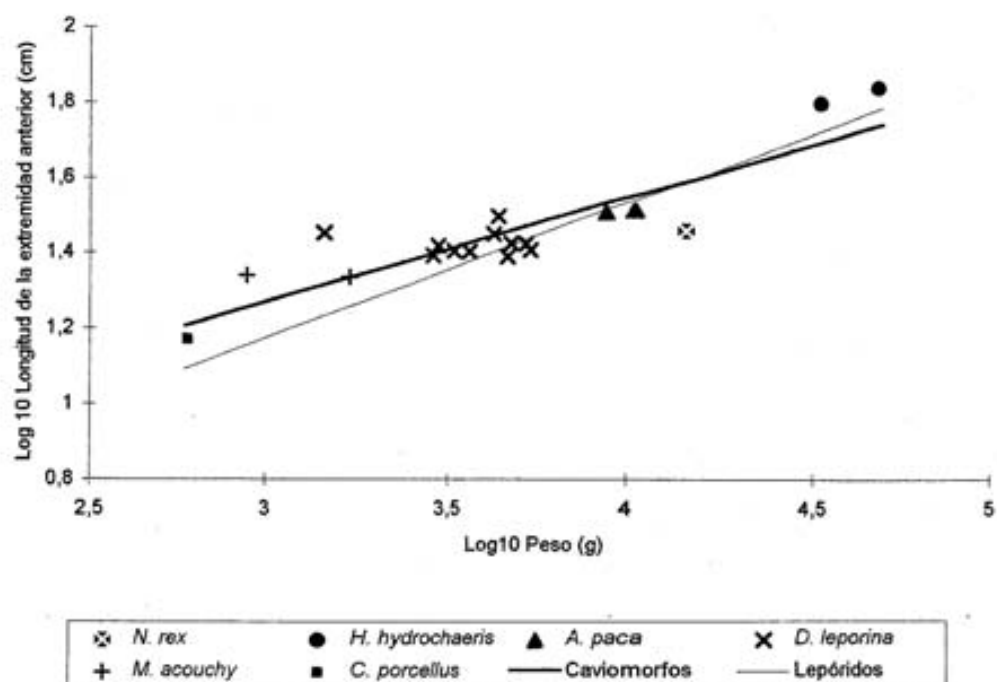


Fig. 196. Representación alométrica de la longitud de la extremidad anterior en *N. rex*, lepóridos y algunos caviomorfos

La mayor longitud del radio y la ulna de los lepóridos se relaciona claramente con el incremento de la longitud de la zancada y con una locomoción basada en la velocidad.

El estudio comparado de las alometrias en la extremidad anterior pone claramente de manifiesto las similitudes entre *N. rex* y los caviomorfos con los que ha sido comparado, considerados como especies marchadoras por Bou (1988). Tales similitudes parecen relacionar *N. rex* con este tipo de locomoción.

N. rex y los caviomorfos presentan una longitud similar del húmero, el radio y la ulna. Muy posiblemente, la reducción de la longitud en estos huesos y la semejanza entre la longitud de la zona proximal (húmero) y distal (radio y ulna) de la extremidad anterior de *N. rex* se relaciona también con el paso de una locomoción basada en la velocidad a una locomoción marchadora.

8.2. PROPORCIONES DE LA EXTREMIDAD POSTERIOR

Longitud del fémur.

El fémur de *N. rex* muestra una longitud similar a la de *A. Paca*, *C. porcellus* y *D. leporina*, al quedar por debajo de la recta definida por los roedores caviomorfos (fig. 197).

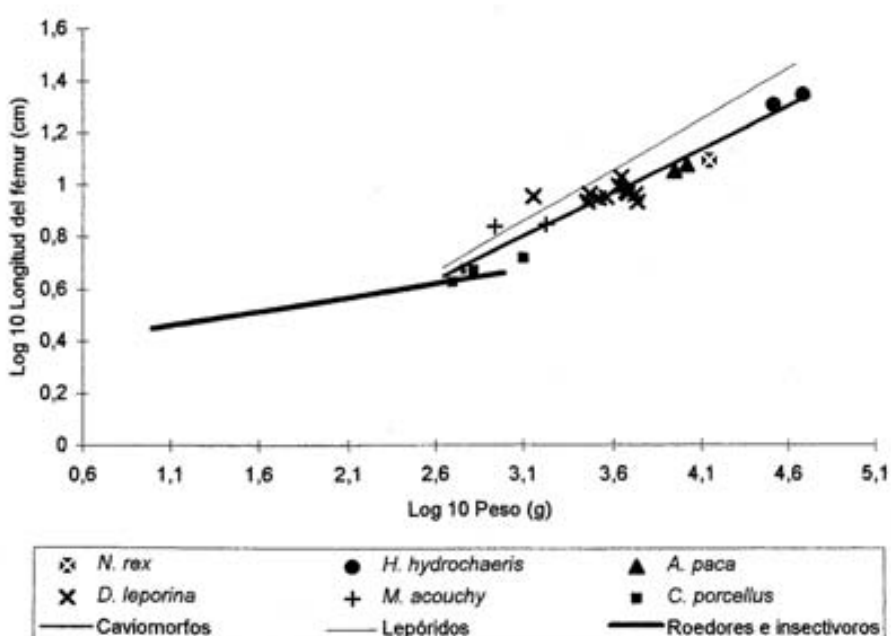


Fig. 197. Representación alométrica de la longitud del fémur en *N. rex*, lepóridos, roedores (caviomorfos y no caviomorfos) e insectívoros.

Longitud de la tibia.

La longitud tibia de *N. rex* es similar a la de los caviomorfos con los que ha sido comparado (fig. 198).

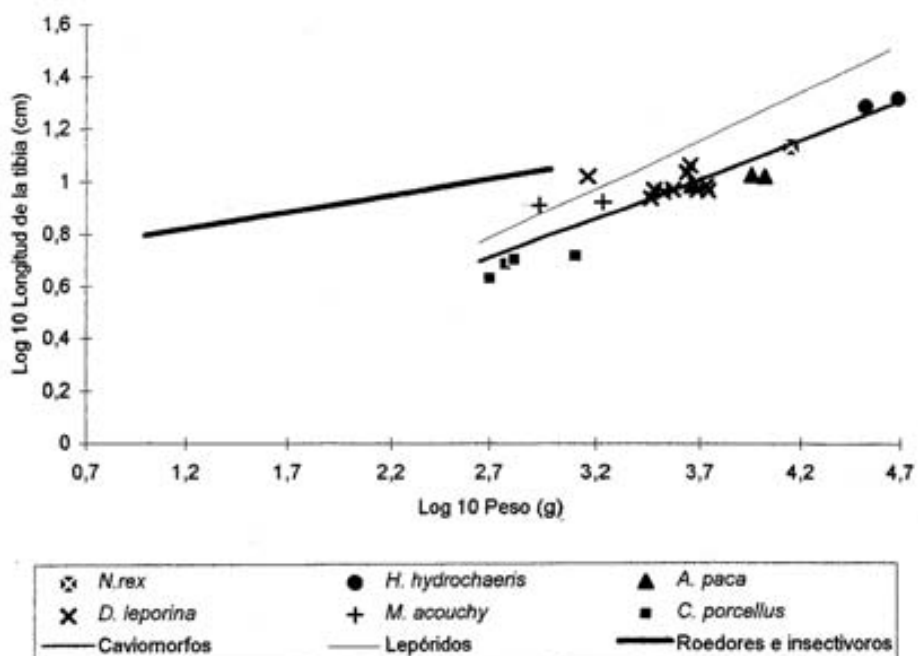


Fig. 198. Representación alométrica de la longitud de la tibia en *N. rex*, lepóridos, roedores (caviomorfos y no caviomorfos) e insectívoros.

Longitud del pie.

Las rectas definidas por lepóridos y caviomorfos son muy similares. La longitud del pie de *N. rex* es similar a la de *A. paca* y algo más larga a la de *C. porcellus*, que es el taxón que muestra el pie más corto (fig. 199).

Longitudes relativas del fémur, la tibia y el pie.

En *N. rex*, la tibia es el hueso que presenta una mayor longitud en la extremidad posterior; el pie y el fémur muestran una longitud similar, menor a la de la tibia. En este sentido, *C. porcellus* es el único caviomorfo que muestra unas relaciones entre las longitudes de la tibia, el fémur y el pie parecidas a las de *N. rex*. En el resto de caviomorfos las proporciones entre el fémur, la tibia y el pie son muy variables. Sin embargo, en *H. hydrochaeris*, *A. paca*, *D. leporina* y *M. acouchy* es el pie el que muestra una mayor longitud. En *M. acouchy*, *D. leporina* y *A. paca* el fémur es el que muestra una longitud menor, mientras que en *H. hydrochaeris* es la tibia (fig. 200).

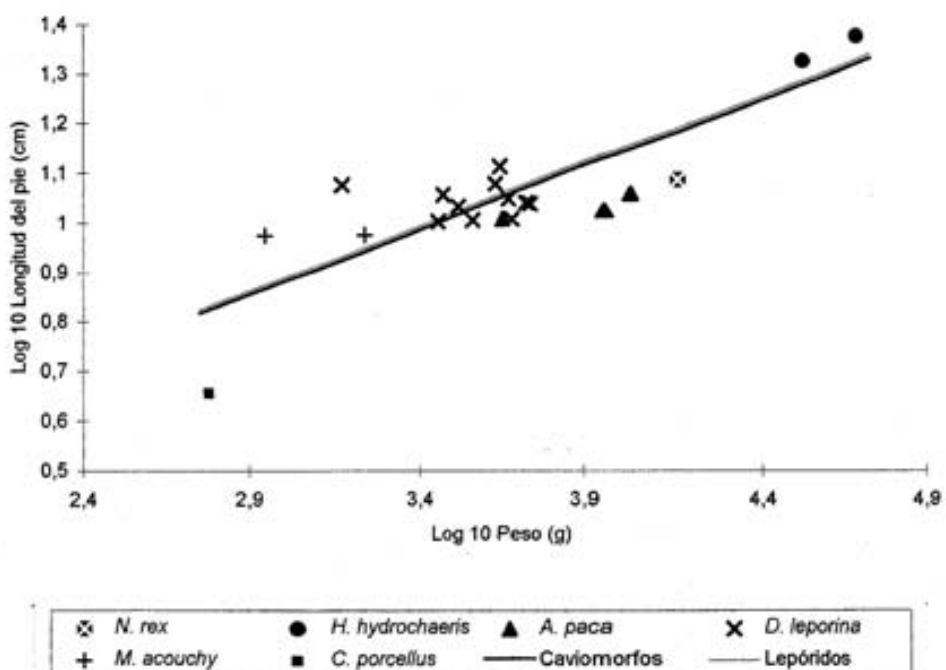


Fig. 199. Representación alométrica de la longitud del pie en *N. rex*, lepóridos y caviomorfos

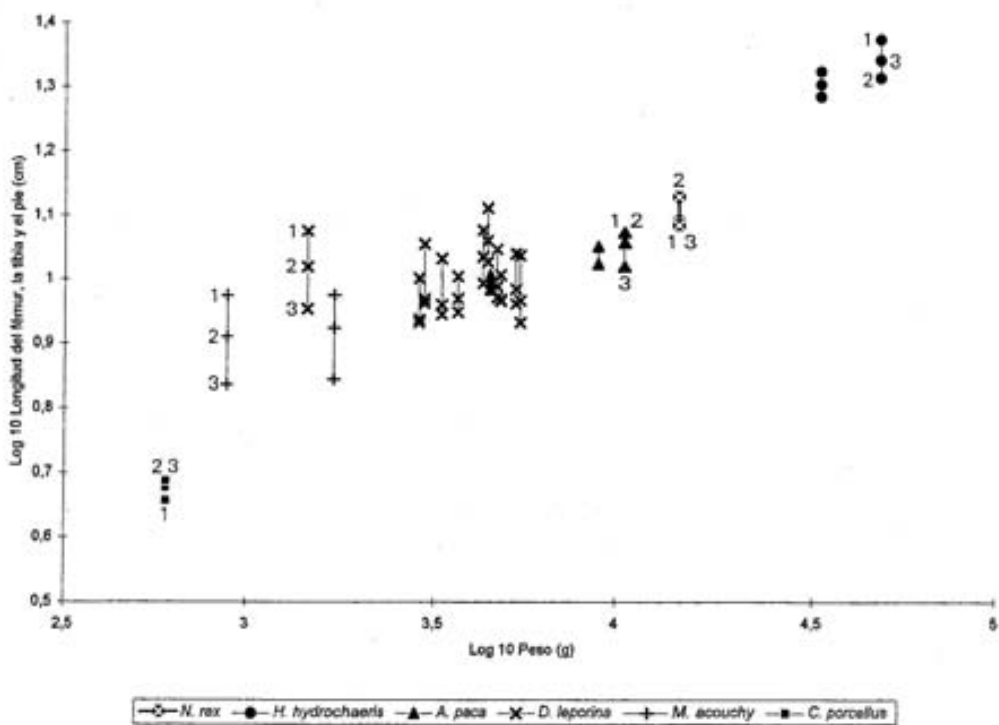


Fig. 200. Representación alométrica de las longitudes del fémur (3), la tibia (2) y el pie (1) en *N. rex* y algunos caviomorfos

Longitud de la extremidad posterior.

La longitud de la extremidad posterior es similar a la de *A. paca* y algunos ejemplares de *D. leporina*; *C. porcellus* es el caviomorfo que muestra la extremidad posterior más corta (fig. 201).

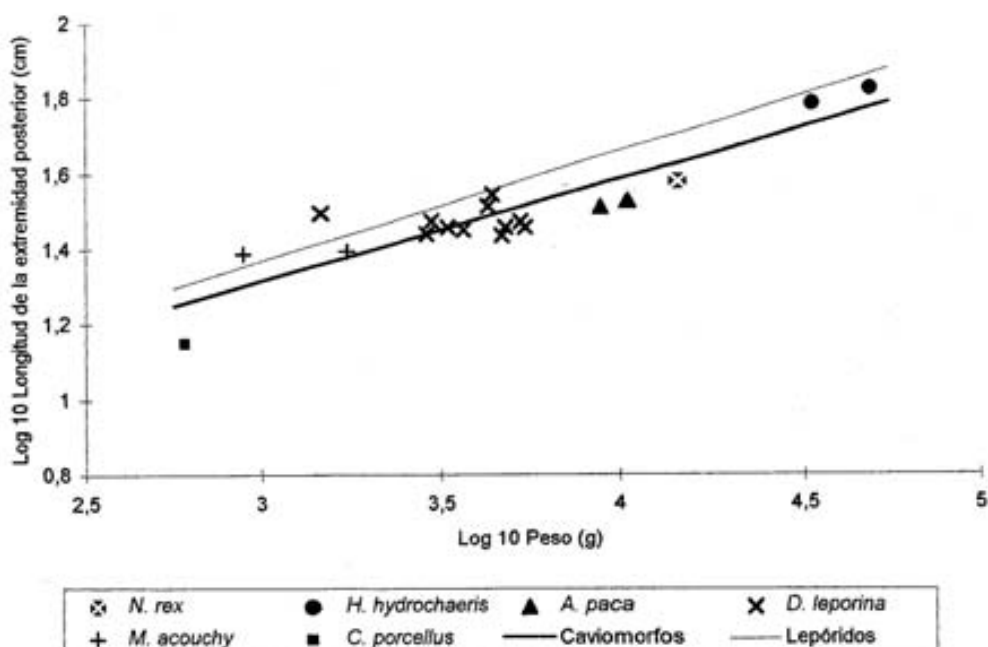


Fig. 201. Representación alométrica de la longitud de la extremidad posterior en *N. rex*, lepóridos y caviomorfos.

Recapitulación sobre la extremidad posterior.

Como en el caso de la extremidad anterior, las principales semejanzas de la extremidad posterior se establecen entre *N. rex* y los caviomorfos, especialmente con *A. paca* y *C. porcellus*. Estos dos taxones muestran, como *N. rex*, un pie muy corto, especialmente *C. porcellus*. En este taxon, además, las relaciones entre las longitudes del fémur, la tibia y el pie son semejantes a las de *N. rex*.

Ha de tenerse muy en cuenta, sin embargo, que si bien existen ciertas semejanzas con los caviomorfos, existen también marcadas diferencias entre estos y *N. rex*. Al contrario que *N. rex*, todos los caviomorfos (excepto *C. porcellus*) muestran unos pies digitigrados (Carrano, 1997). La posición del pie tiene importantes implicaciones locomotoras al relacionarse con el grado de flexión de la extremidad posterior y con la velocidad y potencia con la que se mueve el pie (véase apartado 7.7.5.17).

El pie plantígrado de *N. rex* implica una extremidad muy flexionada, con la que se contrarresta el exceso de tensión en el tendón común del calcáneo.

Estas características parecen indicar, por tanto, que el movimiento de la extremidad posterior de *N. rex* sería lento y potente, más acorde con una locomoción marchadora que con una locomoción basada en la velocidad.

8.3. LA LOCOMOCIÓN EN ALGUNOS ROEDORES NO CAVIOMORFOS.

Pese a no haberse podido cuantificar los cambios alométricos en algunos grandes roedores no caviomorfos (como *Castor canadiensis*, *Castor fiber* o *Hystrix cristata*), la comparación de la relación entre la longitud y el diámetro antero-posterior de la diáfisis del húmero, la ulna, el fémur y la tibia pone de manifiesto las semejanzas entre estos roedores y *N. rex* (fig. 202). La comparación de *N. rex* con *C. canadiensis*, *C. fiber* e *Hystrix cristata* (puerco espín de El Cabo) resulta especialmente interesante ya que, al contrario que *D. leporina*, *H. hydrochaeris* o *A. paca*, muestran una locomoción plantígrada, y unos pesos en ocasiones semejantes a los de *N. rex* (en el género *Castor*, el rango de pesos varía entre los 11 y 30 kg y entre los 13-27 kg en *Hystrix cristata* [McDonald, 1991]). En cuanto a su locomoción, *H. cristata* (puerco espín de El Cabo) puede considerarse como una especie marchadora típica (Bou, 1988). En cambio, *C. canadiensis* y *C. fiber* son roedores muy bien adaptados a la vida acuática, de manera que en tierra son lentos y torpes. Andan con la cabeza hacia abajo y la pelvis hacia arriba, de manera patosa, sobre sus pies, grandes y torcidos hacia dentro, y sobre las patas delanteras, que son pequeñas y cortas (McDonald, 1991).

Muy posiblemente, las mayores semejanzas locomotoras de *N. rex* se establecen, por tanto, no con los caviomorfos digitigrados, sino con los grandes roedores plantígrados.

8.4. CURVATURA DE LA COLUMNA VERTEBRAL.

N. rex muestra, especialmente en la zona lumbar, una curvatura muy marcada, característica que comparte con algunos grandes roedores, como *H. hydrochaeris*, *D. leporina*, *A. paca*, *H. cristata*, *C. canadiensis* o *C. fiber* (Slijper, 1946; Rocha, 1997; McDonal, 1991). En estos taxones, la flexión de la zona lumbar predomina sobre la capacidad de extensión, lo que limita de forma importante la longitud de la zancada y la velocidad a la que se mueven estos animales; la mayor capacidad para extender la columna vertebral permite, en los animales típicamente corredores, un incremento en la longitud de la zancada y de la velocidad.

La marcada curvatura de la columna vertebral de *N. rex* y la limitada capacidad de extensión parece relacionarse, por tanto, con una locomoción marchadora no basada en la velocidad.

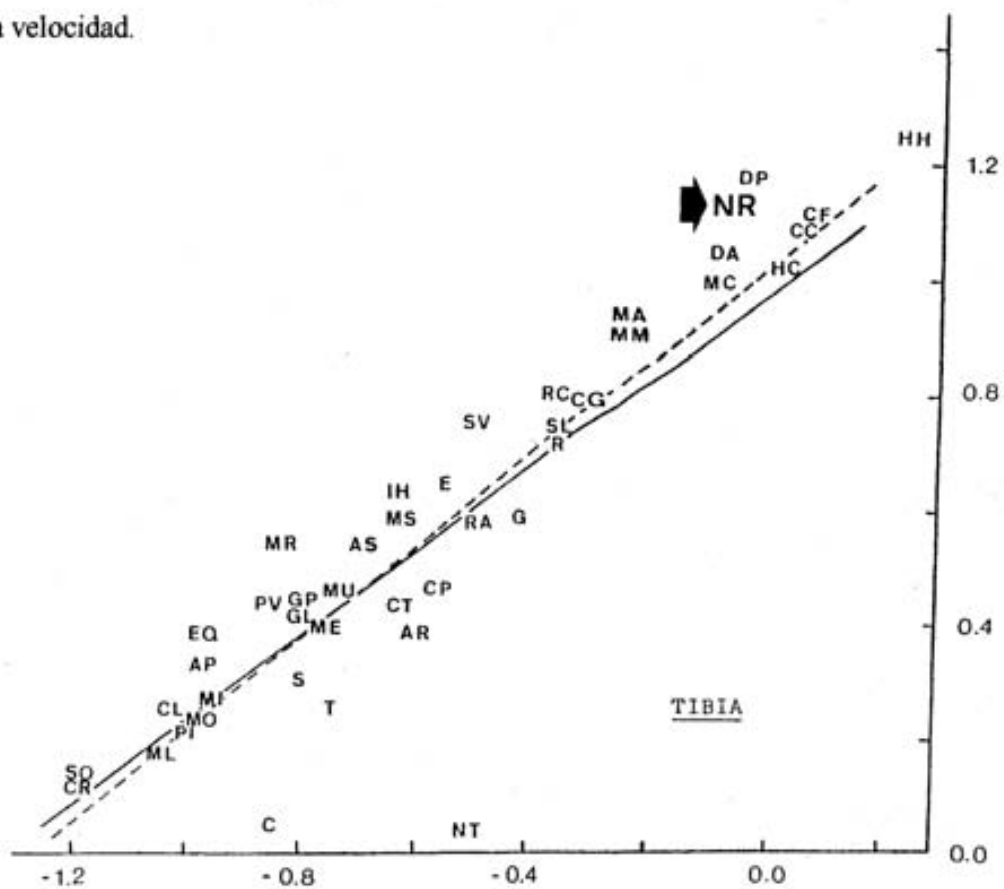


Fig. 202. Representación del diámetro (abscisas) y la longitud de la tibia (coordenadas) (en valores logarítmicos) de *N. rex* (NR) en relación con algunos roedores (caviomorfos y no caviomorfos) e insectívoros. HH: *Hydrochaeris hydrochaeris*; CF: *Castor fiber*; CC: *Castor canadiensis*; DA: *Dasyprocta leporina*; DP: *Dolichotis patagonum*; HC: *Hyrax cristata*; MC: *Myocastor coypus*; MA: *Myoprocta acouchy*; MM: *Marmota marmota*. La posición relativa del fémur, la ulna y el húmero de *N. rex* sería similar. Tomado de Bou, 1988.

8.5. CONCLUSIONES SOBRE LA LOCOMOCIÓN DE *N. rex*

El estudio morfológico y funcional de *N. rex*, y la comparación con otros grupos de mamíferos (insectívoros, lepóridos y roedores) indican que las mayores semejanzas se establecen entre *N. rex* y los grandes roedores, especialmente, los plantigrados. *N. rex* pasó de ser un lepórido corredor a un lepórido marchador, caracterizado por unos movimientos lentos y potentes, en el que jugaron un papel más importante los movimientos mediolaterales de las extremidades y de la columna vertebral, frente a los movimientos sagitales, típicos de los animales corredores.

9. RELACIONES FILOGENÉTICAS DE *N. rex*.

Por su elevado valor diagnóstico, el P/3 de *N. rex* es una pieza fundamental para establecer la taxonomía de este género y las relaciones filogenéticas y biogeográficas con otros taxones estrechamente relacionados.

Las características básicas que definen el P/3 de *N. rex* (presencia de un hipofléxido y un mesofléxido enfrentados y ausencia de anterofléxido) coinciden plenamente con las del género *Alilepus* dadas por Bohlin (1942).

Pese a que la morfología dental coincide con la del género *Alilepus*, las especiales características craneales, especialmente de la región occipital, permiten incluirlo en un género diferente.

Pese a estas diferencias craneales, producto, muy posiblemente, de la evolución en condiciones de insularidad, resultan evidentes sus relaciones con el género *Alilepus*.

Alilepus presenta una distribución geográfica muy amplia, estando presente en el Mioceno superior-Plioceno inferior de Eurasia y en el plioceno de Norteamérica (White, 1991).

El P/3 de las especies norteamericanas de *Alilepus* se diferencian de *N. rex* por la mayor concavidad de la cara lingual, característica que, además, las diferencia del resto de especies euroasiáticas con las que se han comparado (*A. annectens*, *A. longisimus*, *A. sp* de Eivissa y *A. turolensis*) (White, 1991; Zhuding y Defen, 1986; López-Martínez, 1989).

Unos determinados morfotipos del P/3 de *N. rex* se asemejan, por el menor desarrollo del mesofléxido (morfotipo B, fig. 20) a *A. annectens*, mientras que otros, con un mayor desarrollo del mesofléxido (morfotipo A, fig. 20), son más semejantes a *A. turolensis* o *A.*

sp de Pikermi (López-Martínez, 1976). Los morfotipos C y D (fig. 20) no han sido observados en ninguna especie de *Alilepus*.

Las mayores semejanzas de los P/3 de *N. rex* se establecen, sin ninguna duda, con *Alilepus* sp del yacimiento de Ses Fontanelles (Eivissa, Illes Balears).

Como en *N. rex*, *Alilepus* sp presenta un talónido muy amplio en sentido antero-posterior, con el margen posterior muy redondeado. Además, la cara lingual es muy plana, y el margen anterior del hipoflexido está muy curvada, de manera que queda más próxima al margen posterior, aunque no tanto como en *N. rex*.

Alilepus sp presenta un tamaño pequeño en comparación a *N. rex*, lo que parece indicar que se trata, posiblemente, de una especie poco diferenciada de sus parientes continentales.

Las semejanzas de *N. rex* y *Alilepus* sp de Eivissa parecen indicar estrechas relaciones filogenéticas entre ambos taxones (Moyà *et al.*, 1984). Muy posiblemente, *Alilepus* sp de Eivissa y *N. rex* compartieron un ancestro común.

10. ÉPOCA DE COLONIZACIÓN.

Pons-Moyà *et al.* (1981) consideran que el proceso de colonización de las Baleares tuvo lugar en dos épocas diferentes, que habrían coincidido con dos fases regresivas del Messiniense (Mioceno superior).

Los datos de los que se dispone actualmente, referidos a la regresión messiniense obligan, sin embargo, a replantear esta cuestión. Si bien es cierto que durante esta época existieron varios episodios regresivos, la magnitud de cada uno de ellos fué también muy diferente. La primera fase regresiva importante ocurrió entre los 5,75 y los 5,60 m.a (Clauzon *et al.*, 1996), y el nivel del mar bajó entre 10 y 50 m; la segunda tuvo lugar entre los 5,60 y los 5,32 m.a. y el nivel del mar bajó unos 1500 m (Clauzon *et al.*, 1996).

Por su importancia, la segunda fase regresiva permitió la conexión de las islas con las áreas continentales adyacentes y el tránsito de una serie de taxones entre estas dos áreas geográficas.

El conjunto de estos taxones constituyó la "protofauna" de la que posteriormente derivarían los conjuntos faunísticos propios de cada isla.

11. CONSIDERACIONES BIOGEOGRÁFICAS.

En este apartado se tratarán las relaciones biogeográficas de las faunas vertebradas de la isla de Eivissa, Menorca y Mallorca, desde el Mioceno superior hasta el Pleistoceno superior-Holoceno.

En el planteamiento del modelo biogeográfico, se han considerado, por una parte, los modelos biogeográficos ya existentes, es decir, el modelo biogeográfico planteado por Pons-Moyà *et al.* (1981), y el modelo de Alcover *et al.* (1999).

El principal obstáculo en el planteamiento del modelo biogeográfico ha sido la práctica inexistencia de dataciones absolutas referidas a los diferentes yacimientos de las Baleares. Esto dificulta en gran medida las correlaciones faunísticas entre las islas. Estas se han establecido, por lo tanto, a partir de dos criterios: el de las regresiones marinas ocurridas en el mediterraneo, y los caracteres morfológicos de cada especie y su diferenciación respecto de las faunas continentales de las que derivan.

Modelo biogeográfico de Pons-Moyà, Moyà-Solà, Agustí y Alcover (1981)

El modelo biogeográfico propuesto por Pons-Moyà *et al.* (1981) muestra una clara bipolaridad faunística, surgida de la idea que las Baleares fueron colonizadas en dos momentos diferentes durante el Messiniense. El primer grupo faunístico, más antiguo, estaría representado en los yacimientos de Ses Fontanelles y Punta Nati-Cala's Pous. El yacimiento de Ses Fontanelles estaría situado temporalmente en el Mioceno superior-Plioceno inferior, mientras que los yacimientos de Punta Nati-Cala's Pous son datados como intra-messinienses (Pons-Moyà *et al.*, 1981; Moyà-Solà, 1984).

El segundo grupo, más moderno, estaría representado tanto en Mallorca como en Menorca, y se situaría temporalmente entre el Messiniense y el Pleistoceno superior-Holoceno.

Este modelo supone, además, la independencia entre las faunas presentes en Eivissa y en Mallorca-Menorca (Alcover *et al.*, 1981).

Modelo biogeográfico de Alcover, Bover y Seguí (1999)

Este modelo se diferencia básicamente del anterior, por las siguientes características:

-Los límites superiores de distribución de la fauna del yacimiento de Ses Fontanelles y el de la regresión messiniense son coincidentes. Además, no parece existir relación de continuidad entre la fauna de Ses Fontanelles y las faunas posteriores, que se sitúan entre el Plioceno medio-Pleistoceno s.l.

-La distribución temporal de la fauna asociada a *N. rex* se sitúa entre el Messiniense y el Plioceno inferior-medio.

-El límite inferior de distribución temporal para la fauna con *Myotragus* se sitúa entre el Plioceno inferior para Mallorca, y entre el Plioceno inferior y medio en el caso de Menorca.

Registro paleontológico.

Pese a ser incompleto y en ocasiones mal conocido (especialmente en Eivissa), el registro paleontológico de los vertebrados insulares de las Baleares puede considerarse como satisfactorio, de manera que nos ofrece una idea muy aproximada sobre cuales fueron los conjuntos faunísticos que ocuparon cada una de las islas en el pasado.

Las marcadas diferencias de composición en las faunas de origen messiniense de Mallorca, Menorca y Eivissa pueden atribuirse a una falta de registro paleontológico. Si bien esto es especialmente cierto para Eivissa y Menorca, no parece serlo para Mallorca, en la que existe un número muy elevado de yacimientos (Alcover *et al.*, 1981), en los que están representados un conjunto faunístico similar (a nivel genérico) desde el Plioceno hasta el holoceno. La homogeneidad de las biotas presentes en Mallorca, y la inexistencia de algunos de los taxones presentes en Menorca y Eivissa (*N. rex* y *Alilepus* sp, respectivamente), no parecen reflejar, por lo tanto, un sesgo en el registro paleontológico, sinó más bién, un registro paleontológico particular, tal como sucede en Eivissa y Menorca.

Dataciones absolutas.

La única datación absoluta, realizada a partir de métodos paleomagnéticos, para un yacimiento con fauna vertebrada de las Baleares, corresponde al de la Cova de Canet (Mallorca) (Pons *et al.*, 1979). Los diferentes niveles de este yacimiento se sitúan temporalmente en el Plioceno superior y en ellos aparecen formas muy primitivas de *Myotragus* (*M. antiquus* y *M. aff. kopperi*).

La inexistencia de dataciones absolutas en los depósitos más antiguos de Menorca y Eivissa no permiten la comparación temporal y faunística de estos yacimientos con los de la Cova de Canet.

Sin embargo, la datación de este yacimiento permite situar, aunque sea de forma relativa, y en base de los caracteres morfológicos, los yacimientos situados por debajo y por encima del Plioceno superior de Mallorca.

Dataciones relativas.

La forma más primitiva del género *Myotragus* corresponde a *M. peggonellae*, situado temporalmente, aunque con dudas, en el Plioceno inferior (Moyà y Pons, 1981). Su datación relativa se basa, por una parte, en los caracteres primitivos de esta especie (que la sitúan temporalmente por debajo de *M. antiquus* y *M. aff. Kopperi*), y por otra, en la situación del yacimiento respecto al nivel del mar y en el conocimiento de una antigua fase de carstificación que tuvo lugar en los depósitos de arrecifes coralinos durante el messiniense superior (Alcover *et al.*, 1981).

Por otra parte, Moyà-Solà *et al.* (1984) datan el yacimiento de Ses Fontanelles (Eivissa) entre el Mioceno terminal y la base del Plioceno, teniendo en cuenta la presencia de un gerbiliido (*Protatera*) en este yacimiento (los gerbiliidos están presentes en el sureste de la Península Iberica precisamente en esta época) y las escasas modificaciones morfológicas que presentan los taxones.

La única datación relativa posible para los yacimientos de Punta Nati-Cala's Pous corresponde al Plioceno s.l., al fosilizar los sedimentos del Mioceno superior que se encuentran en la zona (Quintana, 1998).

Por lo tanto, las dataciones relativas ponen de manifiesto la existencia, en cada una de las islas, de unos grupos faunísticos diferentes, situados temporalmente en el Plioceno s.l.

Regresiones marinas.

Las regresiones marinas constituyen el principal argumento a la hora de explicar las diferentes entradas faunísticas en cada una de las islas.

Su rango condiciona, en buena parte, el grado de dispersión de las biotas. Las relaciones topográficas entre las diferentes islas y su distancia respecto a las zonas continentales adyacentes, constituyen otros factores a considerar a la hora de valorar el efecto de las regresiones sobre cada uno de los taxones.

Si bien es cierto que la regresión marina del Messiniense permitió la entrada de una serie de taxones en cada una de las islas, también es cierto que las condiciones ecológicas existentes en el Mediterráneo durante esta época (semejantes a las de un desierto salino), constituyeron un factor negativo para la dispersión de estas biotas.

La llegada de un determinado taxón a una determinada isla constituyó, por lo tanto, un fenómeno altamente improbable y azaroso, que determinó tanto las semejanzas como las diferencias entre cada una de las islas. Posiblemente esta sea la razón por la que aparecen,

en los yacimientos pliocénicos s.l de Mallorca y Menorca, faunas tan diferentes, pese a su proximidad geográfica.

En el Pleistoceno, ambas islas presentan, sin embargo, los mismos taxones. La presencia de *Myotragus balearicus* en Menorca puede explicarse en base a las regresiones que tuvieron lugar durante durante el Pleistoceno superior, tal como sugieren Moyà-Solà y Pons-Moyà (1980) y Alcover *et al.* (1981), y que habrían comunicado Mallorca y Menorca y propiciado el intercambio faunístico.

Más difícil resulta explicar el origen de *Myotragus binigausensis*. Este taxón, y el resto de mamíferos encontrados en el yacimiento del barranco de Binigaus (Menorca), han sido considerados por Moyà-Solà y Pons-Moyà (1980), Pons-Moyà y Moyà-Solà (1980) y Agustí (1980) como los representantes de una línea filética independiente de la existente en Mallorca. La presencia de estos taxones parece ser posterior a la asociación faunística representada en Punta Nati-Cala's Pous. Moyà-Solà y Pons-Moyà (1980) sitúan el yacimiento de Binigaus, aunque con dudas, en el Pleistoceno inferior. Precisamente, la regresión fini-pliocénica coincide con un mínimo eustático, relacionado con las glaciaciones Donau (Riba, 1981). En este aspecto, el Pleistoceno inferior es aún mal conocido. Parece sugerente, sin embargo, la relación entre el mínimo eustático y la existencia en Menorca de los primeros *Myotragus*.

Las regresiones marinas constituyen, por lo tanto, un fenómeno mediante el cual se explica, de manera satisfactoria, la presencia de mamíferos en las islas. Sin embargo, la presencia de otros taxones no parece supeditada, de manera necesaria, a estos fenómenos: las condiciones ecológicas de la cuenca mediterránea durante la regresión Messiniense debieron ser poco propicias para la dispersión de ciertos grupos animales, como moluscos terrestres, anfibios y amfisbénidos. La existencia de discoglósidos en las faunas insulares posiblemente pueda explicarse por la mayor resistencia que estos presentan a condiciones ambientales especialmente xéricas (Alcover, 1988).

Por lo tanto, hay que tener muy en cuenta que la diversidad de las antiguas faunas insulares no es consecuencia únicamente de las regresiones marinas, sino también el resultado de un proceso de colonización más antiguo, cuando las Baleares aún formaban parte de la Península Ibérica.

Similitudes faunísticas.

La presencia de dos taxones estrechamente relacionados en Menorca y Eivissa (*N. rex*s y *Alilepus*. sp), y en Mallorca y Menorca (*Myotragus*, *Eliomys* (*Hypnomys*), *Nesiotites* y *Discoglossus*), ponen de manifiesto un origen común, tanto geográfico como temporal, de estas faunas.

Eivissa es, en comparación al resto de las islas Baleares, la que presenta, en los depósitos más antiguos (Ses Fontanelles), una mayor diversidad de mamíferos. En este yacimiento están presentes dos bóvidos, un gerbillido (*Protatera*), un glírido (*Eliomys* (*Eliomys*) sp.), un leporido (*Alilepus* sp) y un sorícido indeterminado (Moyà-Solà *et al.*, 1984; Alcover y Agustí, 1985).

La situación taxonómica del antílope, del bóvido y del sorícido son inciertas. Sin embargo, el bóvido presenta un pronunciado acortamiento del metacarpo, aunque sin llegar a los extremos de *Myotragus* (Moyà-Solà *et al.*, 1984); resulta evidente la relación entre *Eliomys* (*Eliomys*) sp y *Eliomys* (*Hypnomys*) de Mallorca y Menorca, ya que todas las formas endémicas de glíridos del Plio-Pleistoceno de las islas del mediterráneo occidental (a excepción de *Muscardinus cyclopeus* de Punta Nati-Cala's Pous y *Leithia* de varios yacimientos siculomalteños) se relacionan con *Eliomys* (*Eliomys*) (Alcover y Agustí, 1985).

El yacimiento de Ses Fontanelles presenta, por tanto, una curiosa mezcla de los taxones representados en Menorca (*N. rex*, descendiente de *Alilepus*) y en Mallorca-Menorca (*Eliomys*) que ponen de manifiesto, como antes ya se apuntaba, un origen común, tanto geográfico como temporal, para una parte importante del conjunto de las antiguas biotas vertebradas endémicas de las Baleares.

Modelo paleobiogeográfico.

Teniendo en cuenta todas las consideraciones anteriores, se propone el modelo biogeográfico representado en la figura 203. De forma estricta, las líneas de distribución son válidas únicamente para los mamíferos. En el caso de anfibios y reptiles, las distribuciones temporales son, en la mayoría de los casos, más amplias inferiormente y anteriores a la regresión messiniense.

En este modelo biogeográfico se han considerado, para Menorca, tres grupos faunísticos diferentes:

	Mioceno superior	Plioceno	Pleistoceno	Holocene
1.....>	Antilope indet. Bóvido indet. <i>Protatera</i> sp <i>Alilepus</i> sp Soricido indet. <i>Eliomys (Eliomys)</i> sp <i>Podarcis</i> sp <i>Quelonia</i> indet. <i>Nuralagus rex</i> <i>Muscardinus cyclopeus</i> Discoglossidae sp 1 <i>Blanus</i> sp	A ?	B ?	
2.....>	<i>Vipera natiensis</i> <i>Vipera</i> sp 2 Colubridae sp Geconidae sp <i>Podarcis</i> sp <i>Cheirogaster gymnesica</i> <i>Myotragus</i> <i>Eliomys (Hypnomys)</i>	C ?	D ?	E
3.....>	<i>Nesiotites</i> <i>Discoglossus</i> sp 2 <i>Alytes</i> <i>Podarcis</i> sp		?	?

Fig. 203. Grupos faunísticos en las islas Baleares a partir de la regresión mesiniense (Mioceno superior). No se incluyen ni las aves ni los quirópteros. (1): Eivissa. A: Ses Fontanelles; B: Ca Na Reia; (2): Menorca. C: asociación faunística de Punta Nati-Cala's Pous; D: asociación faunística con *Myotragus binigausensis*, *Eliomys (Hypnomys) eltomyoïdes*, *Nesiotites meloussae*, *Discoglossus* sp y *Podarcis* sp; E: asociación faunística de *Myotragus balearicus*, *Eliomys (Hypnomys) morpheus*, *Nesiotites hidalgo*, *Discoglossus* sp y *Podarcis* sp. (3): Mallorca. Las distribuciones temporales más antiguas para anfibios y reptiles no coinciden con las de los mamíferos, y son, en la mayoría de los casos, anteriores al Messiniense.

Grupo faunístico de Punta Nati-Cala's Pous.

Si bien la entrada de este grupo faunístico es intramesiniense, la edad de los yacimientos es posterior, al fosilizar los sedimentos messinienses de la zona de Punta Nati-Cala's Pous.

Puede considerarse como el grupo faunístico post-mesiniense más antiguo de Menorca. La fauna de mamíferos que aparece en los yacimientos de Punta Nati-Cala's Pous es totalmente diferente de la que aparece en las asociaciones faunísticas posteriores, tanto en Menorca como en Mallorca.

Grupo faunístico del Barranc de Binigaus.

La entrada de este grupo en Menorca se considera post-messiniense y post-pliocénica, al no haberse encontrado en esta isla formas primitivas de *Myotragus* semejantes a las que aparecen en el Plioceno de Mallorca. La entrada en Menorca de este grupo faunístico se

habría producido en el Pleistoceno inferior, a partir de un grupo faunístico procedente de Mallorca, en el que se incluiría una forma muy próxima a *Myotragus kopperi* y de la que habría evolucionado la asociación faunística del Barranc de Binigaus.

Por sus características, la fauna del Barranc de Binigaus puede considerarse endémica de Menorca, al haber evolucionado de forma independiente respecto de las faunas existentes en Mallorca (Moyà-Solà y Pons-Moyà, 1980; Pons-Moyà y Moyà-Solà, 1980; Agustí, 1980).

Grupo faunístico con *Myotragus balearicus*.

Correspondería a la más reciente de las asociaciones faunísticas con *Myotragus* presentes en Menorca. Las regresiones marinas del Pleistoceno superior habrían propiciado el intercambio faunístico y permitido la entrada en Menorca de los *Myotragus* procedentes de Mallorca (Moyà-Solà y Pons-Moyà, 1980).

12. CONCLUSIONES.

La presente memoria de investigación puede considerarse como la primera aproximación al estudio morfológico y funcional de *N. rex*, el lepórido gigante de los depósitos cársticos de Punta Nati-Cala's Pous.

Los principales apartados en los que se ha dividido este trabajo son los siguientes:

•Estudio de los yacimientos con faunas insulares.

La zona comprendida entre Punta Nati y Cala's Pous es interesantísima desde el punto de vista paleontológico, tanto por la cantidad de yacimientos como por el rango temporal que estos abarcan.

En esta localidad aparecen tres asociaciones faunísticas con características típicamente insulares. La asociación faunística con *Gymnèsicolagus* está representada por un solo yacimiento, en el que los restos de fauna son muy escasos y fragmentarios. Es la asociación faunística más antigua, al situarse en el Mioceno medio; el grupo faunístico con *Myotragus* es el más reciente, al situarse en el Pleistoceno s.l., estando bien representado en la zona (Quintana, 1998; Seguí *et al.*, 1998)

La asociación faunística con *N. rex* se sitúa temporalmente entre estos dos grupos faunísticos. Está muy bien representada en la zona, tanto por el número de restos recuperados como por el número de yacimientos. El yacimiento 11 (Quintana, 1998) ha permitido situar los yacimientos con *N. rex* en el Plioceno s.l., mientras que el yacimiento 6 es el que ha proporcionado un mayor número de restos de este lepórido, razón por la cual ha sido considerado la localidad típica de este taxón.

N. rex ha sido también encontrado en la zona de Punta Esquitxador (yacimiento 18) y de Son Saura (yacimiento 28) (Quintana, 1998). En estos dos yacimientos, los restos de *N. rex* son muy escasos y fragmentarios.

Todos los yacimientos con *N. rex* se localizan en el extremo occidental de Menorca. Es de esperar que futuras campañas de prospección localizan nuevos yacimientos en el resto de la isla.

•**Estudio faunístico de los yacimientos de Punta Nati-Cala's Pous.**

Con anterioridad a la realización de la presente memoria, los únicos vertebrados descritos, procedentes de los yacimientos de Punta Nati-Cala's Pous fueron *Cheirogaster gymnesica* (Bate, 1914) y *Muscardinus cyclopeus* Agustí, Moyà y Pons, 1982, conociéndose además la existencia de dos mamíferos más (cf. *Alilepus* y *Rhinolophus cf. grivensis*), algunas aves y anfibios (Pons *et al.*, 1981).

El tratamiento químico de los yacimientos de Punta Nati-Cala's Pous ha permitido también recuperar una muestra importante de nuevos géneros y especies de aves, reptiles y anfibios. De forma paralela al desarrollo de esta memoria se han descrito los siguientes taxones, gracias a la valiosa colaboración de numerosos especialistas:

Aves:

Scolopax carmesinae Seguí, 1999.

Pterodromoides minoricensis Seguí, Quintana, Fornós y Alcover, 2001

Camusia quintanai Seguí, 2002

Reptiles:

Vipera natiensis Bailón, García y Quintana, 2002

La totalidad de vertebrados (mamíferos, anfibios y reptiles) encontrados en los yacimientos de Punta Nati-Cala's Pous y que aparecen asociados a *N. rex* aparecen en la figura 203. El grupo de vertebrados mejor representado (en número de taxones, no

en restos recuperados) es el de las aves. Además de los taxones ya citados, aparece un gruiforme indeterminado, *Tyto balearica*, *Athene* sp y *Corvus* sp (Seguí, 1998).

Los únicos invertebrados asociados a *N. rex* son los moluscos terrestres. De estos, *Oestophora* sp es el más característico, al no aparecer en los yacimientos pleistocénicos de la isla (Quintana, 1995).

No se ha realizado ningún tipo de estudio palinológico, de manera que los únicos restos vegetales recuperados han sido numerosas semillas de *Cneorum tricoccum*.

El conjunto faunístico de Punta Nati-Cala's Pous es exclusivo de Menorca, al contrario de los que sucede con las asociación faunística posterior, que aparece tanto en Mallorca como en Menorca.

•Establecimiento de un nuevo modelo biogeográfico.

La datación relativa de los yacimientos de Punta Nati-Cala's Pous y el estudio de su fauna ha permitido establecer un nuevo modelo biogeográfico para las antiguas faunas de Mallorca y Menorca (Fig. 203).

Las principales diferencias con los modelos biogeográficos anteriores (Pons *et al.*, 1981) radican en la datación y composición del segundo episodio faunístico en Menorca y en Mallorca. La colonización habría tenido lugar durante el Messiniense. Los taxones que habrían llegado y sobre todo serían diferentes en cada una de las islas. En Menorca, el segundo episodio faunístico estaría caracterizado por *N. rex*, presente desde el Mioceno superior hasta un momento indeterminado del Plioceno s.l. En Mallorca, el elemento más característico sería *Myotragus* y habría estado presente en la isla desde el Mioceno superior hasta la llegada de los primeros humanos. La entrada de los primeros *Myotragus* en Menorca sería posterior y se habría producido durante el Plioceno superior-Pleistoceno inferior.

En ningún caso, se considera la entrada de *Myotragus* en Menorca como la causa directa de la desaparición de *N. rex* (y la mayoría de taxones presentes en los yacimientos de Punta Nati-Cala's Pous), sino, más bien, como dos fenómenos relacionados con los cambios climáticos y medio ambientales ocurridos durante el Plioceno superior-Pleistoceno inferior.

•**Estimación de la masa corporal de *N. rex*.**

El peso medio de *N. rex* ha sido estimado en 14 kg, utilizando los valores medios de varios parámetros del fémur, la tibia, la mandíbula, el radio y el húmero.

En relación con sus antepasados continentales, *N. rex* habría experimentado un incremento de peso realmente espectacular, del orden del 985 %. Ningún lepórido actual (incluido *P. furnessi*) muestra, en estado salvaje, un peso superior al de *N. rex*.

•**Estudio del cráneo y la mandíbula.**

El estudio de los cambios alométricos parecen indicar una disminución del tamaño del cráneo y la mandíbula en relación con el resto del cuerpo. En relación con los lepóridos continentales, *N. rex* muestra la zona anterior del cráneo y la mandíbula más corta y la zona posterior del cráneo más baja, cambios que se relacionan con la reducción de las órbitas oculares y las bullas timpánicas. No parecen existir cambios importantes en la longitud de las series dentales; en cambio, la cresta nucal y a los huesos frontales son más anchos.

La reducción de las bullas timpánicas, las órbitas oculares y la zona posterior del cráneo parecen relacionarse con la reducción de algunos órganos de los sentidos (la vista y el oido) y del cerebro; en cambio, la mayor anchura de la cresta nucal parece relacionarse con un mayor desarrollo de la musculatura insertada en esta zona y en el cuello.

•**Estudio de las vértebras cervicales.**

Las vértebras cervicales de *N. rex* muestran, en comparación con las vértebras torácicas y lumbares, pocas modificaciones. Las vértebras cervicales de *N. rex* muestran, en relación con los lepóridos continentales, una longitud antero-posterior semejante y una mayor anchura, especialmente en la 3^a vértebra cervical. La mayor anchura de las vértebras cervicales posiblemente se relaciona con la mayor anchura de la cresta nucal y con un mayor desarrollo de la musculatura del cuello.

•Estudio de las vértebras torácicas.

En todas las vértebras torácicas (excepto en la 1^a) el cuerpo vertebral es más corto, especialmente en las vértebras 10^a-12^a. No es posible determinar si existen o no variaciones en la anchura del cuerpo vertebral, al no existir una tendencia clara al respecto. Los procesos articulares craneales y caudales son antero-posteriormente más cortos; además, la 12^a vértebra torácica muestra una mayor separación entre los procesos mamillares.

Todas estas características han sido relacionadas, por una parte, con cambios en la capacidad de extensión y flexión de la zona torácica (disminuye la capacidad de extensión y aumenta la de flexión) y, por otra, con la existencia de un mayor rango de movimientos en sentido lateral, especialmente, en la zona torácica distal.

•Estudio de las vértebras lumbares.

Las vértebras lumbares son las que muestran mayor número de modificaciones. Estas afectan al cuerpo vertebral, que es muy corto; en los procesos espinosos, mamillares y costales existe, en relación con los lepóridos continentales, una variación de sus posiciones relativas en sentido dorso-ventral. En la 7^a vértebra lumbar existe una notable reducción del proceso costal, debida al cambio de orientación de la vértebra y el sacro en relación con las alas del ilium.

De manera general, los cambios en las vértebras lumbares indican un cambio en la capacidad de flexión y extensión en la zona lumbar. Como en el caso de las vértebras torácicas, existe una disminución de la capacidad de extensión (es decir, de flexión en sentido dorsal) y una mayor capacidad de flexión (en sentido ventral). Los cambios en las posiciones relativas de los procesos espinosos, mamillares y costales indican un cambio importante en la musculatura de la zona lumbar y en la dirección en que se ejercían las principales fuerzas en esta zona, al incrementarse los movimientos laterales frente a los movimientos sagitales de flexión y extensión.

•Estudio de la extremidad anterior.

La extremidad anterior de *N. rex* es más corta, al reducirse la longitud del húmero, el radio, la ulna, los metacarplos y las falanges; la reducción en la longitud es mayor en el radio, la ulna y en los metacarplos.

Los cambios en las articulaciones del hombro y el codo, y los resultados obtenidos en el estudio de la linea de acción del teres mayor y el triceps, así como de la ventaja mecánica en la extremidad anterior, parecen indicar la marcada flexión de la extremidad anterior y el incremento en la misma de los movimientos laterales frente a los sagitales. Además, el movimiento era más lento y potente comparado con el de los lepóridos típicamente corredores.

La mano plantigrada y abierta de *N. rex* proporcionó una mayor estabilidad a la extremidad anterior, al contrarestrar, hasta cierto punto, los movimientos laterales en las articulaciones del hombro y del codo.

•**Estudio de la extremidad posterior.**

N. rex se diferencia de los lepóridos continentales por una extremidad posterior más corta, al haberse reducido la longitud del fémur y la tibia y, muy especialmente, la de los metatarsos.

Los cambios en la articulación de la cadera y la rodilla parecen indicar, como en la extremidad anterior, un incremento de los movimientos medio-laterales frente a los movimientos sagitales.

El análisis de funciones discriminantes y el estudio morfológico caracterizan el pie de *N. rex* como nítamente plantigrado, característica que lo diferencia claramente de los lepóridos típicamente corredores, en los que se alterna la locomoción plantigrada y digitigrada. El pie plantigrado y más ancho de *N. rex* debió contrarestar el incremento de movimientos laterales al estabilizar la extremidad posterior. El conjunto de las características que definen la extremidad anterior implican importantes cambios locomotrices en *N. rex*.

•**Longitudes relativas de las extremidades anteriores y posteriores.**

Como en el resto de lepóridos, la extremidad posterior es más larga que la extremidad anterior; en *N. rex*, la diferencia entre las longitudes de ambas extremidades (100, 46 mm) entra dentro del rango normal de variación en los lepóridos (véanse las tablas 54 y 68). Es decir, el acortamiento fue similar en ambas extremidades: un 26 % en la extremidad anterior y un 25 % en la extremidad posterior.

•**La locomoción en *N. rex*.**

El estudio de la columna vertebral y las extremidades de *N. rex* pone claramente de manifiesto las diferencias existentes en relación con los lepóridos típicamente continentales, cuya locomoción está basada en la velocidad. La marcada curvatura de la columna vertebral frente a la reducida capacidad de extensión de la misma, la reducción de la longitud de las extremidades, la marcada flexión de las mismas y la plantigradía de pies y manos indican claramente un tipo de locomoción lenta y potente, en la que cobran especial importancia los movimientos medio-laterales frente a los movimientos sagitales de las extremidades. En este sentido, la locomoción de *N. rex* sería semejante a la de algunos grandes roedores plantígrados.

•**Cambios debidos a la insularidad.**

Los cambios observados en *N. rex* han de interpretarse como el producto de la evolución en un medio insular en ausencia de depredadores. Desde el punto cualitativo, muchos de los cambios observados en *N. rex* son comunes a otros taxones mamíferos insulares

•**Tamaño corporal**

La variación en el tamaño corporal se produce de manera rápida en comparación con los cambios asociados a la locomoción y a otras estructuras esqueléticas (Alcover, 1988). Existen otros factores que influyen en la variación del tamaño corporal (disponibilidad de recursos alimenticios, por ejemplo), pero resulta bastante evidente que la ausencia de depredadores es uno de los factores que más influye en este sentido. En los lepóridos continentales, cuya principal defensa ante los depredadores es la velocidad, un peso relativamente pequeño (véase tabla 17) constituye una ventaja, dado que un cuerpo pequeño y ligero es más fácilmente acelerable que uno grande y pesado.

•**Cráneo y mandíbula**

N. rex muestra, al igual que otros taxones insulares (*Myotragus balearicus*, por ejemplo), importantes modificaciones en el cráneo y la mandíbula. El acortamiento de la mandíbula parece relacionarse con los cambios craneales. Tanto en *M. balearicus* como en *N. rex*, la rama mandibular está más inclinada hacia la zona

anterior; al contrario que en *M. balearicus*, sin embargo, el acortamiento de la mandíbula no afecta a la longitud de la serie dental.

La reducción de las órbitas oculares, la bulla timpánica y la zona posterior del cráneo se relacionan con la reducción de algunos órganos sensoriales (el oido y la vista) y, muy posiblemente, el cerebro. La falta de estímulos relacionados con la depredación (en el que juegan un papel muy importante la vista y el oido) favoreció tales cambios.

•Locomoción

Como animales corredores que son, los lepóridos continentales muestran unas extremidades largas (especialmente las posteriores) y una columna vertebral larga y flexible con la que se aumenta la longitud de la zancada. La superficie sobre la que contactan pies y manos durante la carrera es mínima, con lo que se reduce al máximo el rozamiento con la superficie del terreno.

En *N. rex*, la columna vertebral es más corta y flexible, al dominar la capacidad de flexión frente a la capacidad de extensión; la plantigradía dominó frente a la digitigradía, al contrario de lo que sucede en los lepóridos corredores, en los que se desarrollan ambas posturas; la plantigradía de las manos y los pies incrementó el área de soporte en ambas extremidades y estabilizó el paso; la mayor flexión y la reducción de la longitud de ambas extremidades acercó el centro de gravedad a la superficie del terreno.

La evolución en condiciones de insularidad y en ausencia de depredadores propició, por tanto, las características propias de una locomoción lenta y potente, al disminuir la longitud de la zancada y estabilizar el paso

•Reconstrucción del esqueleto de *N. rex*.

La reconstrucción del esqueleto de *N. rex* aparece en la figura 204, y se ha realizado según los criterios desarrollados en esta memoria de investigación, destacando como características principales, el pequeño tamaño del cráneo, la marcada curvatura de la columna vertebral, la marcada flexión de ambas extremidades y la plantigradía de pies y manos.

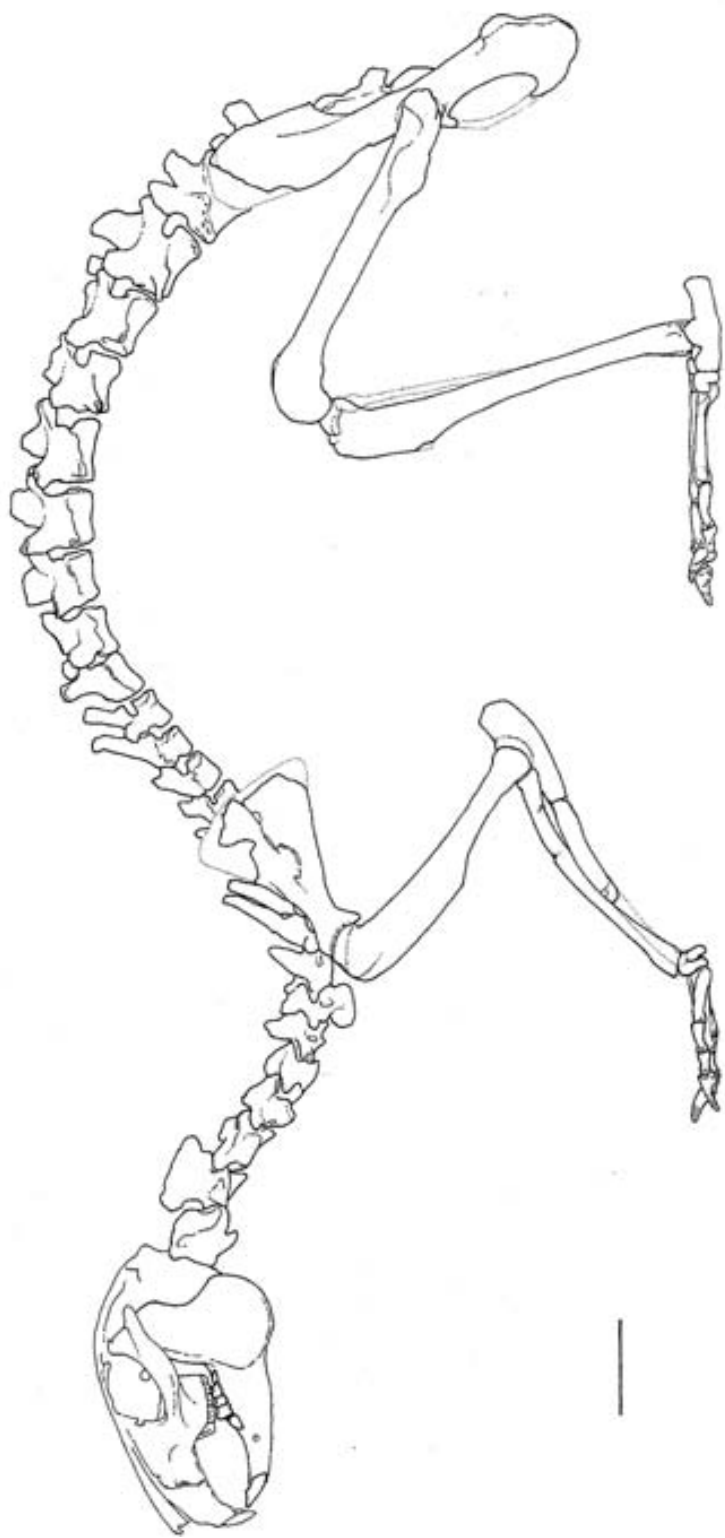


Fig. 204. Reconstrucción del esqueleto de *N. rex*. Escala gráfica: 5 cm

13. BIBLIOGRAFÍA

- Agustí, J.** 1980. *Hypnomys eliomyooides* nov. sp. Nuevo glírido (Rodentia, Mammalia) del Pleistoceno de Menorca (Islas Baleares). *Endins*, 7: 49-52.
- Agustí, J., Moyà-Solà, S. y Pons-Moyà, J.** 1982. Une espèce géante de *Muscardinus* Kaup, 1829(Gliridae, Rodentia, Mammalia) dans le gisement karstique de Cala es Pou (Miocene supérieur de Minorque, Baléares). *Geobios*, 15 (5): 783-789.
- Agustí, J. y Moyà, S.** 1990. Neogene-Quaternary mammalian faunas of the Balearics. En: *Biogeographical aspects of insularity*. Accademia Nazionale dei Lincei: 459-468.
- Alcover, J. A.** 1988. Las faunas preneolíticas de las islas mediterráneas. *Mundo Científico*, 80: 504-516.
- Alcover, J. A., Moyà-Solà, S. y Pons-Moyà, J.** 1981. *Les quimeres del passat. Els vertebrats fòssils del Plio-Quaternari de les Balears i Pitiüses*. Editorial Moll. Palma. 265 pp.
- Alcover, J. A. y Agustí, J.** 1985. *Eliomys (Eivissia) canarreiensis* n. sgen., n. sp, nou glírid del Pleistocè de la cova de Ca Na Reia (Pitiüses). *Endins*, 10-11: 51-56.
- Alcover, J. A., Bover, P. y Seguí, B.** 1999. *Una aproximació a la paleoecologia de les illes*. Mon. Soc. Hist. Nat. Balears 6 / Mon. Inst. Est. Bal. 66: 169-204.
- Alexander, R. McN.** 1985. Body support, scaling and allometry. En: Hildebrand, M., Bramble, D.M., Liem, K.F. y Wake, D.B. (eds.), *Functional Vertebrate Morphology*: 26-37. Cambridge, M.A., Belknap Press.
- Anderson, H. y Lent, P. C.** 1977. Reproduction and growth of the tundra hare (*Lepus othus*). *Journal of Mammalogy*, 58: 53-57.
- Angermann, R.** 1967. Bewiträge zur Kenntnis der Gattung *Lepus* (Lagomorpha, Leporidae) III. Zur Variabilität palaearktischer Schneehasen. *Mitteilungen aus dem Zoologischen Museum in Berlin*, 43: 161-178.
- Audubon, J. J. y Bachman, J.** 1852. *The quadrupeds of North America*. V.G. Audubon, 1: 1-383.
- Bailón, S., García-Porta, J. y Quintana, J.** 2002. Première découverte de Viperidae (Reptilia, Serpentes) dans les îles Baléares (Espagne): des vipères du Néogène de Minorque. Description d'une nouvelle espèce du Pliocène. *C.R. Palevol*, 1: 227-234.
- Barret-Hamilton, G. E. H.** 1900. Exhibition of skins of the variable hare. *Proceedings of the Zoological Society of London*: 87-92.

- Bate, D. M. A.** 1914a. A gigantic land tortoise from the Pleistocene of Menorca. *Geol. Mag.* N.S., Dec. 6 (1): 100-107.
- Bate, D. M. A.** 1914b. The Pleistocene ossiferous deposits of the Balearic islands. *Geol. Mag.* N.S., Dec. 6 (1): 347-354.
- Best, T. L. y Henry, T. H.** 1994. *Lepus othus. Mammalian species*, 458: 1-5. The American Society of Mammalogist.
- Biewener, A. A.** 1989. Scaling body support in Mammals: limb posture and muscle mechanics. *Science*, 245: 45-48.
- Bohlin, B.** 1942. A revision of the fossil lagomorpha in the Palaeontological Museum, Upsala. *Bull. of the Geol. Instit. of Upsala*, 30: 117-154.
- Bou, J.** 1988. *Contribució al coneixement de la biomecànica de la locomoció als micromamífers*. Tesis Doctoral. Universitat de Barcelona. 310 pp.
- Bou, J., Casinos, A. y Ocaña, J.** 1987. Allometry of the limb bones of insectivores and rodents. *Journal of Morphology*, 192: 113-123.
- Bourrouilh, R.** 1973. *Stratigraphie, Sédimentologie et Tectonique de l'île de Minorque et du nord-est de Majorque (Baléares)*. Tesis Doctoral, Universidad de Paris. 822 pp.
- Camp, C. L. y Borell, A. E.** 1937. Skeletal and muscular differences in the hind limbs of *Lepus*, *Sylvilagus* and *Ochotona*. *Journal of Mammalogy*, 18 (3): 315-326.
- Carrano, M. T.** 1997. Morphological indicators of foot posture in mammals: a statistical and biomechanical analysis. *Zoological Journal of the Linnean Society*, 121: 77-104.
- Cervantes, F. A.** 1997. *Sylvilagus graysoni*. *Mammalian Species*, 559: 1-3. American Society of Mammalogists.
- Cervantes, F. A., Lorenzo, C. y Hoffmann, R. S.** 1990. *Romerolagus diazi*. *Mammalian Species*, 360: 1-7. American Society of Mammalogist.
- Chapman, J. A.** 1974. *Sylvilagus bachmani*. *Mammalian Species*, 34: 1-4. American Society of Mammalogists.
- Chapman, J. A.** 1975. *Sylvilagus transitionalis*. *Mammalian Species*, 55: 1-4. American Society of Mammalogists.
- Chapman, J. A., Hockman, J. G. y Ojeda, M. M.** 1980. *Sylvilagus floridanus*. *Mammalian Species*, 136: 1-8. American Society of Mammalogists
- Chapman, J. A. y Morgan, R. P.** 1973. Systematic status of the cottontail complex in western Maryland and nearby West Virginia. *Wildlife Monogr.* 36: 1-54.

- Clauzon, G., Suc, J-P., Gautier, F., Berger, A. y Loutre, M-F.** 1996. Alternate interpretation of the Messinian salinity crisis: controversy resolved? *Geology*, 24 (4): 363-366.
- Colom, G.** 1957. *Biogeografía de las Baleares. La formación de las islas y el origen de su flora y fauna*. Ed. Est. Gral. Lul., 508 pp. Ciutat de Mallorca.
- Couturier, M.** 1955. Das Haarkleid des Alpenschneehasen *Lepus timidus varronis* Miller, 1901. *Zeitschrift für Jagdwissenschaft*, 1: 8-23.
- Cowan, D. P. y Bell, D. J.** 1986. Leporid social behaviour and social organization. *Mammal Review*, 16: 169-179.
- Cuerda, J.** 1975. *Los tiempos cuaternarios en Baleares*. Ed. Inst. Est. Bal., 304 pp.
- Currey, J. D.** 1984. *The mechanical adaptions of bones*. Princeton Univ. Press, New Jersey. 294 pp.
- Davis, W. B. y Lukens, P. W.** 1958. Mammals of the Mexican state of Guerrero, exclusive of Chiroptera and Rodentia. *Journal of Mammalogy*, 39: 347-367.
- Daxner, G. y Fejfar, O.** 1967. Über die Gattungen *Alilepus* Dice, 1931 und *Pliopentalagus* Gureev, 1964 (Lagomorpha, Mammalia). *Ann. Naturhistor. Mus. Wien*, 71: 37-55
- Dice, L. R.** 1926. Notes on Pacific Coast rabbits and pikas. *Occasional Papers of the Museum of Zoology, Univ. of Michigan*, 166: 1-28.
- Dubrul, E. L.** 1950. Posture, locomotion and the skull in lagomorpha. *Amer. J. Anat.*, 87 (2): 277-313.
- Dunn, J. P., Chapman, J. A. y Marsh, R. E.** 1982. Jackrabbits: *Lepus californicus* and allies. En: Chapman, J.A. y Feldhamer, G.A. (eds.), *Wild mammals of North America: biology, management and economics*. The John Hopkins University Press: 124-145.
- Feilden, H. W.** 1877. On the Mammalia of North Greenland and Grinnell Land. *The Zoologist*, 1: 353-361.
- Fejfar, O.** 1961. Die plio-pleistozänen Wirbeltierfaunen von Hajnácka und Ivanovce (Slowakei), CSSR III. Lagomorpha. *N.Jb. Geol. Paläont., Mh.*, 5: 267-282.
- Flux, J. E. C.** 1990. The Sumatran Rabbit *Nesolagus netscheri*. En: Chapman, J. A. y Flux, J.E.C. (eds.), *Rabbits, Hares and Pikas. Status Survey and Conservation Action Plan*: 137-139. Sultanate of Oman, IUCN y WWF.

- Fornós, J. J.** 1987. *Les plataformes carbonatades de les Balears*. Tesi Doctoral, Universitat de Barcelona, 954 pp.
- Foster, J. B.** 1963. *The evolution of the native land mammals of the Queen Charlotte Islands and the problem of insularity*. Tesis Doctoral. University of British Columbia.
- Garcia-Porta, J., Quintana, J. y Bailón, S.** (en prensa). Primer hallazgo de *Blanus sp.* (Amphisbaenidae, Reptilia) en el Neógeno balear. *Rev. Esp. de Herpetología*.
- Gautier, F., Clauzon, G., Suc, J-P., Cravatte, J. y Violanti, D.** 1994. Age et durée de la crise de salinité messinienne. *C.R. Acad. Sci. Paris*, 318 (2): 1103-1109.
- Gebo, D. L. y Rose, K. D.** 1993. Skeletal morphology and locomotor adaptation in *Prolimnocyon atavus*, an early Eocene hyaenodontid creodont. *Journal of Vertebrate Paleontology*, 13: 125-144.
- Gray, J.** 1968. *Animal locomotion*. New York.
- Gregory, W. K.** 1912. Notes on the principles of quadrupedal locomotion and on the mechanism of the limbs in hoofed animals. *Annals N.Y. Acad. Sciences*, 22: 267-294.
- Ghose, R. K.** 1978. Observation on the ecology and status of the hispid hare in Rajagarh forest, Darrang district, Assam in 1975 and 1976. *J. Bombay Nat. Hist. Soc.*, 75 (1): 206-209.
- Ginsburg, L.** 1961. Plantigradie et digitigradie chez les carnivores fissipèdes. *Mammalia*, 25: 1-21.
- Green, J. S. y Flinders, J. T.** 1980. *Brachylagus idahoensis*. *Mammalian Species*, 125: 1-4. American Society of Mammalogist.
- Gudrun, D. y Fejfar, O.** 1967. Über die Gattungen *Alilepus* Dice, 1931 und *Pliopentalagus* Gureev, 1964 (Lagomorpha, Mammalia). *Ann. Naturhistor. Mus. Wien*, 71: 37-55.
- Hibbard, C. W.** 1963. The origin of the P/3 pattern of *Sylvilagus*, *Caprolagus*, *Oryctolagus* and *Lepus*. *Jour. of Mammal.*, 44 (1): 1-15
- Hildebrand, M.** 1985. Walking and running. En: Hildebrand, M., Bramble, D.M., Liem, K.F. y Wake, D.B. (eds.), *Functional Vertebrate Morphology*: 38-57. Cambridge, M.A., Belknap Press.
- Hodgson, B. H.** 1847. On the hispid hare of the Saul Forest. *J. Asiatic Soc. Bengal.*, 16: 572-577.

- Imaizumi, Y.** 1970. *The handbook of Japanese land mammals*. Shin-Shicho-Sha Co., Tokyo. 360 pp.
- Jacobson, E. y Kloss, C. B.** 1919. Notes on the sumatran hare. *Journal of the F.M.S. Museums*, 7: 293-298.
- Jason, R. G.** 1946. *A survey of the native rabbits of Utah with reference to their classification, distribution, life histories and ecology*. Utah State Univ., 103 pp.
- Jurado, J. M.** 1985. *Estudi sedimentològic del Neogen de l'àrea de Ciutadella*. Tesis de licenciatura. Consell Insular de Menorca. Gràficas Fersosa. Barcelona. 144 pp.
- Kline, P. D.** 1963. Notes on the biology of the jackrabbit in Iowa. *Proc. Iowa Acad. Sci.*, 70: 196-204.
- Köhler, M. y Moyà-Solà, S.** (en prensa). Brain size reduction, an adaptive strategy in a predator-free environment.
- Lawlor, T. E.** 1982. The evolution of body size in mammals: evidence from insular populations in México. *The American Naturalist*, 119 (1): 54-72.
- Lessertisseur, J. y Saban, R.** 1967. Squelette appendiculaire. En: Grassé, P-P (ed.), *Traité de Zoologie: Anatomie, Systématique, Biologie*, tome XVI: Mammifères. Teguments et Squelette (Fascicule I): 709-1078. Masson et Companie, Paris.
- Lipson, M. P. y Krausman, P. R.** 1988. Parasites of desert leporids in the Picacho Mountains, Arizona. *The Southwestern Naturalist*, 33: 487-488.
- López-Martínez, N.** 1976. Lagomorpha from the Turolian of Pikermi (Greece). *Proc. Konink. Neder. Akad. Wetenschappen, series B*, 79 (4): 235-244.
- López-Martínez, N.** 1985. Reconstruction of ancestral cranioskeletal features in the order Lagomorpha. En: *Evolutionary relationships among rodents*. W.Patrick y J.L. Hatenberger Eds. Plenum Publishing Corporation. 151-189.
- López-Martínez, N.** 1989. *Revisión sistemática y bioestratigráfica de los Lagomorpha (Mammalia) del Terciario y Cuaternario de España*. Memorias del Museo Paleontológico de la Universidad de Zaragoza nº 3 (3). Diputación General de Aragón. 350 pp.
- Lowery, G. H.** 1974. *The mammals of Louisiana and its adjacent waters*. Louisiana State Univ. Press. 565 pp.
- Major, M. D. y Forsyth, C. L.** 1899. On fossil and recent Lagomorpha. *Trans. Linn. Soc.* II (7): 433-520.

- McClearn, D.** 1985. Anatomy of raccoon (*Procyon lotor*) and coati (*Nasua narica* and *N. nasua*) forearm and leg muscles: relations between fiber length, moment-arm length, and joint-angle excursion. *Journal of Morphology*, 183: 87-115.
- McDonald, D. W.** (Ed.). 1991. *Animales del mundo. Pequeños herbívoros. Ardillas, ratones y liebres*. Ed. Folio.
- Mein, P. y Adrover, R.** 1982. Une faunule de mammifères insulaires dans le Miocène moyen de Majorque (Illes Baléares). *Geobios*, men. spec. 6: 451-463.
- McBride, A.** 1988. *Rabbits and hares*. Whitted Book Ltd.
- Mercadal, B. y Pretus, J. Ll.** 1980. Nuevo yacimiento de *Testudo gymnesicus* Bate, 1914 en la isla de Menorca. *Boll. Soc. Hist. Nat. Balears*, 24: 15-21.
- Moyà-Solà, S. y Pons-Moyà, J.** 1979. Catálogo de los yacimientos con fauna de vertebrados del Plioceno, Pleistoceno y Holoceno de las Baleares. *Endins*, 5-6: 59-74.
- Moyà-Solà, S. y Pons-Moyà, J.** 1980. Una nueva especie del género *Myotragus* Bate, 1909 (Mammalia, Bovidae) en la isla de Menorca: *Myotragus binigausensis* nov. sp. Implicaciones paleozoogeográficas. *Endins*, 7: 37-47.
- Moyà, S., Pons, J., Alcover, J.A. y Agustí, J.** 1984. La fauna de vertebrados neógeno-cuaternaria de Eivissa (Pitiuses). Nota preliminar. *Acta Geol. Hisp.*, 19 (1): 33-35.
- Obrador, A.** 1972. Estudio estratigráfico y sedimentológico de los materiales miocénicos de la isla de Menorca. *Revista de Menorca* (II): 137-197.
- Obrador, A.** 1973. Estudio estratigráfico y sedimentológico de los materiales miocénicos de la isla de Menorca. *Revista de Menorca* (I-II): 35-189.
- Orr, R. T.**, 1940. The rabbits of California. *Occas. Papers California Acad. Sci.*, 19: 1-227.
- Otsuka, J., Toyomitsu, Y., Nishinakagawa, H.** 1980. Linear measurements of the bones of *Lepus brachyurus brachyurus* Temminck, *Pentalagus furnessi* Stone and *Oryctolagus cuniculus* Linnaeus (JW-NIBS). I. On the Cranium and Ossa trunci. *Exp. Anim.*, 29 (4): 441-455
- Otsuka, J., Toyomitsu, Y., Nishinakagawa, H.** 1981. Linear measurements of the bones of *Lepus brachyurus brachyurus* Temminck, *Pentalagus furnessi* Stone and *Oryctolagus cuniculus* Linnaeus (JW-NIBS). II. On the Ossa membra thoracici et pelvini. *Exp. Anim.*, 30 (2): 113-127

- Palacios, F.** 1983. On the taxonomic status of the genus *Lepus* in Spain. *Acta Zool. Fennica*, 174: 27-30.
- Palacios, F. y Fernández, J.** 1992. A new subspecies of hare from Majorca (Balearic Islands). *Mammalia*, 56 (1): 71-85
- Parker, G. R.** 1977. Morphology, reproduction, diet and behavior of the arctic hare (*Lepus arcticus monstabilis*) on Axel Heiberg Island, Northwest Territories. *The Canadian Field Naturalist*, 91: 8-18.
- Pons-Moyà, J.** 1980. Nuevo representante del género *Nesiotites* Bate, 1944: *Nesiotites meloussae* nov. sp. (Insectívora, Soricidae) en los rellenos cársticos del "Barranc de Binigaus" (Es Mercadal, Menorca). *Endins*, 7: 53-56.
- Pons-Moyà, J., Moyà-Solà, S. y Kopper, S.** 1979. La fauna de mamíferos de la Cova de Canet (Esporles) y su cronología. *Endins*, 5-6: 55-56
- Pons-Moyà, J., Moyà-Solà, S., Agustí, J. y Alcover, J. A.** 1981. La fauna de mamíferos de los yacimientos menorquines con *Geochelone gymnesica* (Bate, 1914). Nota Preliminar. *Acta Geol. Hispánica*, 16(3): 129 - 130.
- Popesko, P., Rajtová, V., Horak, J.** 1992. *A colour atlas of small laboratory animals. Volume one: rabbit & guinea pig*. Wolfe Publishing LTD. London. 255 pp.
- Quintana, J.** 1998. Aproximación a los yacimientos de vertebrados del Mio-Pleistoceno de la isla de Menorca. *Boll. Soc. Hist. Nat. Balears*, 41: 101: 117
- Richardson, J.** 1829. *Fauna boreali-Americana*. John Murray, London. 300 pp.
- Robinson, T. J. y Dippenaar, N. J.** 1983. Morphometrics of the south african leporidae. I: genus *Pronolagus* Lyon, 1904. *Ann. Kon. Mus. Mid. Afr., Zool. Wetensch., Ann. Mus. Roy. Afr. Centr., Sc. Zool.*, 237: 43-61. En: Van Der Straetem, E., Verheyen, W. N. y De Vree, F. eds. 1981. *Proc. 3rd int. coll. ecol. & taxon. african small mammals*.
- Robinson, T. J. y Dippenaar, N. J.** 1987. Morphometrics of the south african leporidae. II: *Lepus* Linnaeus, 1758, and *Bunolagus* Thomas, 1929. *Annals of the Transvaal Museum*, 34 (18): 379- 404
- Rocha, O.** 1997. *Analyse morpho-functionnelle des convergences de l'appareil locomoteur de grands Rongeurs Caviomorphes d'Amérique de Sud et de petits Artiodactyles d'Afrique et d'Asie*. Tesis Doctoral. Muséum National d'Histoire Naturelle. Volume I: texte, tableaux, protocoles, annexe (152 pp). Volume II: figures (372 figs.).

- Rodríguez, M., Palacios, J., Martín, J.A., Yanes, T., Martín, P., Sánchez, C., Navesco, M.A. y Muñoz, R.** 1997. *La liebre*. Ediciones Mundi-Prensa. 160 pp.
- Rosell, J., Gómez - Gras, D., Eliazaga, E.** 1989. Mapa geológico escala 1/50.000 Plan Magna. Hoja 617 bis-II, 618-III: Cap de Menorca y Ciutadella. *Inst. Tecnol. y Geomin. de España*. Madrid.
- Rosell, J., Gómez-Gras, D. y Eliazaga, E.** 1990. Mapa geológico escala 1:50.000. Plan Magna. Hoja 645 bis-I, 646-IV: Santandria. *Inst. Tecnol. y Geomin. de España*. Madrid.
- Ruff, C.** 1990. Body mass and hindlimb bone cross-sectional and articular dimensions in anthropoid primates. En: Damuth, J. y MacFadden, B. J. (eds), *Body size in mammalian paleobiology. Estimation and biological implications*. Cambridge University Press. 397 pp.
- Schreuder, A.** 1936. *Hypolagus* from the Tegelen clay; with a note on recent *Nesolagus*. *Archives Néerlandaises de Zoologie*, tome II : 225-239.
- Schwarze, E.** 1984. *Compendio de anatomía veterinaria. Introducción a la anatomía veterinaria. Tomo I. Aparato locomotor*. Editorial Acribia. Zaragoza. 318 pp.
- Seguí, B.** 1998. *Succeció estratigràfica d'aus en els rebliments càrstics de les Gyrnèssies*. Tesis Doctoral. Departament de Ciències de la Terra, Universitat de les Illes Balears.
- Seguí, B.** 1999. A late Tertiary woodcock from Menorca, Balearic Islands, Western Mediterranean. *The Condor*, 101: 909-915.
- Seguí, B.** 2002. A new genus of crane (Aves: Gruiformes) from the Late Tertiary of the Balearic Islands, Western Mediterranean. *Ibis*, 144: 411-422.
- Seguí, B., Bover, P., Trias, M. y Alcover, J. A.** 1998. El jaciment de la cova C-2 (Ciutadella de Menorca). *Endins*, 22: 81-97.
- Seguí, B., Quintana, J., Fornós, J.J. y Alcover, J.A.** 2001. A new genus of procellariiforme from the Upper Miocene of Menorca, Western Mediterranean. *Paleontology*, 44 (5): 933-948.
- Shelton, S. Y. y Chaney, D. S.** 1994. An evaluation of adhesives and consolidants recommended for fossil vertebrates. En: Leiggi, P. y May, P. (eds), *Vertebrates Paleontological techniques*, vol. 1: 35-45. Cambridge University Press.
- Skinner, J. D. y Smithers, R. H. N.** 1990. *The mammals of the Southern African Subregion*. University of Pretoria. 771 pp.

- Slijper, E. J.** 1946. Column and spinal musculature of mammals. *Kon. Ned. Akad. Wet. (Tweede Sectie)*, 42 (5): 1-128.
- Smith, J. M. y Savage, R. J. G.** 1956. Some locomotory adaptions in mammals. *Linn. Soc. J. Zool.*, 42: 603-622.
- Sondaar, P. Y.** 1977. Insularity and its effect on mammal evolution. En: Hech, M. K., Goody, P. C. y Hecht, B. M. (eds.), *Major patterns in vertebrate evolution*: 671-707. New York.
- Sugimura, K.** 1990. The Amami Rabbit *Pentalagus furnessi*. En: Chapman, J. A. y Flux, J.E.C. (eds.), *Rabbits, Hares and Pikas. Status Survey and Conservation Action Plan*: 140-142. Sultanate of Oman, IUCN y WWF.
- Terrel, T. L.** 1972. The swamp rabbit (*Sylvilagus aquaticus*) in Indiana. *Amer. Midland Nat.*, 87: 283-295.
- Thomason, J. J.** 1985. Estimation of locomotory forces and stresses in the limb bones of recent and extinct equids. *Paleobiology*, 11(2): 209-220.
- Thompson, D'A. W.** 1980. *Sobre el crecimiento y la forma*. Blume Ediciones. 330 pp.
- Valkenburgh, B. V.** 1987. Skeletal indicators of locomotor behavior in living and extinct carnivores. *Journal of Vertebrate Paleontology*, 7(2): 162-182.
- Vorhies, C. T. y Taylor, W. P.** 1933. The life histories and ecology of jack rabbits, *Lepus alleni* and *Lepus californicus* ssp., in relation to grazing in Arizona. *University of Arizona, College of Agriculture, Agricultural Experiment Station, Technical Bulletin*, 49: 471-587.
- Walhovd, H.** 1965. Age criteria of the mountain hare (*Lepus timidus* L.) with analyses of age and sex ratios, body weights and growth in some Norwegian populations. *Papers of Norwegian State Game Research Institute*, 22: 1-57.
- Walker, E. P.(ed.).** 1964. *The mammals of the world*. The Johns Hopkins Press, Baltimore. 1500 pp.
- Walker, W. F. y Liem, K. F.** 1994. *Functional anatomy of the vertebrates. An evolutionary perspective*. Sanders College Publishing. 788pp.
- Wang, X.** 1993. Transformation from plantigrady to digitigrady: functional morphology of locomotion in *Hesperocyon* (Canidae: Carnivora). *American Museum Novitates*, 3069: 1-23.

- White, J. A.** 1991. North american Leporidae (Mammalia: Lagomorpha) from late Miocene (Clarendonian) to latest Pliocene (Blancan). *Journal of Vertebrate Paleontology*, 11(1): 67-89.
- Wilde, D. B.** 1978. *A population analysis of the pygmy rabbit (Sylvilagus idahoensis) on the INEL site*. Tesis Doctoral. Idaho State Univ. 172 pp.
- Wirhed, R.** 1993. *Habilidad atlética y anatomía del movimiento*. EDIKA-MED, S.A. 103 pp.
- Yamada, F. y Sugimura, K.** 1998. Ecology and conservation of the endangered amami rabbit *Pentalagus furnessi*. En: Reig, S. (ed.), Abstracts. Euro-American Mammal Congres: 87. Universidade de Santiago de Compostela.
- Zhuding, Q.** 1987. The Neogene mammalian faunas of Ertemte and Harr Obo in Inner Mongolia (Nei Mongol), China.-6.Hares and pikas-Lagomorpha: Leporidae and Ochotonidae. *Senckenbergiana lethaea*, 67 (5/6): 375-399.
- Zhuding, Q. y Defen, H.** 1986. Fossil lagomorpha from the hominoid locality of Lufeng, Yunnan. *Acta Anthropologica Sinica*, 5 (1): 41-55.

ANEXO I:
MATERIAL DE COMPARACIÓN.

Las proporciones y la morfología de *N. rex* han sido comparadas con 10 géneros diferentes de lagomorfos actuales (*Oryctolagus*, *Pronolagus*, *Sylvilagus*, *Romerolagus*, *Pentalagus*, *Nesolagus*, *Caprolagus*, *Bunolagus* *Poelagus* y *Lepus*), representados por 20 especies (*Oryctolagus cuniculus*, *Pronolagus rupestris*, *Pronolagus randensis*, *Pronolagus crassicaudatus*, *Poelagus marjorita*, *Sylvilagus floridanus*, *Sylvilagus audubonii*, *Sylvilagus nuttallii*, *Sylvilagus brasiliensis*, *Romerolagus diazi*, *Pentalagus furnessi*, *Nesolagus netscheri*, *Caprolagus hispidus*, *Bunolagus monticularis*, *Lepus saxatilis*, *Lepus capensis*, *Lepus granatensis*, *Lepus castroviejoi*, *Lepus californicus* y *Lepus callotis*) y 94 ejemplares. En la mayoría de los casos, cada ejemplar se corresponde con un esqueleto más o menos completo.

Las siglas que acompañan a cada uno de los ejemplares proceden de las siguientes instituciones:

KM: Kaffrarian Museum (King William's Town, Republic of South Africa);

AZ: Northern Flagship Institution: Museum of Natural History (Transvaal Museum, Pretoria, Republic of South Africa);

MNCN: Museo Nacional de Ciencias Naturales. Colecciones de aves y mamíferos (Madrid, España);

CBQ: Colección Bep Quintana (colección particular del autor).

MAUV: Museo Anatómico de la Universidad de Valladolid (España)

LACM: Los Ángeles County Museum. Natural History Museum of Los Ángeles County, California, U.S.A.

NIFSJ: National Institute of Forest and Science of Japan, Wildlife Ecology Laboratory, Tsukuba-Narin, Ibaraki, Japan.

RNHL: Rijksmuseum van Natuurlijke Histoire, Leiden (Holanda).

UNAM: Universidad Nacional Autónoma de México.

A continuación se ofrece una relación de los lepóridos que han servido para la realización de esta memoria de investigación. En la mayoría de los casos se desconoce el peso de los ejemplares, lo que dificulta la realización de las gráficas alométricas en las que aparece este parámetro. Así, el peso se ha obtenido a partir de

los datos aparecidos en la bibliografía, teniendo en cuenta el sexo y la procedencia de cada uno de los ejemplares.

Orden Lagomorpha Brandt, 1855.

Familia Leporidae Gray, 1821.

Género *Oryctolagus* Lilljeborg, 1871.

CBQ 96-1: *Oryctolagus cuniculus* (Linnaeus, 1758).

Peso: 1450 g.

Sexo: macho.

Procedencia: Ciutadella de Menorca (Illes Balears, España).

CBQ 98-1: *Oryctolagus cuniculus* (Linnaeus, 1758).

Peso: 1375 g.

Sexo: hembra.

Procedencia: Ciutadella de Menorca (Illes Balears, España).

CBQ 97-2: *Oryctolagus cuniculus* (Linnaeus, 1758).

Peso: desconocido.

Sexo: desconocido.

Procedencia: zona costera de Ses Truqueries (Ciutadella de Menorca, Illes Balears, España).

CBQ 98-0: *Oryctolagus cuniculus* (Linnaeus, 1758).

Peso: 925 g.

Sexo: macho (subadulto).

Procedencia: Ciutadella de Menorca (Illes Balears, España).

CBQ 99-1: *Oryctolagus cuniculus* (Linnaeus, 1758) (Doméstico).

Peso: 3150 g.

Sexo: macho.

Procedencia: Ciutadella de Menorca (Illes Balears, España).

CBQ 96-0: *Oryctolagus cuniculus* (Linnaeus, 1758) (Doméstico).

Peso: 3500 g.

Sexo: macho.

Procedencia: Ciutadella de Menorca (Illes Balears, España).

CBQ 96-2: *Oryctolagus cuniculus* (Linnaeus, 1758) (Doméstico).

Peso: 3500 g.

Sexo: hembra.

Procedencia: Ciutadella de Menorca (Illes Balears, España).

CBQ 96-3: *Oryctolagus cuniculus* (Linnaeus, 1758) (Doméstico).

Peso: 4000 g.

Sexo: macho.

Procedencia: Ciutadella de Menorca (Illes Balears, España).

MNCN 11378: *Oryctolagus cuniculus* (Linnaeus, 1758).

Peso: desconocido.

Sexo: desconocido (subadulto).

Procedencia: Villaviciosa de Odón (Madrid, España).

MNCN 11379: *Oryctolagus cuniculus* (Linnaeus, 1758).

Peso: desconocido.

Sexo: desconocido (subadulto).

Procedencia: Villaviciosa de Odón (Madrid, España).

MNCN 11380: *Oryctolagus cuniculus* (Linnaeus, 1758).

Peso: desconocido.

Sexo: desconocido (subadulto).

Procedencia: Villaviciosa de Odón (Madrid, España).

MAUV 1: *Oryctolagus cuniculus* (Linnaeus, 1758).

Peso: 1175 g.

Sexo: macho.

Procedencia: Tudela de Duero (Valladolid, España).

MAUV 2: *Oryctolagus cuniculus* (Linnaeus, 1758).

Peso: 1230 g.

Sexo: hembra (subadulta).

Procedencia: Medina del Campo (Valladolid, España).

MAUV 3: *Oryctolagus cuniculus* (Linnaeus, 1758).

Peso: 1230 g.

Sexo: Macho (subadulto).

Procedencia: Tudela de Duero (Valladolid, España).

MAUV 4: *Oryctolagus cuniculus* (Linnaeus, 1758).

Peso: 1290 g.

Sexo: macho (subadulto).

Procedencia: Medina del Campo (Valladolid, España).

MAUV 5: *Oryctolagus cuniculus* (Linnaeus, 1758).

Peso: 1100 g.

Sexo: hembra.

Procedencia: Medina del Campo (Valladolid, España).

MAUV 6: *Oryctolagus cuniculus* (Linnaeus, 1758).

Peso: 1200 g.

Sexo: macho (subadulto).

Procedencia: Peñafiel (Valladolid, España).

MAUV 7: *Oryctolagus cuniculus* (Linnaeus, 1758).

Peso: 1100 g.

Sexo: hembra (subadulta).

Procedencia: Valladolid (España).

MAUV 8: *Oryctolagus cuniculus* (Linnaeus, 1758).

Peso: 1250 g.

Sexo: macho (subadulto).

Procedencia: Tudela de Duero (Valladolid, España).

Género Pentalagus Lyon, 1904

NIFSJ S/N.: *Pentalagus furnessi* (Stone, 1900).

Peso: desconocido.

Sexo: desconocido (subadulto).

Procedencia: isla Amami (Japón)

NIFSJ 000716: *Pentalagus furnessi* (Stone, 1900).

Peso: desconocido.

Sexo: desconocido (subadulto).

Procedencia: isla Amami (Japón).

NIFSJ S/N-1: *Pentalagus furnessi* (Stone, 1900).

Peso: desconocido.

Sexo: desconocido.

Procedencia: pista forestal de Katoku (Setouchi, isla Amami, Japón).

NIFSJ S/N-2: *Pentalagus furnessi* (Stone, 1900).

Peso: desconocido.

Sexo: desconocido.

Procedencia: pista forestal del monte Yui (Setouchi, isla Amami, Japón).

Género *Nesolagus* Major, 1899.

RNHL 38844: *Nesolagus netscheri* (Schlegel, 1880).

Peso: desconocido

Sexo: desconocido.

Procedencia: Soerian, Padangse Bovenlanden (Sumatra, Indonesia).

Género *Caprolagus* Blyth, 1845

AMNH 54852: *Caprolagus hispidus* (Pearson, 1839)

Peso: desconocido

Sexo: macho

Procedencia: North Kheri, Oudh (India).

AMNH 54853: *Caprolagus hispidus* (Pearson, 1839)

Peso: desconocido

Sexo: hembra

Procedencia: India

Género *Romerolagus* Merriam, 1896

UNAM 16891: *Romerolagus diazi* (Diaz, 1893)

Peso: desconocido

Sexo: macho

Procedencia: Cerro Coatillo Grande (Tlalpan, México D.F.)

UNAM 12485: *Romerolagus diazi* (Diaz, 1893)

Peso: desconocido

Sexo: hembra

Procedencia: México D.F.

Género *Pronolagus* Lyon, 1904.

AZ 2400: *Pronolagus rupestris* (A. Smith, 1834).

Peso: 2239 g.

Sexo: macho.

Procedencia: Valentia (Namibia).

AZ 665: *Pronolagus rupestris* (A. Smith, 1834).

Peso: desconocido.

Sexo: macho.

Procedencia: Springbok (Cape Province, Repuplic of South Africa).

AZ 666: *Pronolagus rupestris* (A. Smith, 1834).

Peso: desconocido.

Sexo: hembra.

Procedencia: Matatiele (Cape Province, Republic of South Africa).

AZ 2351: *Pronolagus randensis* Jameson, 1907.

Peso: desconocido.

Sexo: hembra.

Procedencia: desconocida

AZ 1636: *Pronolagus randensis* Jameson, 1907.

Peso: desconocido.

Sexo: macho.

Procedencia: desconocida.

AZ 337: *Pronolagus crassicaudatus* (L. Geoffroy, 1832).

Peso: desconocido.

Sexo: desconocido.

Procedencia: desconocida.

AZ 764: *Pronolagus crassicaudatus* (L. Geoffroy, 1832).

Peso: desconocido.

Sexo: macho.

Procedencia: desconocida.

AZ 675: *Pronolagus crassicaudatus* (I. Geoffroy, 1832).

Peso: desconocido.

Sexo: macho.

Procedencia: desconocida.

Género *Sylvilagus* Gray, 1867

LACM 84809: *Sylvilagus audubonii arizonae* (J. A. Allen, 1877).

Peso: desconocido.

Sexo: macho.

Procedencia: Darwin, Hunter Mt., Inyo Co. (California, U.S.A.).

LACM 84810: *Sylvilagus audubonii arizonae* (J. A. Allen, 1877).

Peso: desconocido.

Sexo: macho.

Procedencia: Darwin, Hunter Mt., Inyo Co. (California, U.S.A.).

LACM 53866: *Sylvilagus audubonii arizonae* (J. A. Allen, 1877).

Peso: desconocido.

Sexo: macho.

Procedencia: Borrego Springs, San Diego Co. (California, U.S.A.).

LACM 53867: *Sylvilagus audubonii arizonae* (J. A. Allen, 1877).

Peso: desconocido.

Sexo: macho.

Procedencia: Borrego Springs, San Diego Co. (California, U.S.A.).

LACM 53868: *Sylvilagus audubonii arizonae* (J. A. Allen, 1877).

Peso: desconocido.

Sexo: hembra.

Procedencia: Borrego Springs, San Diego Co. (California, U.S.A.).

LACM 53869: *Sylvilagus audubonii arizonae* (J. A. Allen, 1877).

Peso: desconocido.

Sexo: hembra.

Procedencia: Borrego Springs, San Diego Co. (California, U.S.A.).

LACM 53870: *Sylvilagus audubonii arizonae* (J. A. Allen, 1877).

Peso: desconocido.

Sexo: desconocido.

Procedencia: Borrego Springs, San Diego Co. (California, U.S.A.).

LACM 53871: *Sylvilagus audubonii arizonae* (J. A. Allen, 1877).

Peso: desconocido.

Sexo: hembra.

Procedencia: Borrego Springs, San Diego Co. (California, U.S.A.).

LACM 53872: *Sylvilagus audubonii sanctidiegi* (Miller, 1899).

Peso: desconocido.

Sexo: hembra.

Procedencia: San Diego Co. (California, U.S.A.).

LACM 53873: *Sylvilagus audubonii sanctidiegi* (Miller, 1899).

Peso: desconocido.

Sexo: hembra.

Procedencia: San Diego Co. (California, U.S.A.).

LACM 53874: *Sylvilagus audubonii sanctidiegi* (Miller, 1899).

Peso: desconocido.

Sexo: hembra.

Procedencia: San Diego Co. (California, U.S.A.).

LACM 53877: *Sylvilagus audubonii sanctidiegi* (Miller, 1899).

Peso: desconocido.

Sexo: hembra.

Procedencia: San Diego Co. (California, U.S.A.).

LACM 53878: *Sylvilagus audubonii sanctidiegi* (Miller, 1899).

Peso: desconocido.

Sexo: macho.

Procedencia: San Diego Co. (California, U.S.A.).

LACM 53879: *Sylvilagus audubonii sanctidiegi* (Miller, 1899).

Peso: desconocido.

Sexo: macho.

Procedencia: San Diego Co. (California, U.S.A.).

LACM 53880: *Sylvilagus audubonii sanctidiegi* (Miller, 1899).

Peso: desconocido.

Sexo: hembra.

Procedencia: San Diego Co. (California, U.S.A.).

LACM 86494: *Sylvilagus audubonii sanctidiegi* (Miller, 1899).

Peso: desconocido.

Sexo: hembra.

Procedencia: Oat Mtn., Los Angeles Co. (California, U.S.A.).

AMNH 135107: *Sylvilagus audubonii neomexicanus* Nelson, 1907

Peso: desconocido.

Sexo: macho.

Procedencia: Meade Co.; 13 mi. SW Meade (Kansas, U.S.A.).

AMNH 137370: *Sylvilagus audubonii neomexicanus* Nelson, 1907

Peso: desconocido.

Sexo: macho.

Procedencia: Meade Co.; 15 mi. SW Meade (Kansas, U.S.A.).

AMNH 188554: *Sylvilagus audubonii minor* (Mearns, 1896).

Peso: desconocido.

Sexo: macho.

Procedencia: Chihuaua; 4 mi. NW Escobillas (Méjico).

LACM 91173: *Sylvilagus nuttallii grangeri* (J.A. Allen, 1895).

Peso: 830 g.

Sexo: macho.

Procedencia: Toquima Range, Baxter Springs, Nye Co. (Nevada, U.S.A.).

LACM 91174: *Sylvilagus nuttallii grangeri* (J.A. Allen, 1895).

Peso: 680 g.

Sexo: hembra.

Procedencia: Toquima Range, Baxter Springs, Nye Co. (Nevada, U.S.A.).

LACM 58785: *Sylvilagus floridanus restrictus* (Nelson, 1907).

Peso: desconocido.

Sexo: hembra.

Procedencia: Cerro Grande, Colima (Méjico).

LACM 58787: *Sylvilagus floridanus restrictus* (Nelson, 1907).

Peso: desconocido.

Sexo: macho.

Procedencia: Cerro Grande, Colima (Méjico).

MNCN 11390: *Sylvilagus floridanus* (J.A. Allen, 1890).

Peso: desconocido.

Sexo: macho.

Procedencia: Douglas Co., Kansas (U.S.A.).

AMNH 71186: *Sylvilagus floridanus alacer* (Bangs, 1896).

Peso: desconocido.

Sexo: desconocido.

Procedencia: Cessna Co. (Kansas, U.S.A.).

AMNH 71187: *Sylvilagus floridanus alacer* (Bangs, 1896).

Peso: desconocido.

Sexo: desconocido.

Procedencia: Cessna Co. (Kansas, U.S.A.).

AMNH 137364: *Sylvilagus floridanus alacer* (Bangs, 1896).

Peso: desconocido.

Sexo: desconocido.

Procedencia: Meade Co.; 12 mi. SW Meade (Kansas, U.S.A.).

AMNH 134233: *Sylvilagus brasiliensis* (Linnaeus, 1758).

Peso: desconocido.

Sexo: desconocido.

Procedencia: Annapolis Goyaz (Brasil).

AMNH 134267: *Sylvilagus brasiliensis* (Linnaeus, 1758).

Peso: desconocido.

Sexo: desconocido.

Procedencia: Annapolis Goyaz (Brasil).

Género *Poelagus* St. Leger, 1932.

AMNH 52136: *Poelagus marjorita* (St. Leger, 1932).

Peso: desconocido.

Sexo: desconocido.

Procedencia: Zaire

Género *Bunolagus* Thomas, 1929.

AZ 2283: *Bunolagus monticularis* (Thomas, 1903).

Peso: desconocido.

Sexo: desconocido.

Procedencia: De Wildt (Cheetah Breeding and Animal Rehabilitation Centre, Gauteng province, Republic of South Africa).

AZ 2284: *Bunolagus monticularis* (Thomas, 1903).

Peso: desconocido.

Sexo: desconocido.

Procedencia: desconocida.

Género *Lepus* Linnaeus, 1758.

KM 30881: *Lepus saxatilis* F. Cuvier, 1823.

Peso: desconocido.

Sexo: hembra.

Procedencia: Western Cape: Bredasdorp District; 12,6 km N / 33,8Km E Bredasdorp, Fram Cupidos Kraal, 342506S / 202430E 200m (656 ft).

AZ 511: *Lepus saxatilis* F. Cuvier, 1823.

Peso: desconocido.

Sexo: macho.

Procedencia: desconocida.

AZ 956: *Lepus saxatilis* F. Cuvier, 1823.

Peso: desconocido.

Sexo: macho.

Procedencia: Soutpan Agricultural Research Farm (Pretoria district, Republic of South Africa).

AZ 1636: *Lepus saxatilis* F. Cuvier, 1823.

Peso: desconocido.

Sexo: desconocido.

Procedencia: Suikerbosrand Nature Reserve, 22 km West South West of Heidelberg (Transvaal, Republic of South Africa).

AZ 419: *Lepus saxatilis* F. Cuvier, 1823.

Peso: desconocido.

Sexo: hembra.

Procedencia: Soutpan Agricultural Research Farm (Pretoria district, Republic of South Africa).

AZ 957: *Lepus saxatilis* F. Cuvier, 1823.

Peso: desconocido.

Sexo: macho.

Procedencia: Soutpan Agricultural Research Farm (Pretoria district, Republic of South Africa).

AZ 670: *Lepus crawshayi* (=*Lepus saxatilis* F. Cuvier, 1823)

Peso: desconocido

Sexo: macho

Procedencia: Spitskop (Orange Free State)

AZ 672: *Lepus crawshayi* (=*Lepus saxatilis* F. Cuvier, 1823)

Peso: desconocido

Sexo: hembra

Procedencia: Spitskop (Orange Free State)

AZ 673: *Lepus crawshayi* (=*Lepus saxatilis* F. Cuvier, 1823)

Peso: desconocido

Sexo: hembra

Procedencia: Virginia (Orange Free State)

AZ 678: *Lepus capensis* Linnaeus, 1758.

Peso: desconocido.

Sexo: hembra.

Procedencia: S.A. Lombard Nature Reserve (Transvaal, Republic of South Africa).

AZ 679: *Lepus capensis* Linnaeus, 1758.

Peso: desconocido.

Sexo: hembra.

Procedencia: Niewoudtville (Cape Town, Republic of South Africa).

AZ 2354: *Lepus capensis* Linnaeus, 1758.

Peso: desconocido.

Sexo: desconocido.

Procedencia: Riedental Farm (South West Africa).

AZ 2922: *Lepus capensis* Linnaeus, 1758.

Peso: desconocido.

Sexo: hembra.

Procedencia: Goedehoop Farm (Bethal, Transvaal, Republic of South Africa).

CBQ 97-0: *Lepus granatensis* Rosenhauer, 1856.

Peso: 2065 g.

Sexo: hembra.

Procedencia: Bunyola (Mallorca, Illes Balears, España).

MNCN 11239: *Lepus granatensis* Rosenhauer, 1856.

Peso: desconocido.

Sexo: hembra.

Procedencia: Villamayor de los Montes (Burgos, España).

MNCN 11245: *Lepus granatensis* Rosenhauer, 1856.

Peso: desconocido.

Sexo: desconocido.

Procedencia: C. R. Rapaces Cotorredondo (Pontevedra, España).

MNCN 14898: *Lepus castroviejoi* Palacios, 1976.

Peso: desconocido.

Sexo: macho.

Procedencia: Fuente Pucheria, Vidrieros (Palencia, España).

MNCN 14873: *Lepus castroviejoi* Palacios, 1976.

Peso: desconocido.

Sexo: hembra.

Procedencia: Valdeprado, Palacios del Sil (León, España).

LACM 30729: *Lepus californicus richardsonii* (Bachman, 1839).

Peso: desconocido.

Sexo: desconocido.

Procedencia: Mt. Pinos, Kern Co. (California, U.S.A.).

LACM 87443: *Lepus californicus bennettii* (Gray, 1843).

Peso: desconocido.

Sexo: macho.

Procedencia: Los Padres National Forest, 3,6 mi NW Lake of the Woods RD jct, Cuddy Valley, Kern Co. (California).

LACM 90014: *Lepus californicus bennettii* (Gray, 1843).

Peso: desconocido.

Sexo: hembra.

Procedencia: San Diego Co. (California).

LACM 90240: *Lepus californicus bennettii* (Gray, 1843).

Peso: desconocido.

Sexo: hembra.

Procedencia: Solemint, Los Angeles Co. (California, U.S.A.).

LACM 53884: *Lepus californicus bennettii* (Gray, 1843).

Peso: desconocido.

Sexo: hembra.

Procedencia: Borrego Springs, San Diego Co. (California, U.S.A.).

LACM 28181: *Lepus californicus deserticola* (Mearns, 1895).

Peso: desconocido.

Sexo: macho.

Procedencia: Cima, San Bernardino Co. (California, U.S.A.).

MNCN 11234: *Lepus californicus* Gray, 1837.

Peso: desconocido

Sexo: desconocido

Procedencia: México.

MNCN 11235: *Lepus callotis* Wagler, 1830

Peso: desconocido

Sexo: desconocido

Procedencia: México

ANEXO II
LISTADO DE PARATIPOS DE *N. REX*

Número	Otros números	Parte del esqueleto	Taxon	Localidad
0.001		Epífisis proximal derecha de fémur	<i>Nuralagus rex</i>	Nati-16
0.005		Epífisis distal derecha de húmero	<i>Nuralagus rex</i>	Nati-16
0.011		Epífisis distal derecha de húmero	<i>Nuralagus rex</i>	Nati-16
0.026		Hueso navicular	<i>Nuralagus rex</i>	Nati-16
0.031		Frag. indet. de diáfisis	<i>Nuralagus rex</i>	Nati-16
0.035		Vértebra cervical	<i>Nuralagus rex</i>	Nati-16
0.037		Frag. Epífisis proximal de fémur	<i>Nuralagus rex</i>	Nati-16
0.070		Epífisis proximal de fémur juvenil	<i>Nuralagus rex</i>	Nati-16
0.197		N metacarpo	<i>Nuralagus rex</i>	Nati-17
0.034		Vértebra lumbar VII	<i>Nuralagus rex</i>	Nati-3
0.002		Epífisis proximal izquierdo de húmero frag. de cráneo	<i>Nuralagus rex</i>	Nati-6
0.003		Epífisis distal izquierdo de húmero	<i>Nuralagus rex</i>	Nati-6
0.004		Epífisis proximal izquierdo de radio	<i>Nuralagus rex</i>	Nati-6
0.006		Epífisis proximal izquierdo de radio	<i>Nuralagus rex</i>	Nati-6
0.007		Epífisis proximal izquierdo de radio	<i>Nuralagus rex</i>	Nati-6
0.008		Frag. izquierdo de pelvis	<i>Nuralagus rex</i>	Nati-6
0.009		Epífisis distal derecha de fémur	<i>Nuralagus rex</i>	Nati-6
0.010		Epífisis distal derecha de fémur	<i>Nuralagus rex</i>	Nati-6
0.012		Epífisis distal derecha de fémur	<i>Nuralagus rex</i>	Nati-6
0.013		Frag. maxilar sup. derecho	<i>Nuralagus rex</i>	Nati-6
0.014		Frag. maxilar sup. derecho	<i>Nuralagus rex</i>	Nati-6
0.015		Frag. maxilar sup. izquierdo	<i>Nuralagus rex</i>	Nati-6
0.016		Vértebra torácica (corpus vertebral)	<i>Nuralagus rex</i>	Nati-6
0.017		Rótula	<i>Nuralagus rex</i>	Nati-6
0.018		Epífisis proximal derecha de escápula	<i>Nuralagus rex</i>	Nati-6
0.019		Vértebra torácica (corpus vertebral)	<i>Nuralagus rex</i>	Nati-6
0.020		Vértebra torácica (corpus vertebral)	<i>Nuralagus rex</i>	Nati-6
0.021		Frag. Mandíbula izquierdo	<i>Nuralagus rex</i>	Nati-6
0.022		Frag. vértebra torácica	<i>Nuralagus rex</i>	Nati-6
0.023		II Hueso derecho del metacarpo	<i>Nuralagus rex</i>	Nati-6
0.024		V Hueso izquierdo del metacarpo	<i>Nuralagus rex</i>	Nati-6
0.025		1º falange	<i>Nuralagus rex</i>	Nati-6
0.027		Frag. de fémur derecho	<i>Nuralagus rex</i>	Nati-6
0.028		Frag. distal de la Diáfisis de un fémur	<i>Nuralagus rex</i>	Nati-6

Número	Otros números	Parte del esqueleto	Taxon	Localidad
0.029		Frag. distal de la Diáfisis de húmero	<i>Nuralagus rex</i>	Nati-6
0.030		Frag. proceso cigomático	<i>Nuralagus rex</i>	Nati-6
0.032		Frag. de escápula	<i>Nuralagus rex</i>	Nati-6
0.033		Vértebra lumbar VI	<i>Nuralagus rex</i>	Nati-6
0.036		Vértebra lumbar I juvenil	<i>Nuralagus rex</i>	Nati-6
0.067		5 ^a vértebra cervical	<i>Nuralagus rex</i>	Nati-6
0.068		Epífisis proximal de ulna	<i>Nuralagus rex</i>	Nati-6
0.069		Vértebra torácica XI	<i>Nuralagus rex</i>	Nati-6
0.071		I metacarpo	<i>Nuralagus rex</i>	Nati-6
0.072		I metacarpo	<i>Nuralagus rex</i>	Nati-6
0.073		Epífisis distal de metápodo	<i>Nuralagus rex</i>	Nati-6
0.074		Epífisis proximal de falange	<i>Nuralagus rex</i>	Nati-6
0.075		Epífisis distal de metápodo	<i>Nuralagus rex</i>	Nati-6
0.076		Frag. tibia juvenil	<i>Nuralagus rex</i>	Nati-6
0.077		Frag. fémur juvenil	<i>Nuralagus rex</i>	Nati-6
0.078		Frag. tibia juvenil	<i>Nuralagus rex</i>	Nati-6
0.079		6 ^a vértebra cervical	<i>Nuralagus rex</i>	Nati-6
0.080		Vértebra cervical	<i>Nuralagus rex</i>	Nati-6
0.081		Vértebra torácica IX	<i>Nuralagus rex</i>	Nati-6
0.082		Corpus vertebrae	<i>Nuralagus rex</i>	Nati-6
0.083		Epífisis proximal de costilla	<i>Nuralagus rex</i>	Nati-6
0.084		1 ^o falange (juvenil)	<i>Nuralagus rex</i>	Nati-6
0.085		Caput osis femoris	<i>Nuralagus rex</i>	Nati-6
0.086		1 ^o falange	<i>Nuralagus rex</i>	Nati-6
0.088		1 ^o falange	<i>Nuralagus rex</i>	Nati-6
0.089		Astrágalo	<i>Nuralagus rex</i>	Nati-6
0.090		Molar sup.	<i>Nuralagus rex</i>	Nati-6
0.091		Epífisi proximal del III metacarpo	<i>Nuralagus rex</i>	Nati-6
0.092		Rótula	<i>Nuralagus rex</i>	Nati-6
0.093		Epífisis distal de ulna	<i>Nuralagus rex</i>	Nati-6
0.094		Mandíbula	<i>Nuralagus rex</i>	Nati-6
0.095		Caput osis femoris	<i>Nuralagus rex</i>	Nati-6
0.096		2 ^o falange	<i>Nuralagus rex</i>	Nati-6
0.097				

Número	Otros números	Parte del esqueleto	Taxon	Localidad
0.098		Frag. Calcáneo	<i>Nuralagus rex</i>	Nati-6
0.099		Epífisis proximal de tibia	<i>Nuralagus rex</i>	Nati-6
0.100		Vértebra lumbar I-V	<i>Nuralagus rex</i>	Nati-6
0.101		6º vértebra cervical	<i>Nuralagus rex</i>	Nati-6
0.102		Vértebra torácica	<i>Nuralagus rex</i>	Nati-6
0.105		Epífisis proximal del III metatarso	<i>Nuralagus rex</i>	Nati-6
0.106		Vértebra lumbar I-V	<i>Nuralagus rex</i>	Nati-6
0.107		Epífisis proximal de radio juvenil	<i>Nuralagus rex</i>	Nati-6
0.109		3º falange	<i>Nuralagus rex</i>	Nati-6
0.110		1º falange juvenil	<i>Nuralagus rex</i>	Nati-6
0.112		Epífisis distal de un metápodo	<i>Nuralagus rex</i>	Nati-6
0.114		1º falange	<i>Nuralagus rex</i>	Nati-6
0.115		III metacarpo	<i>Nuralagus rex</i>	Nati-6
0.116		Diáfisis-Epífisis distal de húmero	<i>Nuralagus rex</i>	Nati-6
0.117		Epífisis distal de radio	<i>Nuralagus rex</i>	Nati-6
0.118		Radio	<i>Nuralagus rex</i>	Nati-6
0.119		Epífisis distal de radio	<i>Nuralagus rex</i>	Nati-6
0.120		Calcáneo	<i>Nuralagus rex</i>	Nati-6
0.121		Vértebra lumbar VII	<i>Nuralagus rex</i>	Nati-6
0.122		3º falange	<i>Nuralagus rex</i>	Nati-6
0.123		Epífisis proximal derecha del II metacarpo	<i>Nuralagus rex</i>	Nati-6
0.124		Molar superior	<i>Nuralagus rex</i>	Nati-6
0.127		Vértebra lumbar II-V	<i>Nuralagus rex</i>	Nati-6
0.128		Vértebra lumbar II-V	<i>Nuralagus rex</i>	Nati-6
0.129		Mandíbula	<i>Nuralagus rex</i>	Nati-6
0.130		V metatarso	<i>Nuralagus rex</i>	Nati-6
0.131		V metatarso	<i>Nuralagus rex</i>	Nati-6
0.132		II metacarpo	<i>Nuralagus rex</i>	Nati-6
0.133		Epífisis proximal de escápula	<i>Nuralagus rex</i>	Nati-6
0.134		Astrágalo	<i>Nuralagus rex</i>	Nati-6
0.135		Vértebra cervical	<i>Nuralagus rex</i>	Nati-6
0.137		III metatarso	<i>Nuralagus rex</i>	Nati-6
0.138		Mandíbula derecha	<i>Nuralagus rex</i>	Nati-6
0.139		Diáfisis de húmero	<i>Nuralagus rex</i>	Nati-6

Número	Otros números	Parte del esqueleto	Taxon	Localidad
0.140		Epífisis proximal de radio	<i>Nuralagus rex</i>	Nati-6
0.141		Epífisis proximal de radio	<i>Nuralagus rex</i>	Nati-6
0.142		Epífisis proximal de radio	<i>Nuralagus rex</i>	Nati-6
0.144		Vértebra lumbar VI	<i>Nuralagus rex</i>	Nati-6
0.145		Frag. de pelvis	<i>Nuralagus rex</i>	Nati-6
0.146		Maxilar	<i>Nuralagus rex</i>	Nati-6
0.147		Maxilar	<i>Nuralagus rex</i>	Nati-6
0.148		Maxilar	<i>Nuralagus rex</i>	Nati-6
0.149		Maxilar	<i>Nuralagus rex</i>	Nati-6
0.152		Epífisis distal de ulna	<i>Nuralagus rex</i>	Nati-6
0.153		Epífisis proximal del III metacarpo	<i>Nuralagus rex</i>	Nati-6
0.154		Epífisis proximal del III metacarpo	<i>Nuralagus rex</i>	Nati-6
0.155		Epífisis proximal del III metacarpo	<i>Nuralagus rex</i>	Nati-6
0.156		Epífisis proximal del III metacarpo	<i>Nuralagus rex</i>	Nati-6
0.157		I metacarpo	<i>Nuralagus rex</i>	Nati-6
0.158		I metacarpo	<i>Nuralagus rex</i>	Nati-6
0.159		Epífisis distal de la 1º falange	<i>Nuralagus rex</i>	Nati-6
0.160		1º falange	<i>Nuralagus rex</i>	Nati-6
0.161		3º falange	<i>Nuralagus rex</i>	Nati-6
0.162		1º falange	<i>Nuralagus rex</i>	Nati-6
0.163		Epífisis distal de la 1º falange	<i>Nuralagus rex</i>	Nati-6
0.164		Epífisis proximal de la 3º falange	<i>Nuralagus rex</i>	Nati-6
0.165		Epífisis proximal de la 1º falange	<i>Nuralagus rex</i>	Nati-6
0.166		Epífisis proximal de la 3º falange	<i>Nuralagus rex</i>	Nati-6
0.167		3º falange (juvenil)	<i>Nuralagus rex</i>	Nati-6
0.168		Epífisis proximal de la 1º falange	<i>Nuralagus rex</i>	Nati-6
0.169		2º falange	<i>Nuralagus rex</i>	Nati-6
0.170		Fémur	<i>Nuralagus rex</i>	Nati-6
0.171		Epífisis distal de húmero	<i>Nuralagus rex</i>	Nati-6
0.172		IV metatarso	<i>Nuralagus rex</i>	Nati-6
0.173		Epífisis distal de metápodo	<i>Nuralagus rex</i>	Nati-6
0.174		Epífisis proximal del III metatarso	<i>Nuralagus rex</i>	Nati-6
0.175		Epífisis distal de metápodo	<i>Nuralagus rex</i>	Nati-6
0.176		Epífisis proximal del II metacarpo	<i>Nuralagus rex</i>	Nati-6

Número	Otros números	Parte del esqueleto	Taxon	Localidad
0.177		Epífisis proximal del III metatarso	<i>Nuralagus rex</i>	Nati-6
0.178		Mandíbula Fragmentada	<i>Nuralagus rex</i>	Nati-6
0.179		Maxilar	<i>Nuralagus rex</i>	Nati-6
0.180		Frag. de sacro	<i>Nuralagus rex</i>	Nati-6
0.181		Vértebra lumbar II-V	<i>Nuralagus rex</i>	Nati-6
0.182		Vértebra lumbar II-V	<i>Nuralagus rex</i>	Nati-6
0.183		Vértebra lumbar II-V	<i>Nuralagus rex</i>	Nati-6
0.184		Vértebra torácica X	<i>Nuralagus rex</i>	Nati-6
0.185		Vértebra torácica X	<i>Nuralagus rex</i>	Nati-6
0.186		7 ^{ta} vértebra cervical	<i>Nuralagus rex</i>	Nati-6
0.188		Epífisis distal de húmero	<i>Nuralagus rex</i>	Nati-6
0.189		Epífisis distal de fémur	<i>Nuralagus rex</i>	Nati-6
0.191		Frag. de ulna	<i>Nuralagus rex</i>	Nati-6
0.192	P/3		<i>Nuralagus rex</i>	Nati-6
0.198	P/3		<i>Nuralagus rex</i>	Nati-6
0.199		Epífisis distal de fémur	<i>Nuralagus rex</i>	Nati-6
0.200		Frag. Diáfisis de húmero	<i>Nuralagus rex</i>	Nati-6
0.201		Húmer	<i>Nuralagus rex</i>	Nati-6
0.202		Epífisis distal de húmero	<i>Nuralagus rex</i>	Nati-6
0.203		Epífisis proximal de tibia	<i>Nuralagus rex</i>	Nati-6
0.204		Calcáneo	<i>Nuralagus rex</i>	Nati-6
0.205		Epífisis distal de radio	<i>Nuralagus rex</i>	Nati-6
0.206	Maxilar		<i>Nuralagus rex</i>	Nati-6
0.207	Maxilar		<i>Nuralagus rex</i>	Nati-6
0.209	Rótula		<i>Nuralagus rex</i>	Nati-6
0.210	Astrágalo		<i>Nuralagus rex</i>	Nati-6
0.211	Astrágalo		<i>Nuralagus rex</i>	Nati-6
0.213	Frag. de Pelvis		<i>Nuralagus rex</i>	Nati-6
0.214	Calcáneo		<i>Nuralagus rex</i>	Nati-6
0.215	Epífisis proximal de fémur		<i>Nuralagus rex</i>	Nati-6
0.216	IV metatarso		<i>Nuralagus rex</i>	Nati-6
0.217	Húmer		<i>Nuralagus rex</i>	Nati-6
0.219	Maxilar derecho		<i>Nuralagus rex</i>	Nati-6
0.220	Vértebra lumbar II-V		<i>Nuralagus rex</i>	Nati-6

Número	Otros números	Parte del esqueleto	Taxon	Localidad
0.221		Epífisis proximal de escápula	<i>Nuralagus rex</i>	Nati-6
0.222		Calcáneo	<i>Nuralagus rex</i>	Nati-6
0.223		II metacarpo	<i>Nuralagus rex</i>	Nati-6
0.224		Vértebra torácica	<i>Nuralagus rex</i>	Nati-6
0.225		Astrágalo	<i>Nuralagus rex</i>	Nati-6
0.226		Rótula	<i>Nuralagus rex</i>	Nati-6
0.227		3º falange	<i>Nuralagus rex</i>	Nati-6
0.228		3º falange	<i>Nuralagus rex</i>	Nati-6
0.229		2º falange	<i>Nuralagus rex</i>	Nati-6
0.238		Epífisis distal de fémur	<i>Nuralagus rex</i>	Nati-6
0.239		Epífisis distal de fémur	<i>Nuralagus rex</i>	Nati-6
0.240		Frag. distal de Diáfisis de fémur	<i>Nuralagus rex</i>	Nati-6
0.241		Frag. de pelvis	<i>Nuralagus rex</i>	Nati-6
0.242		Frag. de pelvis	<i>Nuralagus rex</i>	Nati-6
0.243		Frag. escápula	<i>Nuralagus rex</i>	Nati-6
0.244		Epífisis proximal de radio	<i>Nuralagus rex</i>	Nati-6
0.245		Maxilar	<i>Nuralagus rex</i>	Nati-6
0.246		Vértebra torácica XII	<i>Nuralagus rex</i>	Nati-6
0.247		IV metatarso	<i>Nuralagus rex</i>	Nati-6
0.048		1º falange	<i>Nuralagus rex</i>	Nati-6
0.252		1º falange	<i>Nuralagus rex</i>	Nati-6
0.253		1º falange	<i>Nuralagus rex</i>	Nati-6
0.254		1º falange	<i>Nuralagus rex</i>	Nati-6
0.255		1º falange	<i>Nuralagus rex</i>	Nati-6
0.256		1º falange	<i>Nuralagus rex</i>	Nati-6
0.257		1º falange	<i>Nuralagus rex</i>	Nati-6
0.258		1º falange	<i>Nuralagus rex</i>	Nati-6
0.259		1º falange	<i>Nuralagus rex</i>	Nati-6
0.260		1º falange	<i>Nuralagus rex</i>	Nati-6
0.261		1º falange	<i>Nuralagus rex</i>	Nati-6
0.262		2º falange	<i>Nuralagus rex</i>	Nati-6
0.263		2º falange	<i>Nuralagus rex</i>	Nati-6
0.264		3º falange	<i>Nuralagus rex</i>	Nati-6
0.265		P/3	<i>Nuralagus rex</i>	Nati-6

Número	Otros números	Parte del esqueleto	Taxon	Localidad
0.266	P/3		<i>Nuralagus rex</i>	Nati-6
0.267	P/3		<i>Nuralagus rex</i>	Nati-6
0.270		Ulna	<i>Nuralagus rex</i>	Nati-6
0.271		Epífisis proximal de ulna	<i>Nuralagus rex</i>	Nati-6
0.272		Frag. de fémur	<i>Nuralagus rex</i>	Nati-6
0.273		Epífisis proximal de húmero	<i>Nuralagus rex</i>	Nati-6
0.274		Maxilar	<i>Nuralagus rex</i>	Nati-6
0.275		Epífisis distal de tibia	<i>Nuralagus rex</i>	Nati-6
0.276		Vértebra torácica XI	<i>Nuralagus rex</i>	Nati-6
0.277		Epífisis distal de tibia	<i>Nuralagus rex</i>	Nati-6
0.278		Maxilar	<i>Nuralagus rex</i>	Nati-6
0.279		Vértebra torácica	<i>Nuralagus rex</i>	Nati-6
0.283		Epífisis distal de fémur	<i>Nuralagus rex</i>	Nati-6
0.284		Epífisis proximal de tibia	<i>Nuralagus rex</i>	Nati-6
0.285		Epífisis distal de húmero	<i>Nuralagus rex</i>	Nati-6
0.286		Calcáneo	<i>Nuralagus rex</i>	Nati-6
0.287		Epífisis distal de ulna	<i>Nuralagus rex</i>	Nati-6
0.288		Vértebra lumbar II-V juvenil	<i>Nuralagus rex</i>	Nati-6
0.289		Maxilar	<i>Nuralagus rex</i>	Nati-6
0.290		III metatarso	<i>Nuralagus rex</i>	Nati-6
0.291		IV metatarso	<i>Nuralagus rex</i>	Nati-6
0.292		V metatarso	<i>Nuralagus rex</i>	Nati-6
0.293		V metatarso	<i>Nuralagus rex</i>	Nati-6
0.294		1º falange	<i>Nuralagus rex</i>	Nati-6
0.295		2º falange	<i>Nuralagus rex</i>	Nati-6
0.296		2º falange	<i>Nuralagus rex</i>	Nati-6
0.297		3º falange	<i>Nuralagus rex</i>	Nati-6
0.298		Vértebra caudal	<i>Nuralagus rex</i>	Nati-6
0.299		Vértebra caudal	<i>Nuralagus rex</i>	Nati-6
0.300		Vértebra caudal	<i>Nuralagus rex</i>	Nati-6
0.303		I metacarpo	<i>Nuralagus rex</i>	Nati-6
0.304		Húmer	<i>Nuralagus rex</i>	Nati-6
0.306		Calcáneo	<i>Nuralagus rex</i>	Nati-6
0.313		Diáfisi- Epífisis distal de húmero	<i>Nuralagus rex</i>	Nati-6

Número	Otros números	Parte del esqueleto	Taxon	Localidad
0.314		Epífisis proximal de fémur	<i>Nuralagus rex</i>	Nati-6
0.315	Atlas		<i>Nuralagus rex</i>	Nati-6
0.316	IV metatarsos		<i>Nuralagus rex</i>	Nati-6
0.317	Epífisis proximal de radio		<i>Nuralagus rex</i>	Nati-6
0.318	Vértebra lumbar		<i>Nuralagus rex</i>	Nati-6
0.319	Epífisis distal juvenil de fémur		<i>Nuralagus rex</i>	Nati-6
0.320	Hueso navicular		<i>Nuralagus rex</i>	Nati-6
0.321	1º falange		<i>Nuralagus rex</i>	Nati-6
0.322	1º falange		<i>Nuralagus rex</i>	Nati-6
0.323	Frag. de pelvis		<i>Nuralagus rex</i>	Nati-6
0.324	Frag. de fémur		<i>Nuralagus rex</i>	Nati-6
0.325	Epífisis proximal de fémur		<i>Nuralagus rex</i>	Nati-6
0.326	Epífisis proximal de fémur		<i>Nuralagus rex</i>	Nati-6
0.327	Epífisis distal de tibia		<i>Nuralagus rex</i>	Nati-6
0.328	Frag. de fémur		<i>Nuralagus rex</i>	Nati-6
0.329	Sacro		<i>Nuralagus rex</i>	Nati-6
0.331	Maxilar		<i>Nuralagus rex</i>	Nati-6
0.332	Vértebra torácica XII		<i>Nuralagus rex</i>	Nati-6
0.333	Epífisis proximal de radio		<i>Nuralagus rex</i>	Nati-6
0.335	Hueso navicular		<i>Nuralagus rex</i>	Nati-6
0.336	Epífisis proximal de radio		<i>Nuralagus rex</i>	Nati-6
0.337	1º falange		<i>Nuralagus rex</i>	Nati-6
0.338	3º falange		<i>Nuralagus rex</i>	Nati-6
0.339	3º falange		<i>Nuralagus rex</i>	Nati-6
0.341	1º falange		<i>Nuralagus rex</i>	Nati-6
0.342	3º falange		<i>Nuralagus rex</i>	Nati-6
0.343	3º falange		<i>Nuralagus rex</i>	Nati-6
0.344	1º falange		<i>Nuralagus rex</i>	Nati-6
0.345	2º falange		<i>Nuralagus rex</i>	Nati-6
0.346	2º falange		<i>Nuralagus rex</i>	Nati-6
0.347	Hueso tarsale II		<i>Nuralagus rex</i>	Nati-6
0.348	Rótula		<i>Nuralagus rex</i>	Nati-6
0.349	Lunatum		<i>Nuralagus rex</i>	Nati-6
0.350	2º falange		<i>Nuralagus rex</i>	Nati-6

Número	Otros números	Parte del esqueleto	Taxon	Localidad
0.351		Phalanx proximalis	<i>Nuralagus rex</i>	Nati-6
0.352		Hamatum	<i>Nuralagus rex</i>	Nati-6
0.353		Frag. triquetum	<i>Nuralagus rex</i>	Nati-6
0.354		Hamatum	<i>Nuralagus rex</i>	Nati-6
0.357		Hueso metacarpale I	<i>Nuralagus rex</i>	Nati-6
0.358		Hueso metacarpale I	<i>Nuralagus rex</i>	Nati-6
0.359	0.359	Lunatum	<i>Nuralagus rex</i>	Nati-6
0.360		Lunatum	<i>Nuralagus rex</i>	Nati-6
0.363		Hueso metacarpale I	<i>Nuralagus rex</i>	Nati-6
0.364		Hamatum	<i>Nuralagus rex</i>	Nati-6
0.366		Epífisis proximal de tibia	<i>Nuralagus rex</i>	Nati-6
0.367		Tibia	<i>Nuralagus rex</i>	Nati-6
0.368		Frag. distal de diáfisis de un fémur	<i>Nuralagus rex</i>	Nati-6
0.369		?	<i>Nuralagus rex</i>	Nati-6
0.370		Epífisis proximal de húmero	<i>Nuralagus rex</i>	Nati-6
0.371		Vértebra torácica	<i>Nuralagus rex</i>	Nati-6
0.372		Vértebra lumbar	<i>Nuralagus rex</i>	Nati-6
0.373		Epífisis distal de radio	<i>Nuralagus rex</i>	Nati-6
0.375		Astrágalo	<i>Nuralagus rex</i>	Nati-6
0.376		Vértebra lumbar I-V	<i>Nuralagus rex</i>	Nati-6
0.377		V metacarpo	<i>Nuralagus rex</i>	Nati-6
0.378		Epífisis distal de la 1º falange	<i>Nuralagus rex</i>	Nati-6
0.379		Hueso tarsale II	<i>Nuralagus rex</i>	Nati-6
0.380		Frag. 3º falange	<i>Nuralagus rex</i>	Nati-6
0.381		Frag. 3º falange	<i>Nuralagus rex</i>	Nati-6
0.382		Epífisis proximal de húmero	<i>Nuralagus rex</i>	Nati-6
0.383		Diáfisis de fémur (?)	<i>Nuralagus rex</i>	Nati-6
0.384		Epífisis proximal de fémur	<i>Nuralagus rex</i>	Nati-6
0.385		Epífisis distal de húmero	<i>Nuralagus rex</i>	Nati-6
0.387		Frag. diáfisis de tibia juvenil	<i>Nuralagus rex</i>	Nati-6
0.388		Maxilar	<i>Nuralagus rex</i>	Nati-6
0.389		Vértebra torácica X	<i>Nuralagus rex</i>	Nati-6
0.391		Vértebra torácica	<i>Nuralagus rex</i>	Nati-6
0.395		Fémur izquierdo juvenil	<i>Nuralagus rex</i>	Nati-6

Número	Otros números	Parte del esqueleto	Taxon	Localidad
0.396		Ulna juvenil	<i>Nuralagus rex</i>	Nati-6
0.397		Mandíbula	<i>Nuralagus rex</i>	Nati-6
0.398		Mandíbula juvenil	<i>Nuralagus rex</i>	Nati-6
0.399		II metacarpo	<i>Nuralagus rex</i>	Nati-6
0.400		Epífisis proximal de fémur	<i>Nuralagus rex</i>	Nati-6
0.401		Astrágalo	<i>Nuralagus rex</i>	Nati-6
0.402		Navicular	<i>Nuralagus rex</i>	Nati-6
0.403		1º falange	<i>Nuralagus rex</i>	Nati-6
0.404		3º falange	<i>Nuralagus rex</i>	Nati-6
0.405		Frag. Diáfisis de tibia	<i>Nuralagus rex</i>	Nati-6
0.406		Epífisis distal de tibia	<i>Nuralagus rex</i>	Nati-6
0.407		Epífisis de fémur	<i>Nuralagus rex</i>	Nati-6
0.408		Epífisis distal de húmero	<i>Nuralagus rex</i>	Nati-6
0.409		Epífisis proximal de húmero	<i>Nuralagus rex</i>	Nati-6
0.410		Epífisis proximal de fémur	<i>Nuralagus rex</i>	Nati-6
0.411		IV metatarso	<i>Nuralagus rex</i>	Nati-6
0.412		4º vértebra cervical	<i>Nuralagus rex</i>	Nati-6
0.413		Mandíbula	<i>Nuralagus rex</i>	Nati-6
0.414		Mandíbula	<i>Nuralagus rex</i>	Nati-6
0.415		Frag. Calcáneo	<i>Nuralagus rex</i>	Nati-6
0.419		Tibia	<i>Nuralagus rex</i>	Nati-6
0.420		V metacarpo	<i>Nuralagus rex</i>	Nati-6
0.421		1º falange	<i>Nuralagus rex</i>	Nati-6
0.422		1º falange	<i>Nuralagus rex</i>	Nati-6
0.423		Frag. indet.	<i>Nuralagus rex</i>	Nati-6
0.425		Vértebra caudal	<i>Nuralagus rex</i>	Nati-6
0.428		Epífisis proximal de tibia	<i>Nuralagus rex</i>	Nati-6
0.429		Epífisis proximal izquierdo de fémur	<i>Nuralagus rex</i>	Nati-6
0.430		Frag. Mandíbula derecha	<i>Nuralagus rex</i>	Nati-6
0.431		Frag. Mandíbula derecha juvenil	<i>Nuralagus rex</i>	Nati-6
0.432		Frag. Mandíbula izquierda	<i>Nuralagus rex</i>	Nati-6
0.433		II metacarpo derecho	<i>Nuralagus rex</i>	Nati-6
0.434		1º falange	<i>Nuralagus rex</i>	Nati-6
0.435		Epífisis proximal IV metatarso	<i>Nuralagus rex</i>	Nati-6

Número	Otros números	Parte del esqueleto	Taxon	Localidad
0.436		Diáfisis- Epifisis distal de ulna	<i>Nuralagus rex</i>	Nati-6
0.437		Hueso tarsale II	<i>Nuralagus rex</i>	Nati-6
0.438		Hueso tarsale II	<i>Nuralagus rex</i>	Nati-6
0.439		Epifisis proximal del IV metatarso	<i>Nuralagus rex</i>	Nati-6
0.440		Epifisis distal de metápodo	<i>Nuralagus rex</i>	Nati-6
0.441		Epifisis distal de radio	<i>Nuralagus rex</i>	Nati-6
0.442		1º falange	<i>Nuralagus rex</i>	Nati-6
0.443		3º falange	<i>Nuralagus rex</i>	Nati-6
0.444		3º falange	<i>Nuralagus rex</i>	Nati-6
0.445		2º falange	<i>Nuralagus rex</i>	Nati-6
0.446		2º falange	<i>Nuralagus rex</i>	Nati-6
0.448		Epifisis proximal de tibia	<i>Nuralagus rex</i>	Nati-6
0.449		Epifisis proximal de fémur	<i>Nuralagus rex</i>	Nati-6
0.450		Rótula	<i>Nuralagus rex</i>	Nati-6
0.451		Fémur derecho(falta epifisis distal)	<i>Nuralagus rex</i>	Nati-6
0.453		Diáfisis de ulna	<i>Nuralagus rex</i>	Nati-6
0.454		Epifisis proximal de húmero	<i>Nuralagus rex</i>	Nati-6
0.456		Epifisis distal de ulna	<i>Nuralagus rex</i>	Nati-6
0.457		Epifisis proximal de ulna	<i>Nuralagus rex</i>	Nati-6
0.458		Maxilar derecho	<i>Nuralagus rex</i>	Nati-6
0.459		Vértebra lumbar	<i>Nuralagus rex</i>	Nati-6
0.460		Vértebra lumbar	<i>Nuralagus rex</i>	Nati-6
0.461		VII vértebra cervical	<i>Nuralagus rex</i>	Nati-6
0.462		IV metatarso	<i>Nuralagus rex</i>	Nati-6
0.463		V metatarso	<i>Nuralagus rex</i>	Nati-6
0.465		Epifisis distal de metatarso	<i>Nuralagus rex</i>	Nati-6
0.466		Navicular	<i>Nuralagus rex</i>	Nati-6
0.467		Fragmento de la diafisis de un radio	<i>Nuralagus rex</i>	Nati-6
0.469		Epifisis proximal de húmero	<i>Nuralagus rex</i>	Nati-6
0.470		Radio	<i>Nuralagus rex</i>	Nati-6
0.471		Epifisis proximal de escápula	<i>Nuralagus rex</i>	Nati-6
0.472		Segunda falange	<i>Nuralagus rex</i>	Nati-6
0.473		Primera falange	<i>Nuralagus rex</i>	Nati-6
0.474	11678	Mandíbula	<i>Nuralagus rex</i>	Nati-6

Número	Otros números	Parte del esqueleto	Taxon	Localidad
0.475	11679	Mandíbula	<i>Nuralagus rex</i>	Nati-6
0.476	11680	Epífisis distal de tibia	<i>Nuralagus rex</i>	Nati-6
0.477	11681	Pelvis Fragmentada	<i>Nuralagus rex</i>	Nati-6
0.478	11682	Pelvis Fragmentada	<i>Nuralagus rex</i>	Nati-6
0.479	11683	Epífisis proximal de tibia	<i>Nuralagus rex</i>	Nati-6
0.480	11684	Pelvis Fragmentada	<i>Nuralagus rex</i>	Nati-6
0.481	11685	Epífisis distal de húmero	<i>Nuralagus rex</i>	Nati-6
0.482	11686	Epífisis proximal de fémur	<i>Nuralagus rex</i>	Nati-6
0.483	11687	Epífisis proximal de ulna	<i>Nuralagus rex</i>	Nati-6
0.484	11688	Diáfisis proximal de fémur	<i>Nuralagus rex</i>	Nati-6
0.485	11689	Radio	<i>Nuralagus rex</i>	Nati-6
0.486	11690	Epífisis proximal de radio	<i>Nuralagus rex</i>	Nati-6
0.487	11691	Epífisis proximal de radio	<i>Nuralagus rex</i>	Nati-6
0.488	11692	Epífisis proximal de radio	<i>Nuralagus rex</i>	Nati-6
0.489	11693	Epífisis distal de radio	<i>Nuralagus rex</i>	Nati-6
0.490	11694	Epífisis proximal de radio	<i>Nuralagus rex</i>	Nati-6
0.491	11695	Epífisis proximal de ulna	<i>Nuralagus rex</i>	Nati-6
0.492	11696	Epífisis distal de húmero	<i>Nuralagus rex</i>	Nati-6
0.493	11697	Calcáneo	<i>Nuralagus rex</i>	Nati-6
0.494	11698	Epífisis proximal de fémur	<i>Nuralagus rex</i>	Nati-6
0.495	11699	Epífisis proximal de escápula	<i>Nuralagus rex</i>	Nati-6
0.496	11700	Epífisis proximal de tibia	<i>Nuralagus rex</i>	Nati-6
0.497	11701	Diáfisis de húmero	<i>Nuralagus rex</i>	Nati-6
0.498	11702	Fragmento de Diáfisis de tibia	<i>Nuralagus rex</i>	Nati-6
0.499	11703	Pelvis Fragmentada	<i>Nuralagus rex</i>	Nati-6
0.500	11704	Epífisis distal de tibia	<i>Nuralagus rex</i>	Nati-6
0.501	11705	Pelvis Fragmentada	<i>Nuralagus rex</i>	Nati-6
0.502	11706	Diáfisis indet	<i>Nuralagus rex</i>	Nati-6
0.503	11707	Hueso sacro	<i>Nuralagus rex</i>	Nati-6
0.504	11708	Pelvis Fragmentada	<i>Nuralagus rex</i>	Nati-6
0.505	11709	Hueso sacro Fragmentado	<i>Nuralagus rex</i>	Nati-6
0.506	11710	Mandíbula Fragmentada	<i>Nuralagus rex</i>	Nati-6
0.507	11711	Occipital Fragmentado	<i>Nuralagus rex</i>	Nati-6
0.508	11712	Mandíbula Fragmentada	<i>Nuralagus rex</i>	Nati-6

Número	Otros números	Parte del esqueleto	Taxon	Localidad
0.509	11713	Maxilar	<i>Nuralagus rex</i>	Nati-6
0.510	11714	Maxilar	<i>Nuralagus rex</i>	Nati-6
0.511	11715	Maxilar	<i>Nuralagus rex</i>	Nati-6
0.512	11716	Maxilar	<i>Nuralagus rex</i>	Nati-6
0.513	11717	Maxilar	<i>Nuralagus rex</i>	Nati-6
0.514	11718	Maxilar	<i>Nuralagus rex</i>	Nati-6
0.515	11719	Maxilar	<i>Nuralagus rex</i>	Nati-6
0.516	11720	Epífisis distal de fémur	<i>Nuralagus rex</i>	Nati-6
0.517	11721	Maxilar	<i>Nuralagus rex</i>	Nati-6
0.518	11722	Epífisis distal de tibia	<i>Nuralagus rex</i>	Nati-6
0.519	11723	Vértebra torácica XII	<i>Nuralagus rex</i>	Nati-6
0.520	11724	Vértebra lumbar I	<i>Nuralagus rex</i>	Nati-6
0.521	11725	Vértebra lumbar VI	<i>Nuralagus rex</i>	Nati-6
0.522	11726	Vértebra lumbar VII	<i>Nuralagus rex</i>	Nati-6
0.523	11727	Vértebra lumbar I-V	<i>Nuralagus rex</i>	Nati-6
0.524	11728	Vértebra lumbar I-V juvenil	<i>Nuralagus rex</i>	Nati-6
0.525	11729	Vértebra lumbar VII	<i>Nuralagus rex</i>	Nati-6
0.526	11730	Vértebra lumbar I-V	<i>Nuralagus rex</i>	Nati-6
0.527	11731	Vértebra cervical VII	<i>Nuralagus rex</i>	Nati-6
0.528	11732	Vértebra lumbar (Corpus vertebræ)	<i>Nuralagus rex</i>	Nati-6
0.529	11733	Hueso sacro Fragmentoado	<i>Nuralagus rex</i>	Nati-6
0.530	11734	Vértebra torácica II-VIII	<i>Nuralagus rex</i>	Nati-6
0.531	11735	Vértebra torácica II-VIII	<i>Nuralagus rex</i>	Nati-6
0.532	11736	Vértebra torácica II-VIII	<i>Nuralagus rex</i>	Nati-6
0.533	11737	Vértebra lumbar VII	<i>Nuralagus rex</i>	Nati-6
0.534	11738	Vértebra torácica II-VIII	<i>Nuralagus rex</i>	Nati-6
0.535	11739	Vértebra cervical VII	<i>Nuralagus rex</i>	Nati-6
0.536	11740	Vértebra torácica X	<i>Nuralagus rex</i>	Nati-6
0.537	11741	Vértebra torácica II-VIII	<i>Nuralagus rex</i>	Nati-6
0.538	11742	Vértebra cervical juvenil	<i>Nuralagus rex</i>	Nati-6
0.539	11743	Vértebra torácica II-VIII	<i>Nuralagus rex</i>	Nati-6
0.540	11744	Vértebra torácica II-VIII	<i>Nuralagus rex</i>	Nati-6
0.541	11745	Mandíbula	<i>Nuralagus rex</i>	Nati-6
0.557	11761	Epífisis distal de tibia	<i>Nuralagus rex</i>	Nati-6

Número	Otros números	Parte del esqueleto	Taxon	Localidad
0.558	11762	Astrágalo	<i>Nuralagus rex</i>	Nati-6
0.559	11763	Astrágalo	<i>Nuralagus rex</i>	Nati-6
0.560	11764	Astrágalo	<i>Nuralagus rex</i>	Nati-6
0.561	11765	Vértebra caudal	<i>Nuralagus rex</i>	Nati-6
0.562	11766	Vértebra torácica II-VIII	<i>Nuralagus rex</i>	Nati-6
0.563	11767	IV metacarpo izquierdo	<i>Nuralagus rex</i>	Nati-6
0.564	11768	V metacarpo derecho	<i>Nuralagus rex</i>	Nati-6
0.565	11769	Epífisis distal de metápodo	<i>Nuralagus rex</i>	Nati-6
0.566	11770	Epífisis distal de metápodo	<i>Nuralagus rex</i>	Nati-6
0.567	11771	II metacarpo derecho	<i>Nuralagus rex</i>	Nati-6
0.568	11772	Epífisis distal de metápodo	<i>Nuralagus rex</i>	Nati-6
0.569	11773	IV metacarpo derecho	<i>Nuralagus rex</i>	Nati-6
0.570	11774	Epífisis proximal del III metatarso izquierdo	<i>Nuralagus rex</i>	Nati-6
0.571	11775	Epífisis distal de metápodo	<i>Nuralagus rex</i>	Nati-6
0.572	11776	IV metatarso izquierdo	<i>Nuralagus rex</i>	Nati-6
0.573	11777	Epífisis proximal del II metacarpo izquierdo	<i>Nuralagus rex</i>	Nati-6
0.574	11778	Epífisis proximal del III metacarpo derecho	<i>Nuralagus rex</i>	Nati-6
0.575	11779	Epífisis distal de metápodo	<i>Nuralagus rex</i>	Nati-6
0.576	11780	Epífisis distal de metápodo	<i>Nuralagus rex</i>	Nati-6
0.577	11781	Epífisis proximal del II metacarpo derecho	<i>Nuralagus rex</i>	Nati-6
0.578	11782	Epífisis proximal del IV metatarso derecho	<i>Nuralagus rex</i>	Nati-6
0.579	11783	Hueso del carpo	<i>Nuralagus rex</i>	Nati-6
0.580	11784	Cuboideum	<i>Nuralagus rex</i>	Nati-6
0.581	11785	Navicular	<i>Nuralagus rex</i>	Nati-6
0.582	11786	2º falange	<i>Nuralagus rex</i>	Nati-6
0.583	11787	1º falange	<i>Nuralagus rex</i>	Nati-6
0.584	11788	1º falange	<i>Nuralagus rex</i>	Nati-6
0.585	11789	1º falange	<i>Nuralagus rex</i>	Nati-6
0.586	11790	1º falange	<i>Nuralagus rex</i>	Nati-6
0.587	11791	1º falange	<i>Nuralagus rex</i>	Nati-6
0.588	11792	3º falange	<i>Nuralagus rex</i>	Nati-6
0.589	11793	1º falange	<i>Nuralagus rex</i>	Nati-6
0.590	11794	1º falange	<i>Nuralagus rex</i>	Nati-6
0.591	11795	1º falange	<i>Nuralagus rex</i>	Nati-6

Número	Otros números	Parte del esqueleto	Taxon	Localidad
0.592	11796	1º falange	<i>Nuralagus rex</i>	Nati-6
0.593	11797	1º falange	<i>Nuralagus rex</i>	Nati-6
0.594	11798	2º falange	<i>Nuralagus rex</i>	Nati-6
0.595	11799	2º falange	<i>Nuralagus rex</i>	Nati-6
0.596	11800	2º falange	<i>Nuralagus rex</i>	Nati-6
0.597	11801	3º falange	<i>Nuralagus rex</i>	Nati-6
0.598	11802	2º falange	<i>Nuralagus rex</i>	Nati-6
0.599	11803	3º falange	<i>Nuralagus rex</i>	Nati-6
0.600	11804	1º falange	<i>Nuralagus rex</i>	Nati-6
0.601	11805	3º falange	<i>Nuralagus rex</i>	Nati-6
0.602	11806	3º falange	<i>Nuralagus rex</i>	Nati-6
0.603	11807	1º falange	<i>Nuralagus rex</i>	Nati-6
0.604	11808	2º falange	<i>Nuralagus rex</i>	Nati-6
0.605	11809	2º falange	<i>Nuralagus rex</i>	Nati-6
0.606	11810	3º falange	<i>Nuralagus rex</i>	Nati-6
0.607	11811	3º falange	<i>Nuralagus rex</i>	Nati-6
0.608	11812	3º falange	<i>Nuralagus rex</i>	Nati-6
0.609	11813	3º falange	<i>Nuralagus rex</i>	Nati-6
0.610	11814	Molar superior	<i>Nuralagus rex</i>	Nati-6
0.611	11815	P/3	<i>Nuralagus rex</i>	Nati-6
0.612	11816	Molar superior	<i>Nuralagus rex</i>	Nati-6
0.613	11817	Molar superior	<i>Nuralagus rex</i>	Nati-6
0.614	11818	Molar superior	<i>Nuralagus rex</i>	Nati-6
0.615	11819	?	<i>Nuralagus rex</i>	Nati-6
0.616	11820	P2/	<i>Nuralagus rex</i>	Nati-6
0.617	11821	Molar superior	<i>Nuralagus rex</i>	Nati-6
0.618	11822	P/3	<i>Nuralagus rex</i>	Nati-6
0.628	11987	Epífisis distal de fémur	<i>Nuralagus rex</i>	Nati-6
0.629	11988	Epífisis distal de húmero	<i>Nuralagus rex</i>	Nati-6
0.630	11989	Fragmento de fémur	<i>Nuralagus rex</i>	Nati-6
0.631	11990	Epífisis proximal de ulna	<i>Nuralagus rex</i>	Nati-6
0.632	11991	Epífisis distal de tibia	<i>Nuralagus rex</i>	Nati-6
0.633	11992	Epífisis distal de radio	<i>Nuralagus rex</i>	Nati-6
0.634	11993	Epífisis proximal de tibia	<i>Nuralagus rex</i>	Nati-6

Número	Otros números	Parte del esqueleto	Taxon	Localidad
0.635	11994	Epífisis proximal de ulna	<i>Nuralagus rex</i>	Nati-6
0.636	11995	Epífisis proximal de ulna	<i>Nuralagus rex</i>	Nati-6
0.637	11996	Epífisis distal de húmero	<i>Nuralagus rex</i>	Nati-6
0.638	11997	Epífisis distal de húmero	<i>Nuralagus rex</i>	Nati-6
0.639	11998	Epífisis proximal de húmero	<i>Nuralagus rex</i>	Nati-6
0.640	19999	Epífisis proximal de escápula	<i>Nuralagus rex</i>	Nati-6
0.641	12000	Epífisis proximal de tibia	<i>Nuralagus rex</i>	Nati-6
0.642	12001	Mandíbula	<i>Nuralagus rex</i>	Nati-6
0.643	12002	Mandíbula con M2-P4	<i>Nuralagus rex</i>	Nati-6
0.644	12003	Mandíbula con M2-P4	<i>Nuralagus rex</i>	Nati-6
0.645	12004	Mandíbula con M2-P4	<i>Nuralagus rex</i>	Nati-6
0.646	12005	Mandíbula con M2-M1	<i>Nuralagus rex</i>	Nati-6
0.647	12006	Epífisis proximal de ulna	<i>Nuralagus rex</i>	Nati-6
0.648	12007	Epífisis distal de húmero	<i>Nuralagus rex</i>	Nati-6
0.649	12008	Maxilar con I1-I2/	<i>Nuralagus rex</i>	Nati-6
0.650	12009	Epífisis distal de metápodo	<i>Nuralagus rex</i>	Nati-6
0.651	12010	Epífisis proximal de escápula	<i>Nuralagus rex</i>	Nati-6
0.652	12011	Calcáneo Fragmentado	<i>Nuralagus rex</i>	Nati-6
0.653	12012	Epífisis proximal de radio	<i>Nuralagus rex</i>	Nati-6
0.654	12013	Mandíbula	<i>Nuralagus rex</i>	Nati-6
0.655	12014	Rótula	<i>Nuralagus rex</i>	Nati-6
0.656	12015	Rótula	<i>Nuralagus rex</i>	Nati-6
0.657	12016	Astrágalo Fragmentado	<i>Nuralagus rex</i>	Nati-6
0.658	12017	Astrágalo	<i>Nuralagus rex</i>	Nati-6
0.659	12018	Astrágalo	<i>Nuralagus rex</i>	Nati-6
0.660	12019	Epífisis proximal de radio	<i>Nuralagus rex</i>	Nati-6
0.661	12020	Astrágalo Fragmentado	<i>Nuralagus rex</i>	Nati-6
0.662	12021	Rótula	<i>Nuralagus rex</i>	Nati-6
0.663	12022	Vértebra lumbar I-V juvenil	<i>Nuralagus rex</i>	Nati-6
0.664	12023	Vértebra lumbar I-V	<i>Nuralagus rex</i>	Nati-6
0.665	12024	Vértebra lumbar I-V	<i>Nuralagus rex</i>	Nati-6
0.666	12025	Vértebra torácica X	<i>Nuralagus rex</i>	Nati-6
0.667	12026	Vértebra torácica (Corpus vertebræ)	<i>Nuralagus rex</i>	Nati-6
0.668	12027	Vértebra cervical Fragmentada	<i>Nuralagus rex</i>	Nati-6

Número	Otros números	Parte del esqueleto	Taxon	Localidad
0.669	12028	Vértebra lumbar VII Fragmentada	<i>Nuralagus rex</i>	Nati-6
0.670	12029	Vértebra torácica (Corpus vertebræ)	<i>Nuralagus rex</i>	Nati-6
0.671	12030	Vértebra torácica (Corpus vertebræ)	<i>Nuralagus rex</i>	Nati-6
0.672	12031	Vértebra torácica (Corpus vertebræ)	<i>Nuralagus rex</i>	Nati-6
0.673	12032	Vértebra torácica (Corpus vertebræ)	<i>Nuralagus rex</i>	Nati-6
0.674	12033	Astrágalo Fragmentado	<i>Nuralagus rex</i>	Nati-6
0.675	12034	Maxilar con M1/	<i>Nuralagus rex</i>	Nati-6
0.676	12035	Epífisis distal de metápodo	<i>Nuralagus rex</i>	Nati-6
0.677	12036	Epífisis distal de metápodo	<i>Nuralagus rex</i>	Nati-6
0.678	12037	Epífisis distal de metápodo	<i>Nuralagus rex</i>	Nati-6
0.679	12038	Epífisis distal de metápodo	<i>Nuralagus rex</i>	Nati-6
0.680	12039	Epífisis distal de metápodo	<i>Nuralagus rex</i>	Nati-6
0.681	12040	Hueso timpánico-petroso	<i>Nuralagus rex</i>	Nati-6
0.682	12041	Hueso limpánico-petroso	<i>Nuralagus rex</i>	Nati-6
0.683	12042	Hueso limpánico-petroso	<i>Nuralagus rex</i>	Nati-6
0.684	12043	Naviculare	<i>Nuralagus rex</i>	Nati-6
0.685	12044	Naviculare	<i>Nuralagus rex</i>	Nati-6
0.686	12045	3º falange	<i>Nuralagus rex</i>	Nati-6
0.687	12046	Epífisis proximal de costilla	<i>Nuralagus rex</i>	Nati-6
0.688	12047	Epífisis proximal de costilla	<i>Nuralagus rex</i>	Nati-6
0.689	12048	3º falange	<i>Nuralagus rex</i>	Nati-6
0.690	12049	3º falange	<i>Nuralagus rex</i>	Nati-6
0.691	12050	1º falange	<i>Nuralagus rex</i>	Nati-6
0.692	12051	1º falange	<i>Nuralagus rex</i>	Nati-6
0.693	12052	1º falange	<i>Nuralagus rex</i>	Nati-6
0.694	12053	1º falange	<i>Nuralagus rex</i>	Nati-6
0.695	12054	1º falange	<i>Nuralagus rex</i>	Nati-6
0.696	12055	1º falange	<i>Nuralagus rex</i>	Nati-6
0.697	12056	2º falange	<i>Nuralagus rex</i>	Nati-6
0.698	12057	1º falange	<i>Nuralagus rex</i>	Nati-6
0.699	12058	2º falange	<i>Nuralagus rex</i>	Nati-6
0.700	12059	2º falange	<i>Nuralagus rex</i>	Nati-6
0.701	12060	2º falange	<i>Nuralagus rex</i>	Nati-6
0.702	12061	1º falange	<i>Nuralagus rex</i>	Nati-6

Número	Otros números	Parte del esqueleto	Taxon	Localidad
0.703	12062	2º falange	<i>Nuralagus rex</i>	Nati-6
0.704	12063	1º falange	<i>Nuralagus rex</i>	Nati-6
0.705	12064	3º falange	<i>Nuralagus rex</i>	Nati-6
0.706	12065	1º falange	<i>Nuralagus rex</i>	Nati-6
0.707	12066	2º falange	<i>Nuralagus rex</i>	Nati-6
0.708	12067	3º falange	<i>Nuralagus rex</i>	Nati-6
0.709	12068	Epífisis distal de metápodo	<i>Nuralagus rex</i>	Nati-6
0.710	12069	Epífisis distal de metápodo	<i>Nuralagus rex</i>	Nati-6
0.711	12070	Epífisis distal de metápodo	<i>Nuralagus rex</i>	Nati-6
0.712	12071	Epífisis distal de metápodo	<i>Nuralagus rex</i>	Nati-6
0.713	12072	2º falange	<i>Nuralagus rex</i>	Nati-6
0.714	12073	3º falange	<i>Nuralagus rex</i>	Nati-6
0.715	12074	Epífisis proximal de la 1º falange	<i>Nuralagus rex</i>	Nati-6
0.716	12075	Epífisis proximal de la 1º falange	<i>Nuralagus rex</i>	Nati-6
0.717	12076	1º falange	<i>Nuralagus rex</i>	Nati-6
0.718	12077	2º falange	<i>Nuralagus rex</i>	Nati-6
0.719	12078	Epífisis distal de la 1º falange	<i>Nuralagus rex</i>	Nati-6
0.720	12079	P/3	<i>Nuralagus rex</i>	Nati-6
0.721	12080	P/3	<i>Nuralagus rex</i>	Nati-6
0.722	12081	P/3	<i>Nuralagus rex</i>	Nati-6
0.724	12083	Pelvis Fragmentada	<i>Nuralagus rex</i>	Nati-6
0.725	12084	Epífisis proximal de la 1º falange	<i>Nuralagus rex</i>	Nati-6
0.726	12085	Vértebra caudal	<i>Nuralagus rex</i>	Nati-6
0.727	12086	Fragmento de vértebra cervical	<i>Nuralagus rex</i>	Nati-6
0.728	12087	Fragmento de vértebra cervical	<i>Nuralagus rex</i>	Nati-6
0.729	12088	Hueso timpánico-petroso	<i>Nuralagus rex</i>	Nati-6
0.730	12089	Epífisis proximal de costilla	<i>Nuralagus rex</i>	Nati-6
0.731	12090	Mandíbula	<i>Nuralagus rex</i>	Nati-6
0.732	12091	III metacarpo derecho	<i>Nuralagus rex</i>	Nati-6
0.733	12092	Epífisis distal de la 1º falange	<i>Nuralagus rex</i>	Nati-6
0.734	12093	Epífisis proximal de la 1º falange	<i>Nuralagus rex</i>	Nati-6
0.735	12094	Hueso del esternón	<i>Nuralagus rex</i>	Nati-6
0.736	12095	?	<i>Nuralagus rex</i>	Nati-6
0.737	12096	Epífisis distal de la 1º falange	<i>Nuralagus rex</i>	Nati-6

Número	Otros números	Parte del esqueleto	Taxon	Localidad
0.738	12097	Epífisis distal de la 1º falange	<i>Nuragus rex</i>	Nati-6
0.739	12098	P2/	<i>Nuragus rex</i>	Nati-6
0.740	12099	Epífisis distal de metápodio	<i>Nuragus rex</i>	Nati-6
0.741	12100	Epífisis proximal de la 1º falange	<i>Nuragus rex</i>	Nati-6
0.742	12101	Epífisis proximal de la 1º falange	<i>Nuragus rex</i>	Nati-6
0.743	12102	Cuboideum	<i>Nuragus rex</i>	Nati-6
0.744	12103	P2/	<i>Nuragus rex</i>	Nati-6
0.745	12104	P2/	<i>Nuragus rex</i>	Nati-6
0.746	12105	P2/	<i>Nuragus rex</i>	Nati-6
0.747	12106	Epífisis proximal del III metatarso izquierdo	<i>Nuragus rex</i>	Nati-6
0.748	12107	Fragmiento de vértebra lumbar juvenil	<i>Nuragus rex</i>	Nati-6
0.749	12108	Epífisis proximal del III metatarso izquierdo	<i>Nuragus rex</i>	Nati-6
0.750	12109	Epífisis proximal del IV metacarpo derecho	<i>Nuragus rex</i>	Nati-6
0.751	12110	Epífisis proximal del II metacarpo derecho	<i>Nuragus rex</i>	Nati-6
0.752	12111	Epífisis proximal del III metatarso izquierdo	<i>Nuragus rex</i>	Nati-6
0.754	12113	Epífisis proximal del III metatarso derecho	<i>Nuragus rex</i>	Nati-6
0.755	12114	Fragmiento de vértebra cervical	<i>Nuragus rex</i>	Nati-6
0.756	12115	Fragmiento de vértebra cervical juvenil	<i>Nuragus rex</i>	Nati-6
0.757	12116	Epífisis proximal de costilla	<i>Nuragus rex</i>	Nati-6
0.759	12118	Molar superior	<i>Nuragus rex</i>	Nati-6
0.760	12119	Molar superior	<i>Nuragus rex</i>	Nati-6
0.761	12120	Molar superior	<i>Nuragus rex</i>	Nati-6
0.763	12122	Epífisis proximal del IV metatarso izquierdo	<i>Nuragus rex</i>	Nati-6
0.765	12124	Cuboideum	<i>Nuragus rex</i>	Nati-6
0.766	12125	Cuboideum	<i>Nuragus rex</i>	Nati-6
0.767	12126	Fragmiento de la 3º falange	<i>Nuragus rex</i>	Nati-6
0.768	12127	Hamatum	<i>Nuragus rex</i>	Nati-6
0.769	12128	Fragmiento de la 3º falange	<i>Nuragus rex</i>	Nati-6
0.770	12129	Epífisis distal de la 1º falange	<i>Nuragus rex</i>	Nati-6
0.771	12130	Maxilar	<i>Nuragus rex</i>	Nati-6
0.772	12131	Epífisis distal de tibia juvenil	<i>Nuragus rex</i>	Nati-6
0.773	12132	?	<i>Nuragus rex</i>	Nati-6
0.774	12133	?	<i>Nuragus rex</i>	Nati-6
0.775	12134	?	<i>Nuragus rex</i>	Nati-6

Número	Otros números	Parte del esqueleto	Taxon	Localidad
0.776	12135	?	<i>Nuralagus rex</i>	Nati-6
0.777	12136	Fragmento de vértebra	<i>Nuralagus rex</i>	Nati-6
0.778	12137	I2/	<i>Nuralagus rex</i>	Nati-6
0.779	12138	M/3	<i>Nuralagus rex</i>	Nati-6
0.780	12139	?	<i>Nuralagus rex</i>	Nati-6
0.781	12140	Lunatum	<i>Nuralagus rex</i>	Nati-6
0.782	12141	Lunatum	<i>Nuralagus rex</i>	Nati-6
0.783	12142	Hueso del carpo indet.	<i>Nuralagus rex</i>	Nati-6
0.784	12143	Lunatum	<i>Nuralagus rex</i>	Nati-6
0.785	12144	?	<i>Nuralagus rex</i>	Nati-6
0.786	12145	Pelvis Fragmentada	<i>Nuralagus rex</i>	Nati-6
0.787	12146	Vértebra torácica (corpus vertebræ)	<i>Nuralagus rex</i>	Nati-6
0.788	12147	Vértebra torácica (corpus vertebræ)	<i>Nuralagus rex</i>	Nati-6
0.789	12148	Epífisis proximal del III metatarso izquierdo	<i>Nuralagus rex</i>	Nati-6
0.800	1	Epífisis proximal del III metatarso izquierdo	<i>Nuralagus rex</i>	Nati-6
0.801		Primera falange	<i>Nuralagus rex</i>	Nati-6
0.802		Escápula Fragmentada	<i>Nuralagus rex</i>	Nati-6
0.803		Vértebra torácica	<i>Nuralagus rex</i>	Nati-6
0.804		Tercera falange	<i>Nuralagus rex</i>	Nati-6
0.805		Tercera falange	<i>Nuralagus rex</i>	Nati-6
0.806	P2/		<i>Nuralagus rex</i>	Nati-6
0.807		Epífisis distal de metatarso	<i>Nuralagus rex</i>	Nati-6
0.852		Epífisi distal izquierdo de tibia	<i>Nuralagus rex</i>	Nati-6
0.853		Epífisi distal juvenil derecha de fémur	<i>Nuralagus rex</i>	Nati-6
0.854		Epífisis distal derecha de radio	<i>Nuralagus rex</i>	Nati-6
0.855		Fémur derecho juvenil	<i>Nuralagus rex</i>	Nati-6
0.856		Il metatarso derecho	<i>Nuralagus rex</i>	Nati-6
0.857		Epífisi distal izquierda de húmero	<i>Nuralagus rex</i>	Nati-6
0.858		Epífisi distal izquierda de humero	<i>Nuralagus rex</i>	Nati-6
0.859		Epífisi proximal derecha de ulna	<i>Nuralagus rex</i>	Nati-6
0.860		Mandíbula derecha Fragmentada	<i>Nuralagus rex</i>	Nati-6
0.861		1ª vértebra lumbar	<i>Nuralagus rex</i>	Nati-6
0.862		Escápula Fragmentada	<i>Nuralagus rex</i>	Nati-6
0.863				

Número	Otros números	Parte del esqueleto	Taxon	Localidad
0.864		Escápula Fragmentada	Nuralagus rex.	Nati-6
0.865		Primer falange	Nuralagus rex.	Nati-6
0.867		Epífisis distal de metápodo	Nuralagus rex.	Nati-6
0.868		Epífisis distal de metápodo	Nuralagus rex.	Nati-6
0.869		Epífisis distal de un metápodo.	Nuralagus rex.	Nati-6
0.870		Molar superior.	Nuralagus rex.	Nati-6
0.871		Epífisis proximal izquierdo de tibia.	Nuralagus rex.	Nati-6
0.872		Epífisis distal izquierda de húmero.	Nuralagus rex.	Nati-6
0.873		Mandíbula izquierda.	Nuralagus rex.	Nati-6
0.874		4ª vértebra cervical	Nuralagus rex.	Nati-6
0.875		5ª vértebra cervical	Nuralagus rex.	Nati-6
0.876		Axis	Nuralagus rex.	Nati-6
0.877		Epífisis proximal derecha de ulna	Nuralagus rex.	Nati-6
0.878		7ª vértebra torácica.	Nuralagus rex.	Nati-6
0.879		Epífisis distal de ulna	Nuralagus rex.	Nati-6
0.881		Astrágalo derecho	Nuralagus rex.	Nati-6
0.882		Tercera falange.	Nuralagus rex.	Nati-6
0.883		IV metacarpo derecho	Nuralagus rex.	Nati-6
0.884		Epífisis proximal derecha de ulna	Nuralagus rex.	Nati-6
0.885		Atlas	Nuralagus rex.	Nati-6
0.886		Epífisis-Diáfisis distal izquierda de tibia.	Nuralagus rex.	Nati-6
0.888		Pelvis Fragmentada	Nuralagus rex.	Nati-6
0.891		Vertebra lumbar	Nuralagus rex.	Nati-6
0.892		Vertebra lumbar	Nuralagus rex.	Nati-6
0.893		Maxilar izquierdo	Nuralagus rex.	Nati-6
0.894		Rótula	Nuralagus rex.	Nati-6
0.895		Epífisis proximal de costilla	Nuralagus rex.	Nati-6
0.896		Epífisis proximal de costilla	Nuralagus rex.	Nati-6
0.897		Epífisis-Diáfisis proximal izquierda de ulna	Nuralagus rex.	Nati-6
0.898		Fragmento de diáfisis de ulna	Nuralagus rex.	Nati-6
0.899		Diáfisis izquierda de radio	Nuralagus rex.	Nati-6
0.900		Fragmento de diáfisis izquierda de ulna	Nuralagus rex.	Nati-6
0.901		Fragmento de diáfisis de ulna	Nuralagus rex.	Nati-6
0.902		Pelvis derecha Fragmentada	Nuralagus rex.	Nati-6

Número	Otros números	Parte del esqueleto	Taxon	Localidad
0.903		Epífisis-Diáfisis distal de fémur izquierdo	<i>Nuralagus rex.</i>	Nati-6
0.904		Fragmento de diáfisis de tibia	<i>Nuralagus rex.</i>	Nati-6
0.905		Occipital Fragmentado	<i>Nuralagus rex.</i>	Nati-6
0.906		Corpus vertebræ de vértebra cervical	<i>Nuralagus rex.</i>	Nati-6
0.907		Epífisis distal derecha del húmero	<i>Nuralagus rex.</i>	Nati-6
0.908		V metatarsio	<i>Nuralagus rex.</i>	Nati-6
0.909		Caput femoris	<i>Nuralagus rex.</i>	Nati-6
0.910		Caput femoris	<i>Nuralagus rex.</i>	Nati-6
0.911		Epífisis prox. frag. de fémur izquierdo	<i>Nuralagus rex.</i>	Nati-6
0.912		Astrágalo izquierdo	<i>Nuralagus rex.</i>	Nati-6
0.917		Epífisi proximal frag. de fémur derecho	<i>Nuralagus rex.</i>	Nati-6
0.919		Calcáneo	<i>Nuralagus rex.</i>	Nati-6
0.920		Epífisi proximal frag. de húmero	<i>Nuralagus rex.</i>	Nati-6
0.921		Vértebra torácica	<i>Nuralagus rex.</i>	Nati-6
0.922		Fragmento de pelvis juvenil	<i>Nuralagus rex.</i>	Nati-6
0.924		Epífisis proximal derecha frag. de fémur	<i>Nuralagus rex.</i>	Nati-6
0.925		Epífisis proximal Fragmentada de tibia	<i>Nuralagus rex.</i>	Nati-6
0.926		10 ^a vértebra torácica	<i>Nuralagus rex.</i>	Nati-6
0.927		1 ^a vértebra lumbar juvenil	<i>Nuralagus rex.</i>	Nati-6
0.929		Epífisis-diáfisis proximal de ulna	<i>Nuralagus rex.</i>	Nati-6
0.932		Primera falange	<i>Nuralagus rex.</i>	Nati-6
0.933		Tercera falange	<i>Nuralagus rex.</i>	Nati-6
0.934		Phalanx proximalis	<i>Nuralagus rex.</i>	Nati-6
0.935		Segunda falange	<i>Nuralagus rex.</i>	Nati-6
0.936		Hueso metacarpale I	<i>Nuralagus rex.</i>	Nati-6
0.937		Hueso metacarpale I	<i>Nuralagus rex.</i>	Nati-6
0.943		Diáfisis proximal juvenil de fémur derecho	<i>Nuralagus rex.</i>	Nati-6
0.944		Epífisis proximal de húmero	<i>Nuralagus rex.</i>	Nati-6
0.947		Vértebra torácica	<i>Nuralagus rex.</i>	Nati-6
0.948		Epífisis proximal fragmentada de tibia	<i>Nuralagus rex.</i>	Nati-6
0.949		Epífisis distal de fémur	<i>Nuralagus rex.</i>	Nati-6
0.950		Vértebra lumbar	<i>Nuralagus rex.</i>	Nati-6
0.951		Vértebra coxal-lumbar	<i>Nuralagus rex.</i>	Nati-6
0.952		Astrágalo	<i>Nuralagus rex.</i>	Nati-6

Número	Otros números	Parte del esqueleto	Taxon	Localidad
0.953		II metatarso	<i>Nuralagus rex.</i>	Nati-6
0.955		Astrágalo	<i>Nuralagus rex.</i>	Nati-6
0.956		Hueso navicular	<i>Nuralagus rex.</i>	Nati-6
0.957		Tercera falange	<i>Nuralagus rex.</i>	Nati-6
0.958		Primera falange	<i>Nuralagus rex.</i>	Nati-6
0.959		Vértebra lumbar Fragmentada	<i>Nuralagus rex.</i>	Nati-6
0.960		Cráneo Fragmentado	<i>Nuralagus rex.</i>	Nati-6
0.961		Maxilares superiores	<i>Nuralagus rex.</i>	Nati-6
0.962		Ulna	<i>Nuralagus rex.</i>	Nati-6
0.963		Hueso del carpo	<i>Nuralagus rex.</i>	Nati-6
0.964		Epífisis distal-diáfisis de tibia	<i>Nuralagus rex.</i>	Nati-6
0.965		Epífisis distal-diáfisis de húmero	<i>Nuralagus rex.</i>	Nati-6
0.966		Epífisis distal- diáfisis de tibia	<i>Nuralagus rex.</i>	Nati-6
0.967		Epífisis proximal fracturada de tibia	<i>Nuralagus rex.</i>	Nati-6
0.968		Epífisis proximal-diáfisis de fémur izquierdo	<i>Nuralagus rex.</i>	Nati-6
0.969		Hueso sacro Fragmentado	<i>Nuralagus rex.</i>	Nati-6
0.970		Mandíbula Fragmentada	<i>Nuralagus rex.</i>	Nati-6
0.971		Mandíbula Fragmentada	<i>Nuralagus rex.</i>	Nati-6
0.977		Mandíbula derecha	<i>Nuralagus rex.</i>	Nati-6
0.978		Vértebra lumbar	<i>Nuralagus rex.</i>	Nati-6
0.979		Vértebra cervical	<i>Nuralagus rex.</i>	Nati-6
0.980		III metatarso	<i>Nuralagus rex.</i>	Nati-6
0.987		Primerá falange	<i>Nuralagus rex.</i>	Nati-6
0.988		Vértebra cervical	<i>Nuralagus rex.</i>	Nati-6
0.989		Fragmento de sacro	<i>Nuralagus rex.</i>	Nati-6
0.087		Vértebra torácica	<i>Lepórid nov. gen. nov. sp</i>	Rao d'es Pi
0.845		Segunda falange	<i>Nuralagus rex.</i>	Nati-6
0.990		Epífisis-diáfisis proximal de una tibia	<i>Nuralagus rex.</i>	Nati-6
0.991		Epífisis proximal de una ulna	<i>Nuralagus rex.</i>	Nati-6
0.992		Epífisis proximal Fragmentada de una tibia	<i>Nuralagus rex.</i>	Nati-6
0.993		Pelvis Fragmentada	<i>Nuralagus rex.</i>	Nati-6
0.994		II metatarso derecho	<i>Nuralagus rex.</i>	Nati-6
0.995		Epífisis distal juvenil de un metatarso	<i>Nuralagus rex.</i>	Nati-6
0.996		Vértebra cervical	<i>Nuralagus rex.</i>	Nati-6

Número	Otros números	Parte del esqueleto	Taxon	Localidad
0.997		Diáfrisis Fragmentada de una tibia	<i>Nuralagus rex.</i>	Nati-6
0.998		Diáfrisis Fragmentada de un fémur	<i>Nuralagus rex.</i>	Nati-6
0.999		IV metatarso	<i>Nuralagus rex.</i>	Nati-6
1000		Primer falange	<i>Nuralagus rex.</i>	Nati-6
1001		Epífisis-diáfrisis distal juvenil Fragmentada de húmero	<i>Nuralagus rex.</i>	Nati-6
1003		Escápula Fragmentada	<i>Nuralagus rex.</i>	Nati-6
1005		Diáfrisis Fragmentada de tibia	<i>Nuralagus rex.</i>	Nati-6
1006		Diáfrisis Fragmentada de tibia	<i>Nuralagus rex.</i>	Nati-6
1007		Isquium Fragmentado	<i>Nuralagus rex.</i>	Nati-6
1008		Ilium Fragmentado	<i>Nuralagus rex.</i>	Nati-6
1009		Epífisis proximal-diáfrisis de radio	<i>Nuralagus rex.</i>	Nati-6
1011		Epífisis proximal de costilla	<i>Nuralagus rex.</i>	Nati-6
1012		Diáfrisis Fragmentada de húmero	<i>Nuralagus rex.</i>	Nati-6
1013		Epífisis proximal de costilla	<i>Nuralagus rex.</i>	Nati-6
1014		Epífisis distal de húmero	<i>Nuralagus rex.</i>	Nati-6
1015		Epífisis distal de un húmero	<i>Nuralagus rex.</i>	Nati-6
1016		II metatarso	<i>Nuralagus rex.</i>	Nati-6
1017		Costilla	<i>Nuralagus rex.</i>	Nati-6
1018		Pelvis Fragmentada	<i>Nuralagus rex.</i>	Nati-6
1019		Epífisis distal de metápodo	<i>Nuralagus rex.</i>	Nati-6
1020		Epífisis distal de un metápodo	<i>Nuralagus rex.</i>	Nati-6
1021		Pelvis Fragmentada	<i>Nuralagus rex.</i>	Nati-6
1022		P/3	<i>Nuralagus rex.</i>	Nati-6
1023		Calcáneo Fragmentado	<i>Nuralagus rex.</i>	Nati-6
1024		Tercera falange	<i>Nuralagus rex.</i>	Nati-6
1025		Sacro	<i>Nuralagus rex.</i>	Nati-6
1026		Calcáneo Fragmentado	<i>Nuralagus rex.</i>	Nati-6
1027		Diáfrisis Fragmentada de tibia	<i>Nuralagus rex.</i>	Nati-6
1028		Diáfrisis Fragmentada de ulna	<i>Nuralagus rex.</i>	Nati-6
1029		Diáfrisis Fragmentada de tibia	<i>Nuralagus rex.</i>	Nati-6
1030		Segunda falange juvenil	<i>Nuralagus rex.</i>	Nati-6
1031		Epífisis distal de fémur	<i>Nuralagus rex.</i>	Nati-6
1032		Aceráculo	<i>Nuralagus rex.</i>	Nati-6
1033		Ilium Fragmentado	<i>Nuralagus rex.</i>	Nati-6

Número	Otros números	Parte del esqueleto	Taxon	Localidad
1035		Diáfrasis Fragmentada de tibia	<i>Nuralagus rex.</i>	Nati-6
1036		Diáfrasis de tibia	<i>Nuralagus rex.</i>	Nati-6
1037		Epífisis distal de fémur	<i>Nuralagus rex.</i>	Nati-6
1038		IV metatarso	<i>Nuralagus rex.</i>	Nati-6
1039		Pelvis Fragmentada	<i>Nuralagus rex.</i>	Nati-6
1040		Pelvis Fragmentada	<i>Nuralagus rex.</i>	Nati-6
1041		Epífisis proximal de húmero	<i>Nuralagus rex.</i>	Nati-6
1042		Segunda falange	<i>Nuralagus rex.</i>	Nati-6
1043		Vértebra cervical	<i>Nuralagus rex.</i>	Nati-6
1044		Axis	<i>Nuralagus rex.</i>	Nati-6
1045		Vértebra torácica juvenil	<i>Nuralagus rex.</i>	Nati-6
1046		Calcáneo Fragmentado	<i>Nuralagus rex.</i>	Nati-6
1047		Epífisis distal de radio	<i>Nuralagus rex.</i>	Nati-6
1048		Astegalo	<i>Nuralagus rex.</i>	Nati-6
1049		Vértebra torácica juvenil	<i>Nuralagus rex.</i>	Nati-6
1050		Pelvis Fragmentada (1050-a y 1050-b)	<i>Nuralagus rex.</i>	Nati-6
1051		Epífisis proximal de fémur derecho	<i>Nuralagus rex.</i>	Nati-6
1052		Escápula Fragmentada	<i>Nuralagus rex.</i>	Nati-6
1053		Epífisis proximal de ulna	<i>Nuralagus rex.</i>	Nati-6
1054		V metatarso derecho	<i>Nuralagus rex.</i>	Nati-6
1055		V metatarso derecho	<i>Nuralagus rex.</i>	Nati-6
1056		Pelvis Fragmentada	<i>Nuralagus rex.</i>	Nati-6
1058		Maxilar izquierdo Fragmentado	<i>Nuralagus rex.</i>	Nati-6
1059		Vértebra torácica	<i>Nuralagus rex.</i>	Nati-6
1060		Atlas Fragmentado	<i>Nuralagus rex.</i>	Nati-6
1061		Vértebra caudal	<i>Nuralagus rex.</i>	Nati-6
1062		Segunda falange	<i>Nuralagus rex.</i>	Nati-6
1063		Segunda falange	<i>Nuralagus rex.</i>	Nati-6
1064		Epífisis distal de fémur	<i>Nuralagus rex.</i>	Nati-6
1065		Diáfrasis de tibia	<i>Nuralagus rex.</i>	Nati-6
1066		Epífisis distal de fémur	<i>Nuralagus rex.</i>	Nati-6
1067		Calcáneo	<i>Nuralagus rex.</i>	Nati-6
1068		Epífisis proximal juvenil de fémur	<i>Nuralagus rex.</i>	Nati-6
1069		Pelvis Fragmentada	<i>Nuralagus rex.</i>	Nati-6

Número	Otros números	Parte del esqueleto	Taxon	Localidad
1070		Vértebra torácica	<i>Nuralagus rex.</i>	Nati-6
1071		Vértebra cervical	<i>Nuralagus rex.</i>	Nati-6
1072		Vértebra lumbar	<i>Nuralagus rex.</i>	Nati-6
1073		Vértebra lumbar	<i>Nuralagus rex.</i>	Nati-6
1074		Vértebra torácica	<i>Nuralagus rex.</i>	Nati-6
1075		Vértebra torácica	<i>Nuralagus rex.</i>	Nati-6
1076		Epífisis proximal de radio	<i>Nuralagus rex.</i>	Nati-6
1077		Epífisis distal de radio	<i>Nuralagus rex.</i>	Nati-6
1078		Epífisis distal de radio	<i>Nuralagus rex.</i>	Nati-6
1079		Epífisis proximal de radio	<i>Nuralagus rex.</i>	Nati-6
1080		Epífisis distal de ulna	<i>Nuralagus rex.</i>	Nati-6
1081		Epífisis proximal de ulna	<i>Nuralagus rex.</i>	Nati-6
1082		Diáfisis Fragmentada de fémur juvenil	<i>Nuralagus rex.</i>	Nati-6
1083		Epífisis distal de húmero	<i>Nuralagus rex.</i>	Nati-6
1084		Mandíbula incompleta	<i>Nuralagus rex.</i>	Nati-6
1085		Rótula	<i>Nuralagus rex.</i>	Nati-6
1086		Segunda falange	<i>Nuralagus rex.</i>	Nati-6
1087		Epífisis proximal de húmero	<i>Nuralagus rex.</i>	Nati-6
1088		Epífisis proximal de tibia	<i>Nuralagus rex.</i>	Nati-6
1091		Vértebra torácica	<i>Nuralagus rex.</i>	Nati-6
1092		Vértebra torácica	<i>Nuralagus rex.</i>	Nati-6
1093		Epífisis distal Fragmentada de fémur	<i>Nuralagus rex.</i>	Nati-6
1094		Epífisis proximal juvenil de fémur	<i>Nuralagus rex.</i>	Nati-6
1095		Mandíbula Fragmentada juvenil	<i>Nuralagus rex.</i>	Nati-6
1096		Mandíbula Fragmentada	<i>Nuralagus rex.</i>	Nati-6
1097		Epífisis distal incompleta de húmero	<i>Nuralagus rex.</i>	Nati-6
1098		Epífisis proximal Fragmentada de ulna	<i>Nuralagus rex.</i>	Nati-6
1099		Calcáneo Fragmentado	<i>Nuralagus rex.</i>	Nati-6
1100		Atlas Fragmentado	<i>Nuralagus rex.</i>	Nati-6
1101		Vértebra cervical juvenil	<i>Nuralagus rex.</i>	Nati-6
1102		Epífisis distal de ulna	<i>Nuralagus rex.</i>	Nati-6
1103		III metacarpo incompleto	<i>Nuralagus rex.</i>	Nati-6
1104		Segunda falange	<i>Nuralagus rex.</i>	Nati-6
1105		Tercera falange	<i>Nuralagus rex.</i>	Nati-6

Número	Otros números	Parte del esqueleto	Taxon	Localidad
1106		Tercera falange	<i>Nuralagus rex.</i>	Nati-6
1107	P/3	Sacro	<i>Nuralagus rex.</i>	Nati-6
1117		Calcáneo incompleto	<i>Nuralagus rex.</i>	Nati-6
1118		Epífisi proximal de ulna	<i>Nuralagus rex.</i>	Nati-6
1119		Mandíbula incompleta	<i>Nuralagus rex.</i>	Nati-6
1120		Díáfisis de radio	<i>Nuralagus rex.</i>	Nati-6
1121		Epífisis-díáfisis distal de un metápodo	<i>Nuralagus rex.</i>	Nati-6
1122		Epífisis proximal de húmero	<i>Nuralagus rex.</i>	Nati-6
1123		Epífisis proximal de tibia	<i>Nuralagus rex.</i>	Nati-6
1124		Rótula	<i>Nuralagus rex.</i>	Nati-6
1125		Primera falange	<i>Nuralagus rex.</i>	Nati-6
1126		Epífisis distal de metápodo	<i>Nuralagus rex.</i>	Nati-6
1127		Molar superior	<i>Nuralagus rex.</i>	Nati-6
1128		Segunda falange	<i>Nuralagus rex.</i>	Nati-6
1129		Epífisis proximal del II metatarso	<i>Nuralagus rex.</i>	Nati-6
1130		Epífisis proximal del IV metatarso	<i>Nuralagus rex.</i>	Nati-6
1131		Epífisis proximal de primera falange	<i>Nuralagus rex.</i>	Nati-6
1132		Vértebra coxal-caudal	<i>Nuralagus rex.</i>	Nati-6
1133		Díáfisis Fragmentada de fémur	<i>Nuralagus rex.</i>	Nati-6
1134		Epífisis proximal Fragmentada de tibia	<i>Nuralagus rex.</i>	Nati-6
1135		Pelvis Fragmentada	<i>Nuralagus rex.</i>	Nati-6
1136		Pelvis Fragmentada juvenil	<i>Nuralagus rex.</i>	Nati-6
1137		Epífisis proximal de fémur izquierdo	<i>Nuralagus rex.</i>	Nati-6
1138		Mitad de vértebra lumbar	<i>Nuralagus rex.</i>	Nati-6
1139		Caput osis femoris	<i>Nuralagus rex.</i>	Nati-6
1140		Epífisis proximal Fragmentada de fémur	<i>Nuralagus rex.</i>	Nati-6
1141		Epífisis proximal de radio	<i>Nuralagus rex.</i>	Nati-6
1142		Astrágalo	<i>Nuralagus rex.</i>	Nati-6
1143		V metatarso	<i>Nuralagus rex.</i>	Nati-6
1144		III metacarpo	<i>Nuralagus rex.</i>	Nati-6
1145				
1146				
1147				
1148				

Número	Otros números	Parte del esqueleto	Taxon	Localidad
1149		Epífisis-diáfisis distal de metatarso	<i>Nuralagus rex.</i>	Nati-6
1150		Vértebra torácica Fragmentada	<i>Nuralagus rex.</i>	Nati-6
1151		Epífisis distal Fragmentada de húmero	<i>Nuralagus rex.</i>	Nati-6
1152		Sacro juvenil Fragmentado	<i>Nuralagus rex.</i>	Nati-6
1153		Vértebra cervical	<i>Nuralagus rex.</i>	Nati-6
1154		Calcáneo Fragmentado	<i>Nuralagus rex.</i>	Nati-6
1155		V metacarpó	<i>Nuralagus rex.</i>	Nati-6
1156		Segunda falange	<i>Nuralagus rex.</i>	Nati-6
1157		Escápula Fragmentada	<i>Nuralagus rex.</i>	Nati-6
1160		Escápula Fragmentada	<i>Nuralagus rex.</i>	Nati-6
1161		Epífisis distal de tibia	<i>Nuralagus rex.</i>	Nati-6
1162		Epífisis proximal incompleta de fémur	<i>Nuralagus rex.</i>	Nati-6
1163		Fragmento de pelvis	<i>Nuralagus rex.</i>	Nati-6
1165		Fragmento de pelvis	<i>Nuralagus rex.</i>	Nati-6
1166		Astrágalo	<i>Nuralagus rex.</i>	Nati-6
1167		Fragmento de epífisis proximal de fémur	<i>Nuralagus rex.</i>	Nati-6
1168		Primera falange	<i>Nuralagus rex.</i>	Nati-6
1170		Epífisis proximal de radio	<i>Nuralagus rex.</i>	Nati-6
1171		Epífisis proximal-diáfisis de radio juvenil	<i>Nuralagus rex.</i>	Nati-6
1172		Epífisis distal incompleta de radio	<i>Nuralagus rex.</i>	Nati-6
1173		Epífisis proximal de radio	<i>Nuralagus rex.</i>	Nati-6
1174		Fémur incompleto (falta parte de la epífisis prox.)	<i>Nuralagus rex.</i>	Nati-6
1175		Epífisis proximal de ulna	<i>Nuralagus rex.</i>	Nati-6
1176		Pelvis incompleta	<i>Nuralagus rex.</i>	Nati-6
1177		Primera falange	<i>Nuralagus rex.</i>	Nati-6
1178		Epífisi distal de una primera falange	<i>Nuralagus rex.</i>	Nati-6
1179		Segunda falange	<i>Nuralagus rex.</i>	Nati-6
1180		Segunda falange	<i>Nuralagus rex.</i>	Nati-6
1181		Primera falange juvenil	<i>Nuralagus rex.</i>	Nati-6
1182		Segunda falange juvenil	<i>Nuralagus rex.</i>	Nati-6
1183		Vértebra torácica	<i>Nuralagus rex.</i>	Nati-6
1184		Escápula incompleta	<i>Nuralagus rex.</i>	Nati-6
1185		Vértebra lumbar	<i>Nuralagus rex.</i>	Nati-6
1186		Vértebra lumbar	<i>Nuralagus rex.</i>	Nati-6

Número	Otros números	Parte del esqueleto	Taxon	Localidad
1187		VII vértebra lumbar	<i>Nuralagus rex.</i>	Nati-6
1188		Cuerpo vertebral de la VII vértebra lumbar	<i>Nuralagus rex.</i>	Nati-6
1189		Fragmento de diáfrisis de radio	<i>Nuralagus rex.</i>	Nati-6
1190		Epífisis proximal incompleta de tibia	<i>Nuralagus rex.</i>	Nati-6
1191		Vértebra torácica juvenil	<i>Nuralagus rex.</i>	Nati-6
1195		Mandíbula izquierda incompleta	<i>Nuralagus rex.</i>	Nati-6
1196		Epífisis distal de tibia	<i>Nuralagus rex.</i>	Nati-6
1197		Pelvis Fragmentada Juvenil	<i>Nuralagus rex.</i>	Nati-6
1198		Epífisis proximal de fémur izquierdo juvenil	<i>Nuralagus rex.</i>	Nati-6
1199		Epífisis proximal de tibia	<i>Nuralagus rex.</i>	Nati-6
1200		Fémur fragmentado	<i>Nuralagus rex.</i>	Nati-6
1201		Epífisis proximal incompleta de tibia	<i>Nuralagus rex.</i>	Nati-6
1202		Hueso navicular	<i>Nuralagus rex.</i>	Nati-6
1203		Primera falange	<i>Nuralagus rex.</i>	Nati-6
1204		Calcáneo	<i>Nuralagus rex.</i>	Nati-6
1205		Axis	<i>Nuralagus rex.</i>	Nati-6
1206		Parte distal de sacro	<i>Nuralagus rex.</i>	Nati-6
1207		Vértebra torácica	<i>Nuralagus rex.</i>	Nati-6
1208		Vértebra torácica	<i>Nuralagus rex.</i>	Nati-6
1209		Epífisi distal fragmentada de húmero	<i>Nuralagus rex.</i>	Nati-6
1210		Vértebra lumbar	<i>Nuralagus rex.</i>	Nati-6
1211		II metacarpo	<i>Nuralagus rex.</i>	Nati-6
1212		Vértebra cervical	<i>Nuralagus rex.</i>	Nati-6
1213		Atlas	<i>Nuralagus rex.</i>	Nati-6
1214		Epífisis distal de fémur	<i>Nuralagus rex.</i>	Nati-6
1215		Epífisis-diafisi proximal de húmero	<i>Nuralagus rex.</i>	Nati-6
1216		Epífisis distal Fragmentada de fémur	<i>Nuralagus rex.</i>	Nati-6
1217		Epífisis-diafisi proximal de ulna	<i>Nuralagus rex.</i>	Nati-6
1218		Astrágalo	<i>Nuralagus rex.</i>	Nati-6
1219		Vértebra torácica	<i>Nuralagus rex.</i>	Nati-6
1220		Vértebra Fragmentada	<i>Nuralagus rex.</i>	Nati-6
1221		Segunda falange	<i>Nuralagus rex.</i>	Nati-6
1222		Epífisis proximal del III metatarso	<i>Nuralagus rex.</i>	Nati-6
1224		Axis fragmentada	<i>Nuralagus rex.</i>	Nati-16

Número	Otros números	Parte del esqueleto	Taxon	Localidad
1225		Vértebra torácica	<i>Nuralegus rex.</i>	Nati-16
1226		Vértebra cervical	<i>Nuralegus rex.</i>	Nati-16
1227		Fragmento de vértebra cervical	<i>Nuralegus rex.</i>	Nati-16
1229		Diáfrisis de tibia	<i>Leporid nov.gen. nov. sp.</i>	Nati-6
1232		Sacro Fragmentado	<i>Nuralegus rex.</i>	Nati-6
1234		Epífisis proximal de ulna	<i>Nuralegus rex.</i>	Nati-6
1235		Pelvis fragmentada	<i>Nuralegus rex.</i>	Nati-6
1236		Diáfrisis proximal de húmero	<i>Nuralegus rex.</i>	Nati-6
1237		Epífisis proximal fragmentada de húmero	<i>Nuralegus rex.</i>	Nati-6
1238		Fragmento de la séptima vértebra cervical	<i>Nuralegus rex.</i>	Nati-6
1239		Rótula	<i>Nuralegus rex.</i>	Nati-6
1240		Vértebra lumbar juvenil	<i>Nuralegus rex.</i>	Nati-6
1241		Vértebra torácica	<i>Nuralegus rex.</i>	Nati-6
1242		Vértebra torácica	<i>Nuralegus rex.</i>	Nati-6
1243		Vértebra torácica	<i>Nuralegus rex.</i>	Nati-6
1244		Epífisis distal de fémur	<i>Nuralegus rex.</i>	Nati-6
1246		Vértebra caudal	<i>Nuralegus rex.</i>	Nati-6
1247		Vértebras caudales	<i>Nuralegus rex.</i>	Nati-6
1248		Fragmento craneal indeterminado	<i>Nuralegus rex.</i>	Nati-6
1249		Epífisis distal-diáfisis de metatarso	<i>Nuralegus rex.</i>	Nati-6
1250		Epífisis distal-diáfisis de metatarso	<i>Nuralegus rex.</i>	Nati-6
1251		Epífisis distal de metatarso	<i>Nuralegus rex.</i>	Nati-6
1252		Costilla incompleta	<i>Nuralegus rex.</i>	Nati-6
1253		Costilla incompleta	<i>Nuralegus rex.</i>	Nati-6
1254		Disco vertebral	<i>Nuralegus rex.</i>	Nati-6
1255		Epífisis proximal del IV metatarso	<i>Nuralegus rex.</i>	Nati-6
1256		Tercera falange	<i>Nuralegus rex.</i>	Nati-6
1257		Tercera falange	<i>Nuralegus rex.</i>	Nati-6
1258		Diáfrisis-epífisis proximal de fémur	<i>Nuralegus rex.</i>	Nati-6
1259		IV metatarso	<i>Nuralegus rex.</i>	Nati-6
1260		Epífisis distal de tibia	<i>Nuralegus rex.</i>	Nati-6
1261		Maxilar	<i>Nuralegus rex.</i>	Nati-6
1262		Primera falange	<i>Nuralegus rex.</i>	Nati-6
1263		Tercera falange	<i>Nuralegus rex.</i>	Nati-6

Número	Otros números	Parte del esqueleto	Taxon	Localidad
1264		Pelvis fragmentada	<i>Nuralegus rex.</i>	Nati-6
1265		Pelvis fragmentada	<i>Nuralegus rex.</i>	Nati-6
1266		Atlas	<i>Nuralegus rex.</i>	Nati-6
1268		Pelvis fragmentada	<i>Nuralegus rex.</i>	Nati-6
1271		Vértebra lumbar Fragmentada	<i>Nuralegus rex.</i>	Nati-6
1273		Epífisis distal de radio	<i>Nuralegus rex.</i>	Nati-6
1274		Axis	<i>Nuralegus rex.</i>	Nati-6
1275		Vértebra torácica	<i>Nuralegus rex.</i>	Nati-6
1277		Cabeza del fémur	<i>Nuralegus rex.</i>	Nati-6
1278		Parte distal de la escápula	<i>Nuralegus rex.</i>	Nati-6
1279		Epífisis distal de húmero	<i>Nuralegus rex.</i>	Nati-6
1280		Axis	<i>Nuralegus rex.</i>	Nati-6
1281		Cabeza del fémur	<i>Nuralegus rex.</i>	Nati-6
1282		Molar superior	<i>Nuralegus rex.</i>	Nati-6
1283		Epífisis distal de metatarso	<i>Nuralegus rex.</i>	Nati-6
1284		Fragmento de diáfisis de ulna	<i>Nuralegus rex.</i>	Nati-6
1285		Molar superior	<i>Nuralegus rex.</i>	Nati-6
1286		Astrágalo	<i>Nuralegus rex.</i>	Nati-6
1287		Epífisis proximal de tibia	<i>Nuralegus rex.</i>	Nati-6
1289		Epífisis proximal de ulna	<i>Nuralegus rex.</i>	Nati-6
1290		Epífisis distal de ulna	<i>Nuralegus rex.</i>	Nati-6
1291		Vértebra lumbar I	<i>Nuralegus rex.</i>	Nati-6
1293		Primera falange	<i>Nuralegus rex.</i>	Nati-6
1294		Vértebra torácica X (juvenil)	<i>Nuralegus rex.</i>	Nati-6
1295		Vértebra torácica X (juvenil)	<i>Nuralegus rex.</i>	Nati-6
1296		Maxilar	<i>Nuralegus rex.</i>	Nati-6
1297		Sacro fragmentado	<i>Nuralegus rex.</i>	Nati-6
1298		Epífisis proximal de ulna	<i>Nuralegus rex.</i>	Nati-6
1299		Vértebra torácica	<i>Nuralegus rex.</i>	Nati-6
1300		P/3	<i>Nuralegus rex.</i>	Nati-6
1310		Mandíbula	<i>Nuralegus rex.</i>	Nati-6
1311		Mandíbula	<i>Nuralegus rex.</i>	Nati-6
1312		Diáfisis de fémur	<i>Nuralegus rex.</i>	Nati-6
1313		Calcáneo	<i>Nuralegus rex.</i>	Nati-6

Número	Otros números	Parte del esqueleto	Taxon	Localidad
1314		III-IV Vértebra cervical	<i>Nuralagus rex.</i>	Nati-6
1315		Epífisis proximal de ulna	<i>Nuralagus rex.</i>	Nati-6
1316		II metacarpo	<i>Nuralagus rex.</i>	Nati-6
1317		VI-VII Vértebra cervical	<i>Nuralagus rex.</i>	Nati-6
1318		Astrágalo	<i>Nuralagus rex.</i>	Nati-6
1319		Astrágalo	<i>Nuralagus rex.</i>	Nati-6
1320		Diáfisis distal de fémur	<i>Nuralagus rex.</i>	Nati-6
1322		Diáfisis distal de fémur	<i>Nuralagus rex.</i>	Nati-6
1323		Epífisis proximal de húmero	<i>Nuralagus rex.</i>	Nati-6
1324		Epífisis proximal-diafisis de fémur	<i>Nuralagus rex.</i>	Nati-6
1325		Pelvis Fragmentada	<i>Nuralagus rex.</i>	Nati-6
1326		Pelvis Fragmentada	<i>Nuralagus rex.</i>	Nati-6
1329		Mandíbula	<i>Nuralagus rex.</i>	Nati-6
1343		Epífisis distal de fémur	<i>Nuralagus rex.</i>	Nati-6
1344		Ilión Fragmentado	<i>Nuralagus rex.</i>	Nati-6
1346		Epífisis proximal de fémur	<i>Nuralagus rex.</i>	Nati-6
1348		Epífisis proximal de radio	<i>Nuralagus rex.</i>	Nati-6
1349		Epífisis distal de fémur	<i>Nuralagus rex.</i>	Nati-6
1350		Hueso del tarso	<i>Nuralagus rex.</i>	Nati-6
1354		Sacro	<i>Nuralagus rex.</i>	Nati-6
1356		Vértebra torácica XII	<i>Nuralagus rex.</i>	Nati-6
1401		Mandíbula	<i>Nuralagus rex.</i>	Nati-6
1403		Epífisis distal de húmero	<i>Nuralagus rex.</i>	Nati-6
1404		Epífisis distal de fémur	<i>Nuralagus rex.</i>	Nati-6
1405		Calcáneo	<i>Nuralagus rex.</i>	Nati-6
1406		Primera vértebra torácica	<i>Nuralagus rex.</i>	Nati-6
1407		Epífisis proximal de tibia (juvenil)	<i>Nuralagus rex.</i>	Nati-6
1410		Mandíbula incompleta	<i>Nuralagus rex.</i>	Nati-6
1411		Calcáneo incompleto	<i>Nuralagus rex.</i>	Nati-6
1412		Epífisi proximal incompleta de fémur	<i>Nuralagus rex.</i>	Nati-6
1414		?	<i>Nuralagus rex.</i>	Nati-6
1415		Epífisis proximal de ulna	<i>Nuralagus rex.</i>	Nati-6
1416		Epífisis proximal del tercer metatarso	<i>Nuralagus rex.</i>	Nati-6
1417		Primera falange del pie	<i>Nuralagus rex.</i>	Nati-6

Número	Otros números	Parte del esqueleto	Taxon	Localidad
1418		Vértebra lumbar (juvenil)	<i>Nuralagus rex.</i>	Nati-6
1419		Primera falange de la mano	<i>Nuralagus rex.</i>	Nati-6
1420		Mandíbula incompleta	<i>Nuralagus rex.</i>	Nati-6
1421		Mandíbula incompleta	<i>Nuralagus rex.</i>	Nati-6
1422		Mandíbula incompleta	<i>Nuralagus rex.</i>	Nati-6
1423		Escápula incompleta	<i>Nuralagus rex.</i>	Nati-6
1424		Epífisis proximal de ulna	<i>Nuralagus rex.</i>	Nati-6
1425		Epífisis proximal de ulna	<i>Nuralagus rex.</i>	Nati-6
1426		Diáfisis distal de tibia	<i>Nuralagus rex.</i>	Nati-6
1427		Calcáneo incompleto	<i>Nuralagus rex.</i>	Nati-6
1428		Fragmento de epífisis proximal de fémur	<i>Nuralagus rex.</i>	Nati-6
1429		Vértebra cervical	<i>Nuralagus rex.</i>	Nati-6
1430		Fragmento proximal de costilla	<i>Nuralagus rex.</i>	Nati-6
1431		Hueso navicular	<i>Nuralagus rex.</i>	Nati-6
1432		Tercera falange	<i>Nuralagus rex.</i>	Nati-6
1433		Primera falange de la mano	<i>Nuralagus rex.</i>	Nati-6
1434		Primera falange de la mano	<i>Nuralagus rex.</i>	Nati-6
1437		Epífisis proximal de tibia	<i>Nuralagus rex.</i>	Nati-6
1438		Epífisis proximal de tibia	<i>Nuralagus rex.</i>	Nati-6
1439		Epífisis distal de húmero	<i>Nuralagus rex.</i>	Nati-6
1440		Epífisis proximal de radio	<i>Nuralagus rex.</i>	Nati-6
1441		Epífisis distal de tibia	<i>Nuralagus rex.</i>	Nati-6
1442		Vértebra torácica (juvenil)	<i>Nuralagus rex.</i>	Nati-6
1443		Epífisis distal de húmero	<i>Nuralagus rex.</i>	Nati-6
1444		Epífisis proximal de escápula	<i>Nuralagus rex.</i>	Nati-6
1445		Epífisis proximal de escápula	<i>Nuralagus rex.</i>	Nati-6
1446		Diáfisis distal de tibia	<i>Nuralagus rex.</i>	Nati-6
1447		Calcáneo	<i>Nuralagus rex.</i>	Nati-6
1448		Pelvis incompleta	<i>Nuralagus rex.</i>	Nati-6
1449		Epífisis proximal de ulna	<i>Nuralagus rex.</i>	Nati-6
1450		Vértebra lumbar	<i>Nuralagus rex.</i>	Nati-6
1451		Primera falange de la mano	<i>Nuralagus rex.</i>	Nati-6
1452		Tercera falange	<i>Nuralagus rex.</i>	Nati-6
1453		10 ^a -12 ^a vértebra torácica	<i>Nuralagus rex.</i>	Nati-6

Número	Otros números	Parte del esqueleto	Taxon	Localidad
1454		1 ^a vértebra lumbar	<i>Nuragus rex.</i>	Nati-6
1455		Vértebra torácica	<i>Nuragus rex.</i>	Nati-6
1456		Vértebra torácica	<i>Nuragus rex.</i>	Nati-6
1457		Epífisis proximal de radio	<i>Nuragus rex.</i>	Nati-6
1458		Epífisis distal de metatarso	<i>Nuragus rex.</i>	Nati-6
1459		Epífisis proximal de húmero	<i>Nuragus rex.</i>	Nati-6
1460		Tercera falange	<i>Nuragus rex.</i>	Nati-6
1461		Tercera falange	<i>Nuragus rex.</i>	Nati-6
1462		Tercera falange	<i>Nuragus rex.</i>	Nati-6
1463		Tercera falange	<i>Nuragus rex.</i>	Nati-6
1464		Segunda falange	<i>Nuragus rex.</i>	Nati-6
1465		Primera falange de la mano	<i>Nuragus rex.</i>	Nati-6
1466		Primera falange de la mano	<i>Nuragus rex.</i>	Nati-6
1469		Pelvis incompleta	<i>Nuragus rex.</i>	Nati-6